



ระบบควบคุมทิศทางสายอากาศ

DIRECTION ANTENNA CONTROLLER

จัดทำโดย

นาย ณรรฐพงษ์	พงษ์พานิช	34162152
นาย ทศพร	สาธรวศิษฐ์	34162156
นาย นนทรัตน์	ศิริรัตน์	34162159
นาย ราชศักดิ์	รัฐธรรม	34162167
นาย สกกล	พึ้งและ	34162173

อาจารย์ที่ปรึกษา

อ. เกษตร์ ศิริสันติสัมฤทธิ์

ปริญญาโทสำหรับปริญญาอุตสาหกรรมศาสตรบัณฑิต
สาขา เทคโนโลยีคอมพิวเตอร์อุตสาหกรรม
ภาควิชา เทคโนโลยีการวัดคุมทางอุตสาหกรรม
คณะ วิศวกรรมศาสตร์
สถาบันเทคโนโลยีพระจอมเกล้า เจ้าคุณทหาร ลาดกระบัง

ปริญญาานิพนธ์ปีการศึกษา 2535

ภาควิชา เทคโนโลยีการวัดคุมทางอุตสาหกรรม

สาขา เทคโนโลยีคอมพิวเตอร์อุตสาหกรรม

คณะ วิศวกรรมศาสตร์

สถาบันเทคโนโลยีพระจอมเกล้า เจ้าคุณทหาร ลาดกระบัง

เรื่อง ระบบควบคุมทิศทางเสาอากาศ

ผู้จัดทำ

นายณรรฐพงษ์	พงษ์พานิช	34162152
นายทศพร	สาธรวศิษฐ์	34162156
นายนันทรัตน์	ศิริรัตน์	34162159
นายราชศักดิ์	รัฐธรรม	34162167
นายสกล	พึ้งและ	34162173

.....

(เกษตร์ ศิริสันติสัมฤทธิ์)

อาจารย์ที่ปรึกษา

นักศึกษา

บรรณพงษ์ พงษ์พานิช

ทศพร สาธทวีศิษฐ์

นนท์รัตน์ ศิริรัตน์

ราชศักดิ์ ธีรธรรม

สกล พึ่งและ

ระดับการศึกษา

อุตสาหกรรมศาสตรบัณฑิตทางเทคโนโลยีคอมพิวเตอร์-
อุตสาหกรรม

อาจารย์ที่ปรึกษา

เกษตร์ ศิริสันติสัมฤทธิ์

ปีการศึกษา

2535

บทคัดย่อ

ปริญญาโทฉบับนี้ถูกออกแบบโดยการ นำเอาระบบไมโครคอนโทรลเลอร์ (microcontroller) มาออกแบบและพัฒนาใช้สำหรับการจัดเก็บทิศทางของช่องคู่สถานีและป้องกันความเสียหายของตัวสายอากาศจากลมพายุอัตโนมัติ โดยการนำเอาไมโครคอนโทรลเลอร์เป็นตัวประมวลผลควบคุมการทำงานทั้งหมด ซึ่งจะใช้แทนระบบเก่าที่ผู้ใช้ต้องควบคุมด้วยตัวเองตลอดเวลา ซึ่งความสามารถของระบบนี้สามารถพัฒนาให้มากขึ้นด้วยคำสั่งทางซอฟต์แวร์

คุณสมบัติของงาน

โหมดการทำงานปกติ

1. สามารถควบคุมทิศทางของตัวสายอากาศผ่านทาง key borad โดยผู้ใช้ได้
2. สามารถเก็บข้อมูลทิศทางของคู่สถานีไว้ได้ 100 ช่องสถานี
3. สามารถใช้ข้อมูลของช่องสถานีที่โปรแกรมไว้ ควบคุมทิศทางได้ทันที
4. สามารถใช้งานทั้ง manual และ automatic

โหมดการทำงานระบบป้องกัน

1. สามารถหันทิศทาง element ของสายอากาศตามแรงลมอย่างอัตโนมัติ
2. สามารถวัดความเร็วและทิศทางของลมได้ทุกขณะ
3. ส่งสัญญาณเตือน alarm เมื่อมีลมพายุ

THESIS TITLE	Direction Antenna Controller		
STUDENT NAME	Nattapong Pongpanich	34.162152	
	Totsaphorn Sathornvisit	34.162156	
	Nontarat Sirirat	34.162159	
	Ratchasak Ratathum	34.162167	
	Sakol Ponglahe	34.162173	
LEVEL OF STUDY	Bachelor's Degree of Industrial Computer- Technology.		
ADVISOR	Kaset Sirisantiamrid		
ACADEMIC	1992		

ABSTRACT

This thesis is design by using Micro Controller System to design and develop for keeping the direction of channel of station and protecting the image of antenna from wind storm automatically. By using the Micro Controller to be the processor to control all working with will be used instead of the old system. Which that the user much control by themselves all the time. The ability of this system can be developed further more by using the software other.

Characteristic of Project

Normal Mode

1. It can be control the direction of the antenna by passing on the keyboard.
2. It can be keep the data of the direction of the antenna up to 40 channel.
3. It can be use the data of the programmed channel and can order the antenna to move to the design the direction.
4. It can be set the reference direction.

Protect Mode

1. It can be move the element of the antenna to be direction according to the direction of the wind storm, for protecting the image automatically.
2. It can be measure the speed and the direction of the wind by showing on the display channel.
3. It can be sent the warning sign (alarm) when the wind storm is occurred.

สารบัญ

บทนำ		1
บทที่ 1	การออกแบบและคุณสมบัติ -หลักการออกแบบวงจร และอุปกรณ์ ทางด้าน MECHANIC -รูปแบบและลักษณะการทำงานโดยรวม -FLOWCHART แสดงการทำงาน	2
บทที่ 2	การออกแบบวงจรในภาค CONTROLLER -CHARECTERISTIC ของวงจร MAIN -หลักการของ MICROCONTROLLER MCS 51 -การประยุกต์ใช้งาน	11
บทที่ 3	การออกแบบวงจรในภาค ROTER DRIVER -CHARECTERISTIC ของ ROTER KR 600 -หลักการออกแบบวงจร DRIVER -หลักการออกแบบวงจร INTERFACE กับ CONTROLLER	23
บทที่ 4	WIN SPEED และ WIN DIRECTION -มาตรฐานของลมระดับต่าง ๆ -การออกแบบวงจรและการติดตั้ง -ENCODER และ DECODER	28
บทที่ 5	GRAPHIC LCD. และ KEYBORD -GRAPHIC LCD. DV - 12864 -MATRIC KEYBORD	35
บทที่ 6	โปรแกรมควบคุมการทำงาน	45

-FLOWCHART
-PROGRAM

กิตติกรรมประกาศ

ภาคผนวก

บรรณานุกรม



เอกสารนี้เป็นเอกสารที่สงวนไว้สำหรับการใช้งานเพื่อการศึกษาเท่านั้น ไม่อนุญาตให้นำไปใช้ประโยชน์ด้านการค้า
ไม่ว่ากรณีใดๆ ทั้งสิ้น อีกทั้งห้ามมิให้ตัดแปลงเนื้อหาข้อมูลอ้างอิงถึงเจ้าของเอกสารทุกครั้งที่มีการนำไปใช้

บทนำ

การติดต่อสื่อสารทางวิทยุในปัจจุบันมีความเจริญทางเทคโนโลยีขึ้นมาอย่างรวดเร็วได้มีการนำคอมพิวเตอร์เข้ามาใช้ในรูปแบบต่าง ๆ ในการติดต่อสื่อสาร โดยทั่วไปจะมีอยู่ 2 ลักษณะ คือ

1. การสื่อสารข้อมูลระหว่างกันโดยใช้สายเชื่อมต่อระหว่างกัน ซึ่งความสามารถในการส่งข้อมูลขึ้นอยู่กับคุณสมบัติของสายส่ง จึงไม่สะดวกในการบำรุงรักษาหรือตรวจสอบ
2. การสื่อสารข้อมูลโดยผ่านทางคลื่นวิทยุซึ่งสามารถทำการติดต่อกันได้ในระยะทางไกล หรือที่ต่าง ๆ ไม่สามารถเดินสายส่งเข้าไปถึงได้ ทำให้ไม่มีปัญหาในเรื่องสายส่ง

การสื่อสารโดยใช้คลื่นวิทยุ เช่น วิทยุสื่อสาร (วิทยุรับส่ง) จะต้องใช้เสาอากาศในการรับส่งคลื่นวิทยุในคลื่นความถี่ต่าง ๆ ในการติดต่อให้ได้ช่องคลื่นความถี่ที่แรง หรือช่องความถี่ที่ต้องการ จะต้องทำการหันเสาอากาศ (YAKI) ไปในทิศทางที่ต้องการ จึงต้องใช้มอเตอร์ (ROTOR) ในการหันและจากการใช้ ROTOR ในการควบคุม จะต้องมิตัวควบคุม (CONTROL UNIT) ที่ออกแบบโดยวงจรอิเล็กทรอนิกส์ จากที่กล่าวมา

ปัญหานี้ได้นำเอาไมโครคอนโทรลเลอร์ เข้ามาควบคุมแทนตัวควบคุมเดิมทำให้ มีประสิทธิภาพดีขึ้น จากการใช้ไมโครคอนโทรลเลอร์มาใช้ในการควบคุม จะมีความสามารถในการแสดงผล และเก็บข้อมูลในรูปของหน่วยความจำก็คือเราสามารถจดจำช่องความถี่ต่าง ๆ โดยการกำหนดองศาของสถานีที่เราต้องการติดต่อ โดยการบันทึกจากผู้ใช้ เก็บไว้ในหน่วยความจำ

วัตถุประสงค์ของปัญหานี้

1. เพื่อศึกษาระบบควบคุมทิศทางหมุนของ ROTOR สายอากาศ ซึ่งเป็น MOTOR ที่ใช้ไฟฟ้ากระแสกลับ
2. ศึกษาการประยุกต์ใช้ไมโครคอนโทรลเลอร์
3. เพื่อศึกษาการควบคุมอัตโนมัติโดยใช้คอมพิวเตอร์
4. เพื่อนำเอาโครงการนี้ไปใช้ประโยชน์ได้จริง
5. สามารถนำเอาความรู้ที่ได้จากปัญหานี้ไปแก้ปัญหากับงานอื่น ๆ ต่อไป

ขอบเขตของปัญหานี้

เนื้อหาของปัญหานี้ฉบับนี้จะมีเนื้อเรื่อง ซึ่งแบ่งตามบทต่าง ๆ ดังนี้

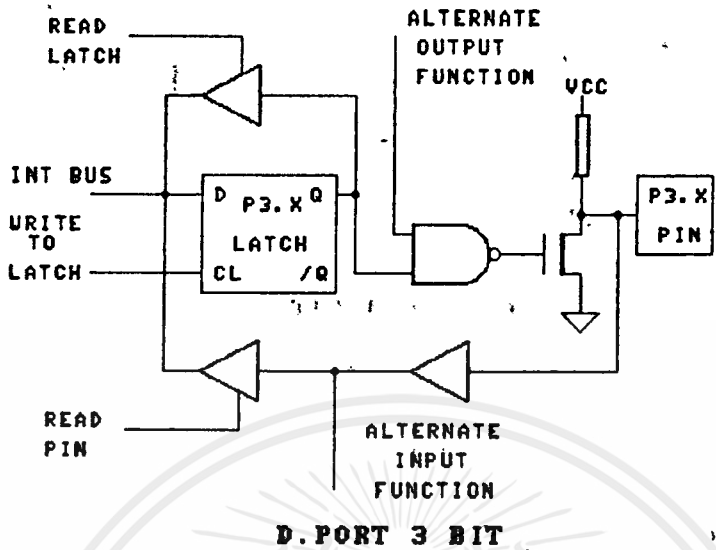
บทที่ 1 กล่าวถึงหลักการออกแบบการใช้งาน จะกล่าวถึงการออกแบบโดยรวมของเครื่องโดยจะแบ่งออกเป็นบล็อกไดอะแกรม และการใช้งานในรูปแบบต่าง ๆ

บทที่ 2 กล่าวถึงหลักการออกแบบในภาค CONTROLLER ซึ่งถือเป็นหัวใจของระบบและ

ส่วนประกอบที่สำคัญๆ

- บทที่ 3 เป็นการอธิบายถึงการทำงานของภาค DRIVER ROTOR โดยจะกล่าวถึงพื้นฐานการควบคุม AC มอเตอร์ วงจร Interface กับภาค CONTROLLER และชิ้นส่วนประกอบของตัว ROTER
- บทที่ 4 เป็นเนื้อหาของการออกแบบ WIND DIRECTION และ WIND SPEED โดยจะกล่าวถึงทั้ง machanic และ electronic รวมถึงข้อกำหนดต่าง ๆ
- บทที่ 5 เป็นเนื้อหาการออกแบบ GRAPRIC LCD และ KEY BOARD
- บทที่ 6 แสดงการทำงานของ PROGRAM และ SOURCE CODE





รูปที่ 1 8051 Bit Latch และ I/O Buffer

รูปที่ 1 แสดงไดอแกรมของ Bit Latch และ I/O Buffer ของ Port ทั้ง 4 Bit Latch (เป็น 1 Bit ใน SFR ของ Port) ก็คือ D flip-flop ซึ่งค่าจาก Internal Bus จะถูก Latch เมื่อมีสัญญาณ clock ป้อนเข้ามาซึ่งก็คือสัญญาณ ' write to Latch ' จาก CPU Output ขา Q ของ flip-flop จะไปปรากฏที่ Internal Bus เมื่อมีสัญญาณ ' read Latch ' จาก CPU และ 4 Level ที่ขา Port จะปรากฏที่ Internal Bus เมื่อมีสัญญาณ ' read pin ' จาก CPU มีบางคำสั่ง เช่นคำสั่งอ่าน Port จะถูกกระตุ้นด้วยสัญญาณ ' read Latch ' ซึ่งเป็นการนำค่า Output ที่ขา Q ให้มาปรากฏที่ Internal Bus นั้นเอง ส่วนคำสั่งอื่นๆ จะมีการกระตุ้นด้วยสัญญาณ ' read pin ' ดังได้แสดง ในรูปที่ 1A และ 1C Output Driver ของ Port 0 และ Port 2 สามารถ Switch ระหว่าง Internal ADDR และ ADDR/DATA Bus ได้โดยสัญญาณควบคุมภายในซึ่งจะใช้สำหรับการติดต่อกับหน่วยความจำภายนอกในขณะที่กำลังติดต่อกับหน่วยความจำภายนอก ค่า P2SFR ยังคงค่าเดิมไม่เปลี่ยนแปลง แต่ค่า PoSFR จะถูกเขียน ด้วยค่า '1' จากรูปที่ 1D ถ้า Bit Latch ของ P3 มีค่าเป็น '1' แล้ว Level ที่ขา Output จะถูกควบคุมด้วยสัญญาณ ' Alternate output function ' Level ที่ขา P3x จึงจะปรากฏที่ขา Alternate input function Port 1, Port 2 และ Port 3 มี Internal pullup แต่ Port 0 มี Output แบบ Open drain แต่ละ Bit I/O สามารถเป็น Input หรือ Output ได้อย่างอิสระ (Port 0 และ Port 2 อาจไม่สามารถใช้เป็น I/O ทั่วไปได้เมื่อมีการต่อ CPU กับหน่วยความจำภายนอกเพราะจะถูกใช้เป็น ADDR/DATA Bus) ในการใช้งาน Port เป็น Input Bit Latch ของ Port ต้องมีค่าเป็น '1' ซึ่งมันจะทำการ off

ลักษณะหน้าที่การทำงานของแต่ละบล็อกไดอะแกรม

-CPU (CONTROLLER) มีหน้าที่ควบคุมการทำงานทั้งหมดของวงจร และเป็นส่วนเก็บ หน่วยความจำ และ PROGRAM MONITER ซึ่งมีความสำคัญมาก ในส่วน CONTROLLER นี้จะเป็นตัวรับรู้สภาวะต่างๆ เพื่อสามารถปฏิบัติงานได้จริงตามความต้องการ ส่วนหลักการทำงานและการทำงานจะกล่าวในบทที่ 2 ต่อไป

-WIND DIRECTION มีหน้าที่รับรู้สภาวะทิศทางของลม เพื่อนำไปเปรียบเทียบกับตำแหน่งของ ROTER ใน MODE 0 และเป็นตัวบอกทิศทางของลม และความแรงของลม ซึ่งจะอยู่ในส่วนของ WIND SPEED เพื่อนำไปใช้งานใน MODE 1 ในส่วนของ WIND DIRECTION และ WIND SPEED จะกล่าวถึงรายละเอียดต่างๆในบทที่ 4

-DRIVER ROTER มีหน้าที่ควบคุมเฟสทั้ง 2 ของ ROTER ในการทำงานตามทิศทางที่ ภาค CONTROLLER สั่ง และจะเป็นตัวบอกตำแหน่งของ ROTER ในสถานะปัจจุบัน โดยส่งกลับในรูปของสัญญาณ DIGITAL ไปที่ส่วน CONTROLLER รายละเอียดจะกล่าวในบทที่ 3

-GRAGHIC LCD มีหน้าที่แสดงผลการทำงานต่างๆ จาก KEYBOARD ,DRIVER , WIND DIRECTION โดยผ่าน CONTROLLER คุณสมบัติของ LCD จะกล่าวในบทที่ 5

-KEYBOARD มีหน้าที่เป็น INPUT จากผู้ใช้งาน ที่จะควบคุมการทำงานและเก็บข้อมูล ซึ่งจะมี FUNTION ต่างๆตามการใช้งานใน MODE ต่างๆ

จากที่กล่าวมาเป็นหน้าที่หลักการทำงานใน BLOCK ต่างๆ ซึ่งจะกล่าวอย่างคร่าวๆ ส่วนรายละเอียด การออกแบบ การทำงานหลักจะกล่าวถึงในบทต่อไป ต่อไปจะกล่าวถึง การใช้งาน และการทำงานของเครื่อง

การใช้งานของเครื่อง

เราสามารถแบ่งการทำงานออกเป็นส่วนสำคัญ 2 MODE การทำงานดังนี้

1. MODE การทำงานเกี่ยวกับระบบควบคุมทิศทางของผู้ใช้ ซึ่งจะอาศัยการผ่านงานทาง MICROCONTROLLER เพื่อควบคุมส่วนของวงจร DRIVE ซึ่งใน MODE นี้จะรวมการทำงานในระบบข้อมูล หน่วยความจำของทิศทาง ซึ่งผู้ใช้สามารถ PROGRAM ได้

2. MODE การทำงานเกี่ยวกับระบบการป้องกัน ความเสียหายของตัวสายอากาศอันเนื่องมาจากลมพายุใน MODE นี้จะเป็นการติดต่อโดยตรงระหว่างตัวรับรู้สภาวะทิศทาง (WIND DIRECTION) และตัวรับรู้ความเร็วลม (WIND SPEED) กับ MICROCONTROLLER โดยตรง ซึ่งผู้ใช้สามารถสั่งให้เครื่องเข้าสู่ MODE นี้ได้โดยตรง

การติดตั้งและการใช้งาน

ROTOR ที่นำมาใช้งาน จะต้องเป็น ROTOR แบบ TWIN DIRECTION โดยที่ ต้อง SET ให้จุดสิ้นสุดของการหมุนของแต่ละรอบ (0 และ 360 องศา) ไว้ที่ทิศเหนือ หรือทิศที่ต้องการอ้างอิงเสมอ เพื่อเป็นการสร้างทิศทางอ้างอิง

การควบคุมทิศทางที่ต้องการสามารถส่งผ่านทาง KEYBOARD เป็นจำนวนองศาตามต้องการ

เอกสารนี้เป็นเอกสารที่สงวนไว้สำหรับการใช้งานเพื่อการศึกษาเท่านั้น ไม่อนุญาตให้นำไปใช้ประโยชน์ด้านการค้า ไม่ว่ากรณีใดๆ ทั้งสิ้น อีกทั้งห้ามมิให้ตัดแปลงเนื้อหา และต้องอ้างอิงถึงเจ้าของเอกสารทุกครั้งที่มีการนำไปใช้

หรือสามารถสั่งให้ ROTOR หมุนอย่างต่อเนื่อง ซึ่งควบคุมโดยผู้ใช้โดยตรง (MANUAL) จากปุ่ม D+ , D- เพื่อหาทิศทางที่ดีที่สุดในการรับคลื่น จากนั้นผู้ใช้สามารถ MEMORY ช่องสถานีที่ต้องการได้โดยใช้ปุ่ม MW โดยมีรูปแบบการดำเนินคำสั่งดังนี้

เริ่มแรกผู้ใช้จะต้อง SCAN สถานีที่ต้องการ โดยกดปุ่ม D+ , D- ROTOR จะหมุนไปในทิศทางที่เราต้องการ ในการเปรียบเทียบสถานีที่ต้องการ เราก็ดูจาก เครื่องวิทยุรับส่งเช่น เราต้องการติดต่อกับสถานีที่ต้องการ เริ่มแรกเราจะหันสายอากาศโดยกดปุ่ม D+ , D- สายอากาศจะหันสู่เป้าหมาย และจะมีการแสดงองศาอยู่ตลอดเวลาที่ LCD DISPLAY เมื่อเราสามารถหันสายอากาศจนสามารถติดต่อกับสถานี ตามที่ต้องการเป็นทิศทางจำนวนกี่องศา

*****ในสภาวะเริ่มแรกก่อนที่มีการ MEMORY จะต้อง SCAN สถานีก่อนทุกครั้ง**

การสแกน (SCANNING)

การสแกนแบ่งออกเป็น 2 ลักษณะ คือ 1. สแกนตามความแรงของช่องสถานี 2. สแกนตามความต้องการของผู้ใช้เพื่อจะติดต่อกับสถานีนั้น และนำไป MEMORY

การสแกนโดยทั่วไปจะสแกนได้โดยผู้ใช้ และจะหยุดสแกนเมื่อพบช่องสถานีที่ต้องการ

วิธีการสแกน (BAND SCAN)

1. ทำการเลือกสถานีที่ต้องการติดต่อ โดยกดปุ่ม D+ , D- โดย CHECK ได้จากวิทยุรับส่งที่ติดตั้งประจำสถานีของตน

2. เมื่อทำการปรับ ROTOR จะหันไปทางทิศที่สามารถรับสัญญาณ (ความถี่) จากสถานีที่ต้องการ DISPLAY จะแสดงค่าองศาที่ได้จากการหันสายอากาศตามที่ได้ติดต่อกับสถานีนั้น

3. ค่าองศาที่ได้จะแสดงและถูกเก็บมาไว้ในส่วนของ NUMBER OF DIRECTION ของ LCD

การบันทึกหน่วยความจำ (MEMORY ENTRY)

หน่วยความจำ (MEMORY) ของเครื่องสามารถบันทึกช่องสถานี ได้ทั้งหมด 00-99 ช่อง ในขณะที่ผู้ใช้ต้องการบันทึกช่องสถานีใหม่ทุกครั้งจะต้องทำการ SCAN ก่อนทุกครั้ง ในบางครั้งผู้ใช้เครื่องมีความต้องการจะลบโปรแกรมข้อมูลที่เคยบันทึกไว้จะต้องใส่ข้อมูลใหม่เข้าไป ลักษณะก็คล้ายๆกันกับการบันทึกช่องสถานี

วิธีการบันทึกช่องสถานี

1. เมื่อได้ค่าองศาตามวิธีการ SCAN ซึ่งแสดงในส่วน NUMBER OF DIRECTION ของ LCD เมื่อเราต้องการจะบันทึกช่องสถานีนั้น เราต้องทำการ SCAN ก่อนเสมอ

2. กดปุ่ม MW เพื่อจะทำการเลือกช่องสถานีโดย DISPLAY จะแสดงส่วน MEMORY เพื่อรอรับการ KEY จากผู้ใช้ ซึ่งจะต้อง KEY ช่องสถานีที่ต้องการจะเก็บ โดยมีจำนวน 100 ช่อง

3. เมื่อทำการป้อนค่าช่องสถานีที่ต้องการแล้ว เช่น ต้องการบันทึกช่องสถานีในช่องที่ 5 ให้กดปุ่ม 5 DISPLAY จะแสดง Memory 005

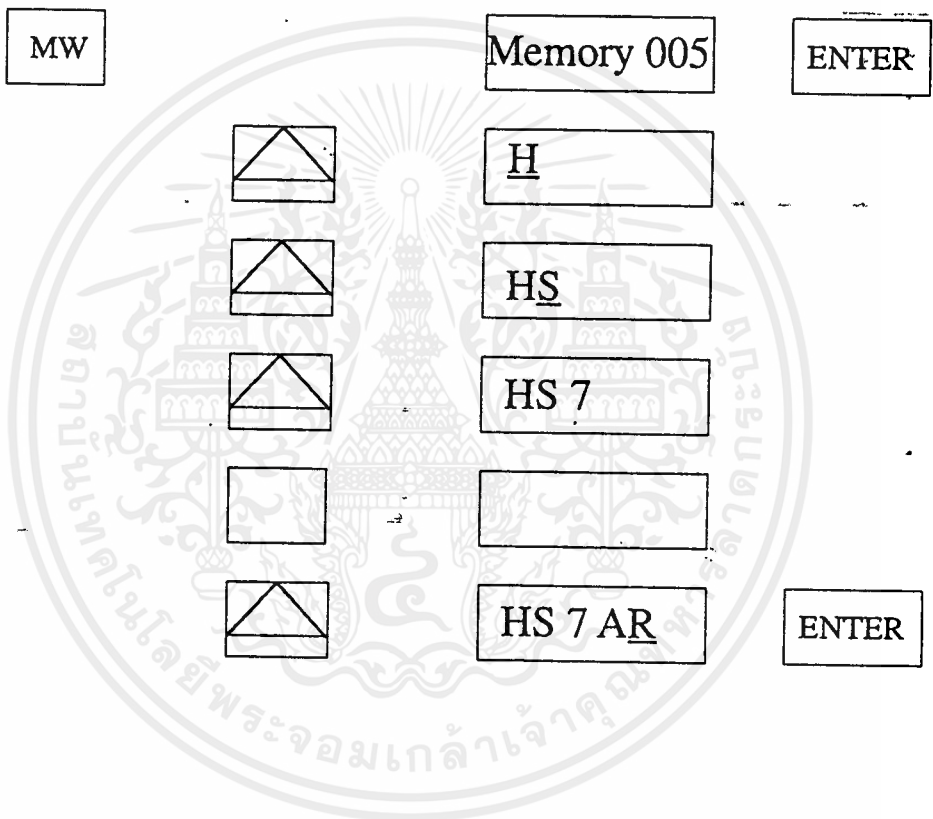
4. ช่องสถานีจะปรากฏที่ DISPLAY ในส่วนของ STATION โดยเครื่องจะเรียกข้อมูลช่องนี้จากหน่วยความจำขึ้นมาแสดง

5. ค่าที่ถูกเรียกจากช่องนี้ถ้ามีการบันทึกอยู่แล้วและต้องการจะบันทึกทับลงไปให้กดปุ่ม ENTER แต่ถ้าไม่ ให้กดปุ่ม ESC เครื่องจะกลับสู่สภาวะ MAIN

6. เครื่องจะรอรับการป้อนชื่อสถานที่ที่ต้องการติดต่อ ที่ช่อง STATION ข้อมูลโดยจะบอกช่องสถานี และตามด้วยเคอร์เซอร์ ดังนี้ _ เคอร์เซอร์จะรอการป้อน

7. ทำการตั้งชื่อสถานที่ที่ต้องการ โดยเลือกตัวอักษร (ALPHABET) กับตัวเลข (NUMERIC) โดยใช้ปุ่ม ARROW KEY และ ชุด NUMBER KEY ตามลำดับ

8. เมื่อใส่ชื่อสถานที่ตามต้องการแล้วกดปุ่ม ENTER เครื่องจะกลับสู่สภาวะ MAIN เช่น ต้องการป้อนชื่อสถานี ชื่อ HS 7 AR ในส่วนของ STATION



การเรียกใช้งาน

1. กดปุ่ม MR DISPLAY จะแสดง เพื่อรอการเรียกช่องสถานีจากผู้ใช้
2. ทำการป้อนช่องสถานีที่ต้องการติดต่อ ซึ่งมีทั้งหมด 100 ช่อง
3. กดปุ่ม MR และตามด้วยปุ่ม ENTER เครื่องจะรับรู้การติดต่อจากผู้ใช้
4. เครื่องจะ DRIVE ROTER ให้หันไปในทิศทางองศาที่บันทึกไว้ในช่องสถานีที่ถูก

เรียกใช้

บทที่ 2

หลักการออกแบบภาค controller

จากที่กล่าวมาในบทนำ วิทยานิพนธ์นี้ได้ใช้ microcontroller ตระกูล MCS-51 เป็น CPU ของระบบ เป็นหลักในการออกแบบภาค controller นี้

โดยที่ส่วนของ CONTROLLER ถูกสร้างขึ้นเพื่อใช้ในการควบคุมให้ตรงกับหน้าที่ๆ ต้องกิริหลักการทำงานของ CPU ในตระกูล MCS-51 คือเป็น microcontroller โครงสร้างทางกายภาพดังนี้

ลักษณะของ board

CPU - 8031

MEMORY - สามารถใส่หน่วยความจำได้สูงสุด 96KB คือ EPROM 64 KB และ สามารถ RAM 32 KB

I/O - 3 x 8 บิต INPUT/OUTPUT (8255)

- 1 x 8 บิต INPUT/OUTPUT (PORT 1 8031)

- 1 serial port (RS232)

ในการเลือกใช้หน่วยความจำ นั้น จะใช้ EPROM 27512 เป็น PROGRAM MEMORY และ RAM 62256 เป็น DATA MEMORY โดยจะมีการ interface กับภาคต่างๆ ดังนี้ คือ

-ภาค DRIVER ROTOR จะ interface แบบ DIGITAL TO ANALOG และแบบ ANALOG TO DIGITAL โดยจะใช้ 8255 PROGRAMMABLE I/O PORT เป็นตัว interface ซึ่ง 8255 จะเป็นตัวขยาย PORT จาก 8031 ให้มีการใช้ PORT ได้มากขึ้น

-ภาค แสดงผล DISPLAY GRAPHIC LCD 12864 ถูกออกแบบให้ต่อเข้ากับ PORT ขีอง 8255

-KEYBOARD จะถูกออกแบบให้ต่อกับ PORT ของ 8255 และจะมีการต่อเข้ากับ INTERRUPT

-ภาค WIND DIRECTION จะออกแบบให้ต่อเข้ากับ PORT 1 ของ 8255

-ภาค WIND SPEED จะออกแบบให้ต่อเข้ากับ TIMER/COUNTER 0

จากการที่ภาค CONTROLLER จะต้องเป็นส่วนสำคัญในการควบคุม ภาคการทำงานต่างๆ จึงมีความจำเป็นที่จะต้องเข้าใจ หลักการทำงาน ของ MCS-51 อย่างละเอียด

สิ่งสำคัญที่จะต้องพิจารณาในการออกแบบ ภาค CONTROLLER มีดังนี้

- I/O PORT (8031)

- EXPANDING I/O PORT (8255)

เอกสารนี้เป็นเอกสารที่สงวนไว้สำหรับการใช้งานเพื่อการศึกษาเท่านั้น ไม่อนุญาตให้นำไปใช้ประโยชน์ด้านการค้า ไม่ว่ากรณีใดๆ ทั้งสิ้น อีกทั้งห้ามมิให้ตัดแปลงเนื้อหามันจะต้องอ้างอิงถึงเจ้าของเอกสารทุกครั้งที่มีการนำไปใช้

- TIMER/COUNTER
- EXTERNAL MEMORY (MEMORY MAP I/O)
- INTERRUPT

MICROCONTROLLER DESIGN

การออกแบบ MICROCONTROLLER ตามรูป 1 เป็นวงจรที่ออกแบบโดยสมบูรณ์ในส่วนของหน่วยความจำ EXTERNAL MEMORY (หน่วยความจำภายนอก)

หน่วยความจำภายนอกจะใช้ port 0 เป็น DATA และเป็น ADDRESS LOW-ORDER และ PORT2 เป็น HIGH-ORDER ADDRESS DATA และ LOW-ORDER ADDRESS ใน PORT 0 จะใช้เวลาในการ MULTIPLEX และใช้ IC373 เป็นตัว ADDRESS LATCH โดยต่อเข้ากับ PORT 0 เพื่อจัดเก็บ LOW ADDRESS BYTE โดยใช้สัญญาณ ALE ในการเลือกโดยรับจาก 8031

PORT 0 จะเป็น DATA BUS แบบ BI-DIRECTIONAL ภายใต้ MACHINE CYCLE-READ และ WRITE

RAM และ ROM จะใช้ ADDRESS ที่แตกต่างกันโดยการควบคุมจาก 8031 โดยสัญญาณ PSEN สำหรับ ROM และ WR และ RD สำหรับ RAM ซึ่งจะทำให้มีตัวใดตัวหนึ่ง สามารถมีหน่วยความจำได้ถึง 64 KBYTES

การนำ Microprocessor มาต่อใช้งาน ส่วนที่มีความสำคัญมากส่วนหนึ่งก็คือ Port ซึ่ง Port เป็นอุปกรณ์สำคัญที่ CPU จะใช้ติดต่อกับโลกภายนอก ซึ่งมีทั้ง คีย์บอร์ด , อุปกรณ์เซ็นเซอร์ และอุปกรณ์เอาต์พุตต่างๆ เช่น จอแสดงผล , เครื่องพิมพ์ การใช้งาน Port สำหรับ CPU ที่เป็น Microprocessor ส่วนใหญ่จะต้องต่อเพิ่มขึ้นเอง แต่สำหรับ CPU ที่เป็น Microcontroller จะมี Port อยู่ภายใน ซึ่งสะดวกมากกับระบบขนาดเล็กที่ใช้ Port ไม่มากนัก แต่ก็ยังสามารถต่อขยายได้ โดยเฉพาะอย่างยิ่ง 8051 Microcontroller ที่แต่ละ Bit สามารถใช้เป็น อินพุต หรือ เอาต์พุตได้ และบาง Bit ในบาง Port ยังนำมาใช้ทำ Function พิเศษได้อีก

8051 มี Port ทั้งหมด 4 Port ซึ่งเป็นแบบ 2 ทิศทาง(bidirectional) แต่ละ Bit ของ Port จะประกอบไปด้วย วงจร Latch (ค่าของ Port ทั้ง 4 จะอยู่ใน Special Function Register P0-P3) , Output Driver และ Input Buffer Output Driver ของ Port 0 และ Port 2 และ Input Buffer ของ Port 0 จะถูกใช้ในการติดต่อกับหน่วยความจำภายนอก (External Memory) การใช้งานใน ลักษณะนี้ Port 0 จะเป็น Output ให้ค่า Address Byte ต่ำ (A0-A7) กับหน่วย ความจำภายนอก และในช่วงเวลาถัดไป Port 0 จะถูกใช้เป็น Data Bus สำหรับการเขียนหรืออ่านข้อมูล (D0-D7) โดยจะเป็น Output เมื่อทำการเขียน และเป็น Input เมื่อทำการอ่านหน่วยความจำภายนอก (การทำงานของ Port 0 ในลักษณะนี้จะเป็นแบบ Multiplex Address/Data) Port 2 จะทำหน้าที่เป็น Output ให้ค่า Address Byte สูง (A8-A15) กับหน่วยความจำภายนอก ซึ่งจะทำให้อ้าง Address ได้ครบทั้ง 16 Bit ส่วนการใช้งาน Port 2 ในลักษณะอื่นค่าที่ขาของ Port 2 จะปรากฏตามค่าที่อยู่ใน P2 SFR

ขาทั้งหมดของ Port 3 และ 2 ขาของ Port 1 (ใน 8051) ถูกจัดไว้สำหรับหน้าที่พิเศษ แสดงในตารางที่ 1

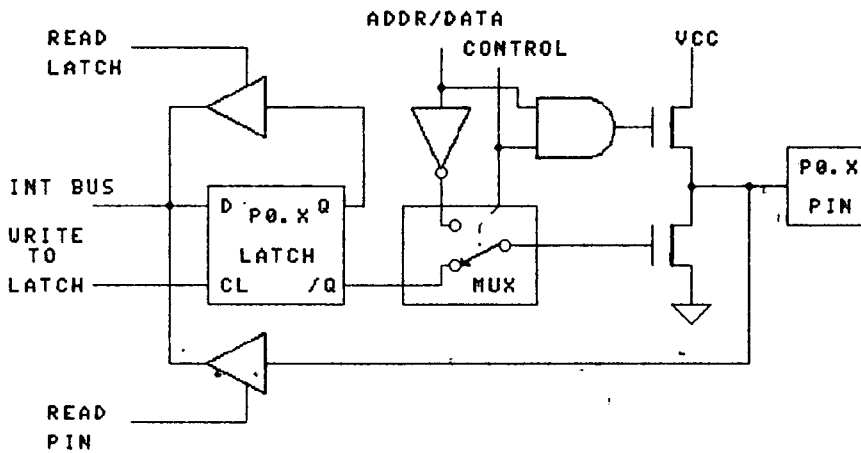


Alternate Function จะสามารถใช้งานได้อีกโดยเมื่อได้ทำการ Set Bit Latch ใน Port SFR ให้มีค่าเป็น '1' เท่านั้น ส่วนการใช้งานในลักษณะอื่นๆ ให้ทำการ Clear ขา Port นั้นให้เป็น '0'

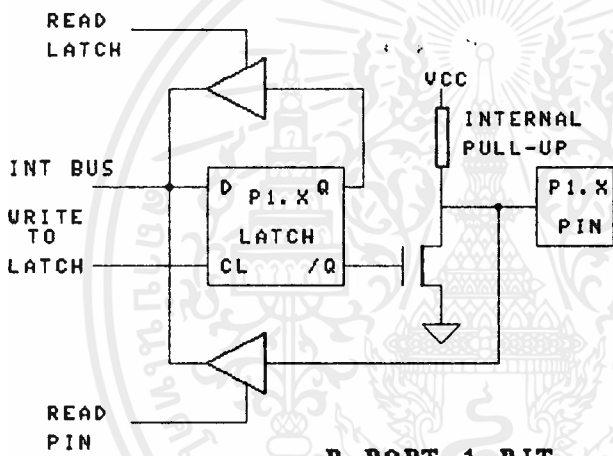
Port Pin	Alternate Function
*P1.0	T2 (Timer/Counter 2 external input)
*P1.1	T2EX (Timer/Counter 2 Capture/Reload trigger)
P3.0	RXD (serial input port)
P3.1	TXD (serial output port)
P3.2	$\overline{INT0}$ (external interrupt)
P3.3	$\overline{INT1}$ (external interrupt)
P3.4	T0 (Timer/Counter 0 external input)
P3.5	T1 (Timer/Counter 1 external input)
P3.6	\overline{WR} (external Data Memory write strobe)
P3.7	\overline{RD} (external Data Memory read strobe)

ตารางที่ 1 Function พิเศษของ Port 3 และ Port 1
ขา P1.1 และ P1.0 จะถูกใช้ใน Alternate Function เมื่อใช้ 8052

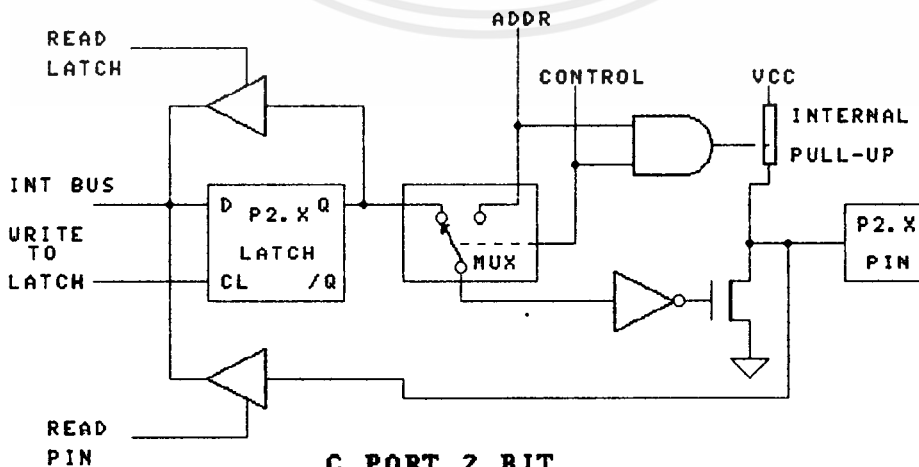
เอกสารนี้เป็นเอกสารที่สงวนไว้สำหรับการใช้งานเพื่อการศึกษาเท่านั้น ไม่อนุญาตให้นำไปใช้ประโยชน์ด้านการค้า
ไม่ว่ากรณีใดๆ ทั้งสิ้น อีกทั้งห้ามมิให้ดัดแปลงเนื้อหาเอกสารต้องอ้างอิงถึงเจ้าของเอกสารทุกครั้งที่มีการนำไปใช้



A. PORT 0 BIT



B. PORT 1 BIT



C. PORT 2 BIT

เอกสารนี้เป็นเอกสารที่สงวนไว้สำหรับการใช้งานเพื่อการศึกษาเท่านั้น ไม่อนุญาตให้นำไปใช้ประโยชน์ด้านการค้า
ไม่ว่ากรณีใดๆ ทั้งสิ้น อีกทั้งห้ามมิให้ดัดแปลงเนื้อหาและต้องอ้างอิงถึงเจ้าของเอกสารทุกครั้งที่มีการนำไปใช้

บทที่ 1

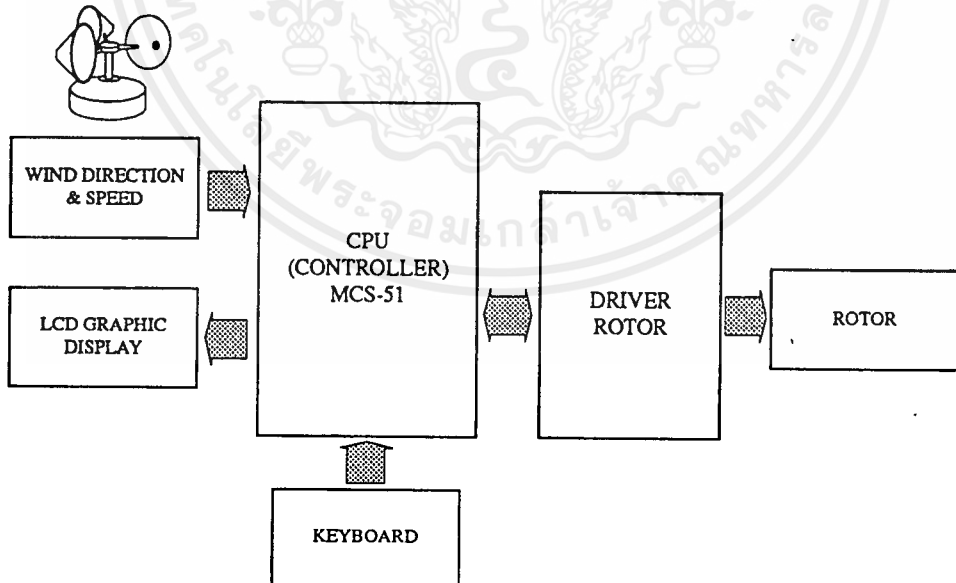
หลักการออกแบบและการใช้งาน

การควบคุมสายอากาศแบบทิศทาง เดิมนั้น เป็นการควบคุมทาง ANALOG ซึ่งผู้ใช้ต้องควบคุมทิศทางของสายอากาศอยู่ตลอดเวลา ทำให้เกิดความยุ่งยากเมื่อต้องการเปลี่ยนแปลงทิศทางในการติดต่อกับสถานีแต่ละสถานีที่แตกต่างกัน อีกทั้งสายอากาศนั้นจะเกิดความเสียหายหากทิศทางของสายอากาศมีทิศทางขวางกับทิศทางของลมพายุ

จากเทคโนโลยีในปัจจุบัน ได้มีการนำระบบคอมพิวเตอร์มาใช้ในการควบคุมอัตโนมัติกันอย่างกว้างขวาง ซึ่งทำให้ลดความยุ่งยากและซับซ้อนในระบบควบคุม อีกทั้งเรายังสามารถบันทึกการทำงานและประมวลผลข้อมูลอย่างมีประสิทธิภาพ

ซึ่งจากคุณสมบัตินี้เอง เราจึงนำเอาไมโครคอนโทรลเลอร์ (MCS-51) และจากคุณสมบัติของ MCS-51 นั้นจะประกอบด้วย พอร์ต I/O ถึง 4 พอร์ต มีหน่วยความจำภายในให้ใช้และมีความสามารถในการทำงานชุดคำสั่งระดับ BIT ดังนั้นจากคุณสมบัตินี้ MCS-51 จึงเหมาะสำหรับการควบคุมโดยเฉพาะ เราจึงนำมาใช้ในการควบคุมทิศทางการหมุนของสายอากาศ

จากความสามารถและความต้องการที่ได้กล่าวมาแล้วนั้น เราจึงนำขอบเขตการใช้งานของเครื่องที่ควรจะออกแบบ โดยจะมีหลักการออกแบบ และสามารถแบ่งส่วนการทำงานดังแสดงตามบล็อกไดอะแกรมข้างล่างได้ดังนี้



BLOCK DIAGRAM: DIRECTION ANTENNA CONTROLLING WITH MICROCONTROLLER SYSTEM

เอกสารนี้เป็นเอกสารที่สงวนไว้สำหรับการใช้งานเพื่อการศึกษาเท่านั้น ไม่อนุญาตให้นำไปใช้ประโยชน์ด้านการค้า ไม่ว่าจะกรณีใดๆ ทั้งสิ้น อีกทั้งห้ามมิให้ตัดแปลงเนื้อหา [หน้า 3](#) ต้องอ้างอิงถึงเจ้าของเอกสารทุกครั้งที่มีการนำไปใช้

output driver FET แล้วสำหรับ Port 1 , Port 2 และ Port 3 ที่ขา Port จะถูก pulled high ด้วย Internal pullup แต่มันสามารถ pulled low ด้วยแหล่งจ่ายภายนอก (External source) Port 0 ต่างจาก Port 1 , Port 2 และ Port 3 ตรงที่ไม่มี Internal pullup FET ใน Output Driver ของ Po (ดูรูปที่ 1A) จะถูกใช้เมื่อขา Port นั้นมีค่าเป็น '1' ขณะที่กำลังติดต่อกับหน่วยความจำภายนอกเท่านั้น ส่วนในกรณีอื่นๆ pullup FET จะอยู่ในสภาวะ off ดังนั้น Port Po จะถูกใช้เป็น Port Output ในลักษณะ 'open drain' การเขียนค่า '1' ให้กับ BitLatch ทำให้ FET ทั้ง 2 ตัวทางด้าน Output off จะมีผลทำให้ขา Port นั้นอยู่ในสภาวะลอยตัว (float) ในสภาวะเช่นนี้ มันสามารถใช้เป็น Input แบบ high impedance ได้ และเพราะว่า Port 1 , Port 2 และ Port 3 มี Internal pullup ค่าคงที่ การต่อวงจรแบบนี้ อาจเรียกได้ว่า เป็น Port แบบ quasi-bidirectional เมื่อใช้งานเป็น Input Port เหล่านี้จะต้องถูก pull-high และจะเปรียบเสมือนเป็น source current เมื่อมีการ pull low จากภายนอก Port latch ทั้งหมดใน 8051 จะถูกเขียนด้วยค่า '1' ทุก Bit เมื่อ CPU ถูก Reset ถ้าค่า 0 ถูกเขียนไปยัง Port Latch แล้ว Port Latch นั้นสามารถเปลี่ยนเป็น Input ได้โดยการเขียนค่า '1' ให้กับมัน

การใช้งาน

การเชื่อมต่อกับอุปกรณ์ภายนอก เป็นสิ่งที่จะต้องพิจารณาให้รอบคอบ เพราะถ้าต่อใช้งานมากเกินไป อาจทำให้เกิดการ loading ได้ ซึ่งจะทำให้เสียเสถียรภาพของระบบได้สำหรับ Port ของ 8051 Output Buffer Port 1 , Port 2 และ port 3 สามารถขับ Input ของ ไอซี TTL แบบ LS ได้ 4 Input Port ของ 8051 H MOS version สามารถ ขับโหลดในสภาวะปกติกับ ไอซี TTL หรือ วงจร NMOS ได้ ทั้ง H MOS และ CH MOS version ขาของ Port จัดวงจรด้าน Output เป็นแบบ open-collector และ open-drain ในกรณีการใช้งานโหมด Bus ภายนอก (External Bus Mode) Output Buffer ของ Port 0 แต่ละขาสามารถขับ Input ของ ไอซี TTL แบบ LS ได้ 8 Input แต่จำเป็น จะต้องต่อ resistor เพื่อ pullup ภายนอก

8051 TIMER/COUNTER

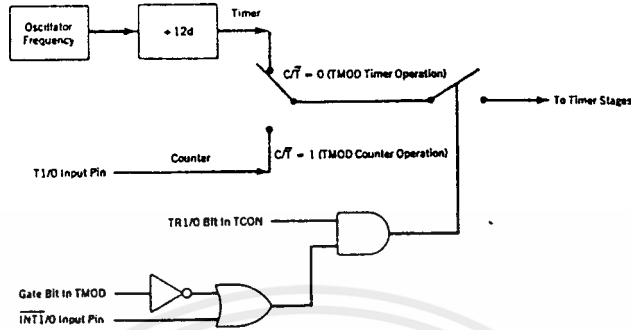
การทำงานแต่ละคำสั่งของ CPU สามารถทราบเวลาที่แน่นอนได้ แต่ในการทำงานจริงๆ จะมีเงื่อนไขมากมายที่ CPU จะต้องเปลี่ยนแปลงการทำงาน เช่น ถ้าใช้ CPU ทำงาน อย่างหนึ่งในระยะเวลาที่แน่นอน ในขณะที่ต้องทำงานอย่างอื่นด้วยการเขียนโปรแกรมกับงานแบบนี้จะยากมากเช่นการกำหนดอัตราการรับ/ส่ง ข้อมูล แบบอนุกรม (baud rate) , การสร้างสัญญาณฐานเวลา หรือการนับจำนวนสิ่งของในสายงานการผลิต

ในระบบการใช้งานจริง อาจใช้ support chip ประเภท timer/counter เพื่อการทำงานแบบนี้ และเป็นการแบ่งเบาภาระของ CPU แต่เมื่อจำนวนชิพเพิ่มขึ้น ระบบก็จะใหญ่ตามไปด้วย วิธีที่ดีที่สุดก็คือการใช้ CPU ประเภทที่มี timer/counter อยู่ภายใน (on chip timer/counter) 8051 เป็น CPU ในตระกูล MCS-51 ตัวหนึ่งที่มี timer/counter อยู่ภายในนอกจากนี้ยังมี การส่งข้อมูลแบบอนุกรม และการทำงานในระดับบิตรวมอยู่ด้วย

8051 มีรีจิสเตอร์ที่เป็นทั้ง timer และ counter อยู่ภายใน 2 ตัว คือ timer0 และ timer1 (8032/8052 มีเพิ่มอีก 1 ตัว คือ timer2) รีจิสเตอร์นี้มีขนาดตัวละ 16 บิต และสามารถแยกเป็นขนาด 8 บิตได้เป็น TH0, TL0, TH1 และ TL1 ทำหน้าที่ในการเก็บค่าของ timer หรือ counter และยังสามารถเคลื่อนย้ายข้อมูล , กระทำทางคณิตศาสตร์ และ ลอจิก กับรีจิสเตอร์อื่นๆ ได้ TIMER0 และ TIMER1 จะทำงานอิสระ คือตัวไหนจะเป็น timer หรือ counter ก็ได้ แต่ในเวลาหนึ่งจะเป็นได้เพียงอย่างเดียว

เอกสารนี้เป็นเอกสารที่สงวนไว้สำหรับการใช้งานเพื่อการศึกษาเท่านั้น ไม่อนุญาตให้拿去ใช้ประโยชน์ด้านการค้า ไม่ว่ากรณีใดๆ ทั้งสิ้น อีกทั้งห้ามมิให้ตัดแปลงเนื้อหา [หน้า 7-11](#) ต้องอ้างอิงถึงเจ้าของเอกสารทุกครั้งที่มีการนำไปใช้

FIGURE 2.11 Timer/Counter Control Logic



ไดอะแกรม รูปที่ 1

TIMER ทำหน้าที่ในการนับสัญญาณนาฬิกาภายใน CPU (ดูไดอะแกรมรูปที่ 1) สัญญาณนาฬิกาซึ่งมีความถี่แน่นอนจะถูกหารด้วย 12 แล้วให้ timer นับ เช่น ถ้า CPU ใช้ความถี่ 11.0592 MHz timer จะนับที่ความถี่ $11.0592\text{MHz}/12 = 921.6\text{ KHz}$ timer จึงนับทุกๆ $1/921.6\text{KHz} = 1.085\text{ uSEC}$ timer จะนับขึ้นแบบ binary เท่านั้น (binary up counter) การนับของ timer จะนับขึ้นเรื่อยๆ จนกระทั่งถึงค่าสูงสุด แล้วลงเป็น 0 (FF \rightarrow 0 หรือ 0 \rightarrow FF) แล้วเกิด interrupt ภายในตัว CPU ได้ (จะต้อง enable interrupt ด้วย) และตัวแปรที่สำคัญ ที่ทำให้ช่วงเวลาในการ interrupt ต่างกันคือ การกำหนดค่าเริ่มต้นให้กับ timer รีจิสเตอร์ (TH0, TL0, TH1 หรือ TL1) เช่นถ้ากำหนดค่าให้กับ timer รีจิสเตอร์สูง เวลาที่จะนับไปถึง 0 ก็เร็วขึ้น COUNTER ทำหน้าที่ในการนับสัญญาณจาก Input จากขา To หรือ T1 (ขา P3.4 และขา P3.5 ตามลำดับ) โดยสัญญาณจากขา Input นี้ อาจจะมีคาบเวลาที่ไม่แน่นอนสัญญาณที่ขา To ใช้ counter 0 นับ สัญญาณที่ขา t1 ใช้ counter 1 นับเท่านั้น การนับของ counter ก็เหมือนกับ timer คือนับขึ้นแบบ binary เท่านั้น และค่าเริ่มต้นในการนับ ก็อยู่ใน timer รีจิสเตอร์เช่นกัน มีข้อจำกัดของความถี่สูงสุดที่ป้อนให้กับขา To หรือ T1

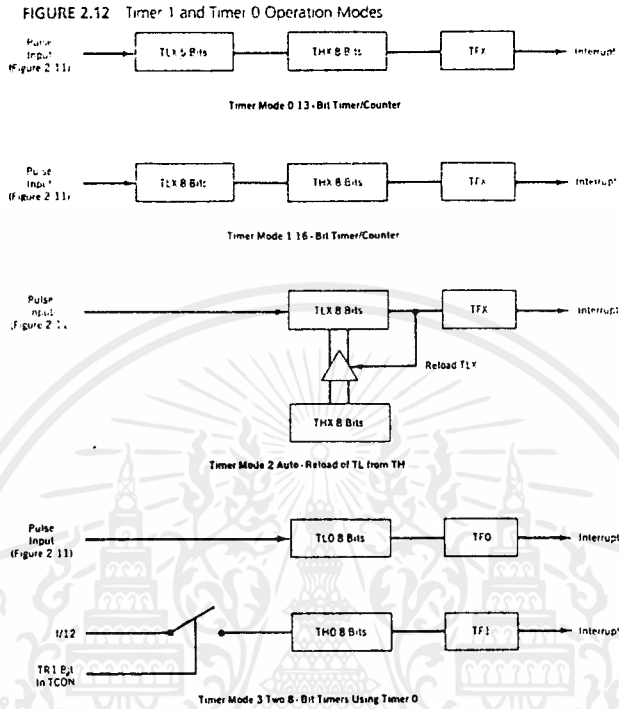
คือ จะต้องไม่มากกว่าความถี่ของระบบหารด้วย 24 เช่นถ้าระบบใช้ความถี่ 11.0592 MHz ความถี่สูงสุดที่ป้อนให้กับขา To หรือ T1 ได้คือ $11.0592\text{MHz}/24 = 460.8\text{KHz}$ ความแตกต่างระหว่าง timer กับ counter คือคาบเวลาของสัญญาณ และแหล่งที่มาของสัญญาณ ที่ใช้ในการนับ และก่อนการใช้งาน timer หรือ counter จะต้องกำหนดการทำงานของมันเสียก่อน โดยมีรีจิสเตอร์ที่กำหนดการทำงานและการ interrupt ของ timer และ counter คือ

TMOD Timer/Counter Mode Register

TCON Timer/counter Control Register

IE Interrupt Enable Register

IP Interrupt Priority Register



ไดอะแกรมรูปที่ 2

การใช้งาน Timer

timer ภายใน 8051 ใช้รีจิสเตอร์ขนาด 16 บิต แต่ในการใช้ อาจจะใช้แบบ 8 บิต 13 บิต หรือ 16 บิต ก็ได้ (ดูไดอะแกรมรูปที่ 2) เพื่อให้ขั้นตอนในการกำหนดการทำงานของ timer ง่ายและชัดเจนขึ้น จึงขอกล่าวเป็นขั้นตอนดังนี้

1. เลือกแบบการทำงานของ timer จากไดอะแกรมรูปที่ 2

2. จากโหมดของ timer เลือกค่า control code จากตารางรูปที่ 3 ถ้า timer ถูกควบคุมการทำงาน/หยุดด้วยโปรแกรมภายใน CPU ให้เลือกค่าในช่อง internal control และถ้าควบคุมการทำงานหยุดด้วยขา INT0/1 จากภายนอก CPU ให้เลือกค่าในช่อง external control ค่าที่ได้จะถูกกำหนดให้กับรีจิสเตอร์ TMOD

MODE	TIMER 0 FUNCTION	TMOD	
		INTERNAL CONTROL	EXTERNAL CONTROL
0	13-bit Timer	00H	08H
1	16-bit Timer	01H	09H
2	8-bit Auto-Reload	02H	0AH
3	two 8-bit Timers	03H	0BH

MODE	TIMER 1 FUNCTION	TMOD	
		INTERNAL CONTROL	EXTERNAL CONTROL
0	13-bit Timer	00H	80H
1	16-bit Timer	10H	90H
2	8-bit Auto-Reload	20H	A0H
3	does not run	30H	B0H

ตารางรูปที่ 3

MODE	COUNTER 0 FUNCTION	TMOD	
		INTERNAL CONTROL	EXTERNAL CONTROL
0	13-bit Timer	04H	0CH
1	16-bit Timer	05H	0DH
2	8-bit Auto-Reload	06H	0EH
3	one 8-bit Counter	07H	0FH

MODE	COUNTER 1 FUNCTION	TMOD	
		INTERNAL CONTROL	EXTERNAL CONTROL
0	13-bit Timer	40H	C0H
1	16-bit Timer	50H	D0H
2	8-bit Auto-Reload	60H	E0H
3	not available	-	-

ตารางรูปที่ 4

รีจิสเตอร์ TMOD นี้ใช้กับ timer 0 และ timer 1 ด้วย รายละเอียดของแต่ละบิตของ รีจิสเตอร์ TMOD มีดังนี้

เอกสารนี้เป็นเอกสารที่สงวนไว้สำหรับการใช้งานเพื่อการศึกษาเท่านั้น ไม่อนุญาตให้นำไปใช้ประโยชน์ด้านการค้า ไม่ว่ากรณีใดๆ ทั้งสิ้น อีกทั้งห้ามมิให้ดัดแปลงเนื้อหาและต้องอ้างอิงถึงเจ้าของเอกสารทุกครั้งที่มีการนำไปใช้

TMOD : TIMER/COUNTER MODECONTROL REGISTER .

NOT BIT ADDRESSABLE :

GATE จะควบคุมให้ timer ทำงานหรือหยุด (ให้อุโมงค์แอมรูแท้ 1 ประกอบ)จะเห็นว่าการควบคุมทำได้ 2 แบบคือ การทำให้ บิต GATE=0 เป็นการควบคุม CPU โดยโปรแกรม หรือ การควบคุมจากภายนอกด้วยขา INT0/1 = 1 ในขณะที่ บิต GATE = 1 การควบคุมทั้ง 2 แบบจะมีผลเมื่อบิต TR0/1 ในรีจิสเตอร์ TCON เป็น 1 ด้วย

C/T เลือกเป็น counter หรือ timer

M1,M0 โหมดการทำงานของ timer หรือ counter

3. กำหนดการ interrupt ในรีจิสเตอร์ IE โดยถ้าให้มีการ interrupt บิต EA (IE.7) จะต้องเป็น 1 เสมอ และ บิตอื่นๆ จะเป็น 1 เสมอ เมื่อ ต้องการให้ interrupt แต่ละตัวไป

IE : INTERRUPT ENABLE REGISTER.

BIT ADDRESSABLE:

EA (IE.7) disable all interrupt ถ้าบิตนี้เป็น 0 และ enable interrupt ได้เมื่อบิตนี้เป็น 1 และ บิต อื่นๆ (ตามข้างล่าง) เป็น 1 ด้วย

-- (IE.6) ไม่ใช่

ET2 (IE.5) TIMER2 overflow enable/disable interrupt (8032 /8052 เท่านั้น)

ES (IE.4)

ET1 (IE.3) TIMER1 overflow enable/disable interrupt

EX1 (IE.2)

ET0 (IE.1) TIMER0 overflow enable/disable interrupt

EX0 (IE.0)

หมายเหตุ บิตที่ไม่เกี่ยวกับ timer/counter จะไม่กล่าวถึง

4.ถ้าใช้ timer/counterมากกว่า 1ตัว จะต้องกำหนด ความสำคัญของการinterruptในรีจิสเตอร์ IPด้วย ถ้าเกิดการ interrupt พร้อมกัน ตัวที่มีความสำคัญ สูงกว่า จะได้รับการบริการก่อน ปกติแล้ว TIMER 0 จะมีความสำคัญกว่า TIMER 1 แต่ก็สามารถกำหนดให้TIMER 1 มีความสำคัญสูงกว่า TIMER 0 ได้โดยให้ บิต IP.3 = 1 และ IP.1 = 0

IP : INTERRUPT PRIORITY REGISTER.

BIT ADDRESSABLE:

(IP.7) ไม่ใช่

(IP.6) ไม่ใช่

PT2 (IP.5) TIMER2 priority level (8032/8052 เท่านั้น)

PS (IP.4)

PT1 (IP.3) TIMER1 priority level

PX1 (IP.2)

PT0 (IP.1) TIMER0 priority level

PX0 (IP.0)

5. กำหนดค่าเริ่มต้นให้กับ timer/counter (TH0 , TLo , TH1 หรือ TL1)

6. เซ็ทบิต TCON.4 (หรือ TCON.6) เพื่อให้ TIMER/COUNTER เริ่มทำงาน

TCON : TIMER/COUNTER CONTROL REGISTER.

BIT ADDRESSABLE.

TF1 (TCON.7) เป็น 1 เมื่อเกิดการ overflow จาก TIMER1 และจะกลับเป็น 0 เมื่อ CPU ทำโปรแกรมใน interrupt service routine

TR1 (TCON.6) เซ็ทให้เป็น 1 เพื่อให้ TIMER1 ทำงาน

TF0 (TCON.5) เป็น 1 เมื่อเกิดการ overflow จาก TIMER0 และจะกลับเป็น 0 เมื่อ CPU ทำโปรแกรมใน interrupt service routine

TR0 (TCON.4) เซ็ทให้เป็น 1 เพื่อให้ TIMER0 ทำงาน

IE1 (TCON.3)

IT1 (TCON.2)

IE0 (TCON.1)

IT0 (TCON.0)

การใช้งาน Counter

counter เป็น รีจิสเตอร์ตัวเดียวกับ timer แต่เรียกชื่อต่างกันตามลักษณะการใช้งาน ก่อนการใช้งานจึงต้องกำหนดการทำงาน เช่นเดียวกับ timer (ดูการกำหนดการทำงานจาก timer) แต่ให้เลือกค่า control code จากตารางรูปที่ 4 แทน

EXPANDING I/O PORT (การขยาย PORT I/O)

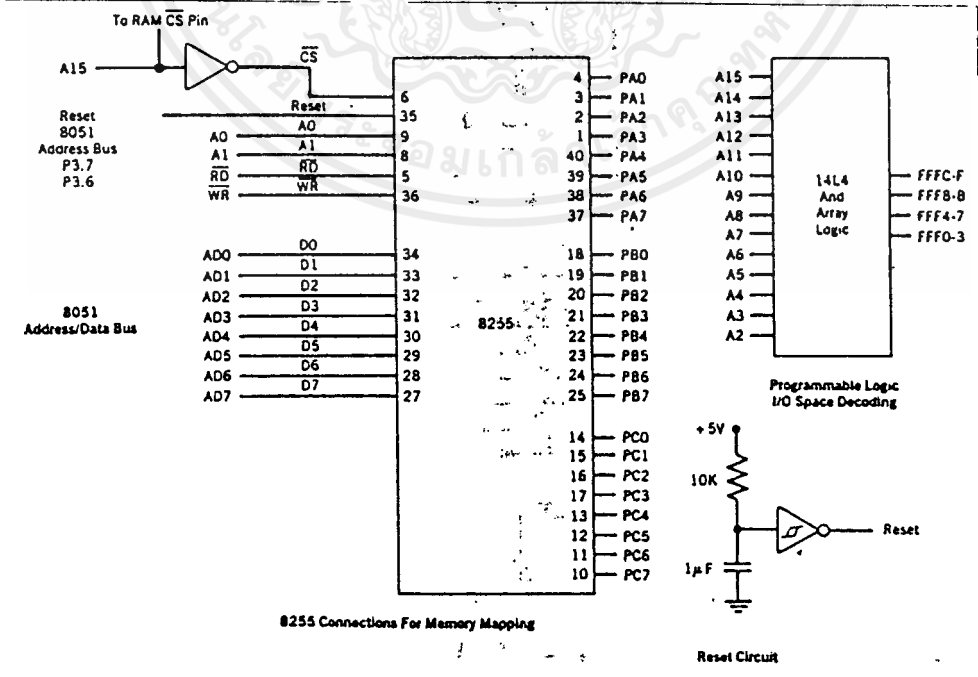
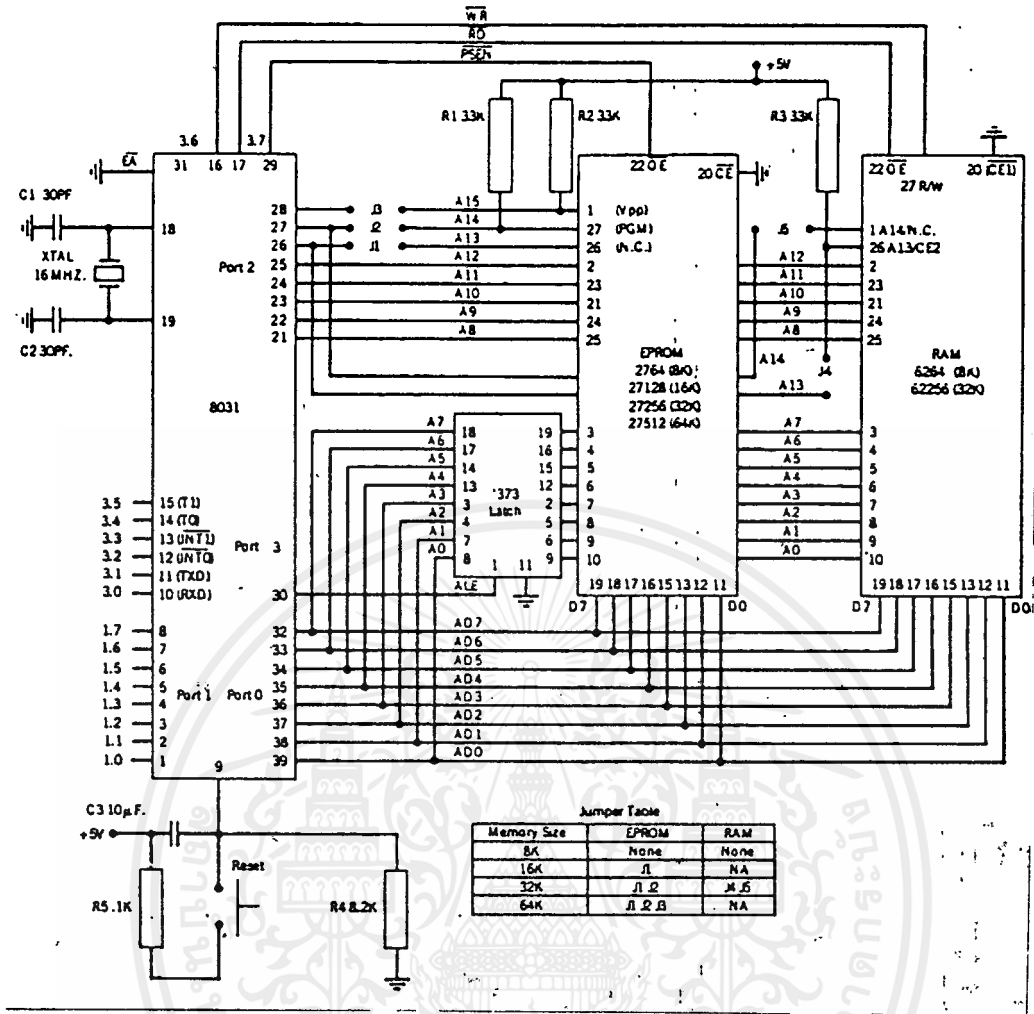
8031 จะมี PORT 0 และ PORT 3 ในการนำไปใช้ในการควบคุมที่มีขนาดเล็ก DATA BUS สามารถ INTERFACE เพื่อใช้ในการขยายวงจร ในส่วนของการขยาย PORT I/O ให้มากขึ้น PROGRAMABLE PORT CHIP ที่นิยมมากที่สุดคือ 8255 ซึ่งรายละเอียดของ 8255 จะกล่าวต่อไป 8255 จะมี REGISTER MODE ภายในเพื่อเป็นตัวควบคุมซึ่งสามารถเขียนได้โดย 8031 CONTROLLER WORDS จะมีรายละเอียดของหน้าที่ของ 8255 PORT คือ A B และ C โดยสามารถเลือกกว่าจะใช้เป็น INPUT หรือ OUTPUT หรือจะใช้เป็นแบบทั้ง 2 เลยก็ได้ การขยาย PORT สามารถออกแบบได้ดังนี้

MEMORY MAPPED I/O

8255 PROGRAMABLE I/O PORT CHIP ใช้สำหรับขยาย PORT โดยสามารถใช้ร่วมกับ RAM โดยการออกแบบซึ่งแสดงดังรูป 2 โดยการออกแบบให้ RAM มีหน่วยความจำ 32 KBYTES จาก 64 KBYTES 8255 PORT สามารถใช้ขา ADDRESS A15 เป็น ADDRESS สูง (8000H) และ 32 KBYTES RAM สามารถแสดงที่ขา A15 เป็น ADDRESS ต่ำ (7FFFH และ ต่ำกว่า) การ DECODE จะต้องใช้ขา A15 รวมกันดังนั้นจึงต้องใส่ INVERTER เพื่อการ DECODE หน่วยความจำสำหรับ RAM และ I/O

รูปที่ 2 เป็นการออกแบบโดยจะรวม MEMORY MAPPED PORT I/O ทั้ง 3 คือ ADDRESS FFF0H-FFF3H ; FFF4H-FFF7H ; FFF8H-FFFBH ; และ FFFCH-FFFFH โดย ADDRESS ของ RAM คือ 0000H-FFFFH

ซึ่งทั้งหมดนี้เป็นการออกแบบ EXPANDING I/O แบบ MEMORY MAPPED I/O โดยใช้



บทที่ 3

ภาค DRIVER

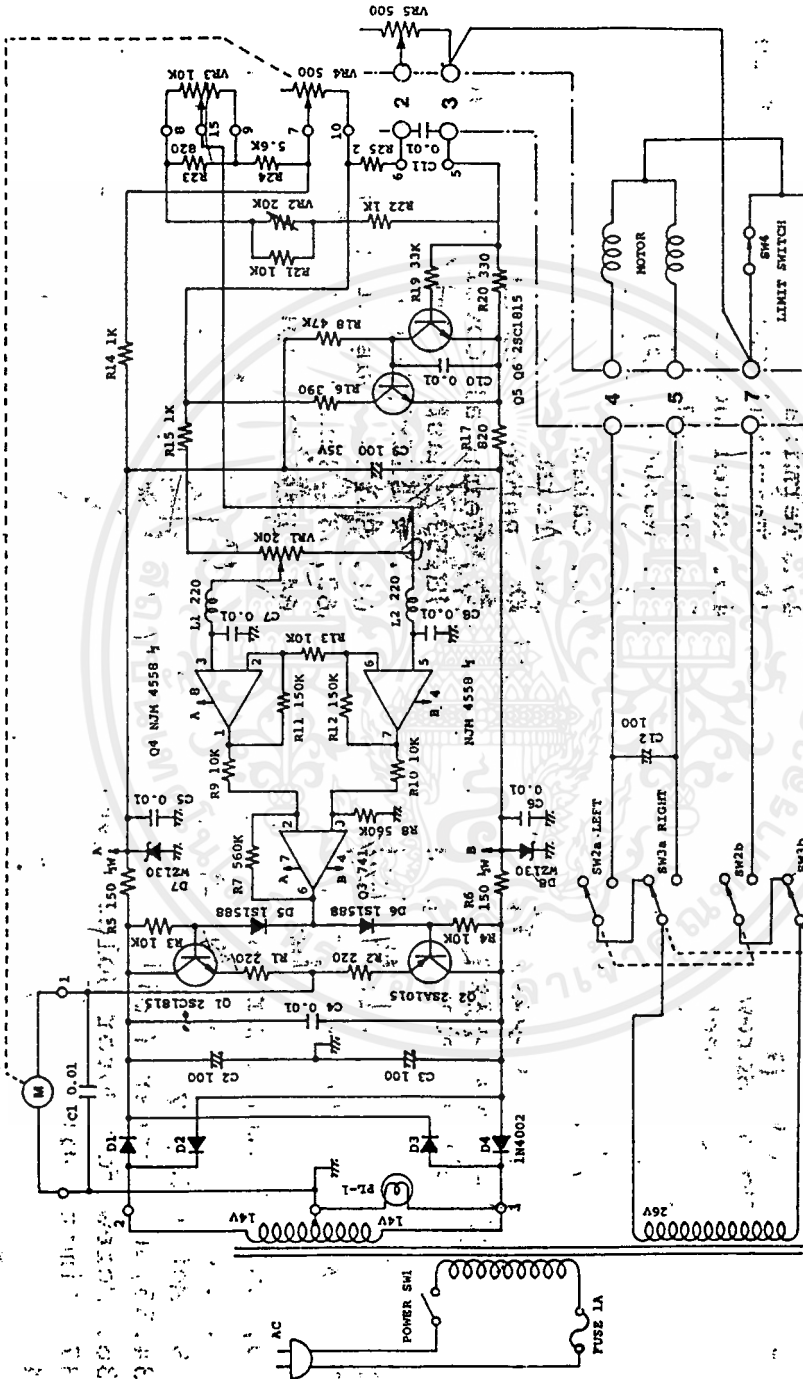
ROTOR เป็นตัวหมุนทิศเสาอากาศ ซึ่งนักวิทยุสมัครเล่นนิยมใช้กัน และที่จะกล่าวต่อไปนี้เป็น rotor รุ่น KR-600 ซึ่งถูกออกแบบมาเพื่อหมุนสายอากาศขนาดใหญ่ (ดูจากรูปที่)

CHARACTERISTIC

INPUT VOLTAGE	115/230 VOLT AC 50/60 Hz
POWER CONSUMPTION	40 VA
MOTOR	24 VOLT SPLITPHASE
ROTATION TIME	APPROX 53 sec/60 Hz 63 sec/50 Hz
END OF ROTATION STOP	ELECTRICAL AND MACHANICAL
ROTATION TORQUE	600 Kg-cm
STATIONARY BREAKING TORQUE	4,000 Kg-cm
VERTICAL LOAD	2,00 Kg
PERMISSIBLE MAST SIZE	38-63 m/m diameter
CABLE TOBE USED	6 conductor

ที่กล่าวมาข้างต้นเป็นลักษณะทั่วไป ต่อไปมาดูลักษณะถึงส่วนประกอบภายในของ KR-600 ดังรูปที่

KR-600RC SCHEMATIC DIAGRAM



EXCEPT AS INDICATED, ALL RESISTANCES ARE IN OHMS 10% TOLERANCE.
ALL CAPACITANCES ARE IN MICROFARADS.
INDUCTANCES ARE IN MICROHENRY.

เอกสารนี้เป็นเอกสารที่สงวนไว้สำหรับการใช้งานเพื่อการศึกษาเท่านั้น ไม่อนุญาตให้นำไปใช้ประโยชน์ด้านการค้า
ไม่ว่ากรณีใดๆ ทั้งสิ้น อีกทั้งห้ามมิให้ตัดแปลงเนื้อหาและต้องอ้างอิงถึงเจ้าของเอกสารทุกครั้งที่มีการนำไปใช้

หลักการการทำงานของวงจร DRIVER

จากวงจรเพื่อจุดประสงค์ในการแยกวงจรกำลัง (POWER) ออกจากวงจรควบคุมซึ่งเป็นส่วนที่ INTERFACE กับ microcontroller และเพื่อป้องกัน HIGH VOLTAGE จึงมีการนำ MOC3010 มาทำการ ISOLATE แยกวงจรออกจากกันและจากการที่ ROTER เป็น A.C. MOTER จึงนำ TRIAC มาใช้ร่วมกับ MOC3010 โดย MOC3010 จะเป็นตัว TRIAC กระแส GATE จะอยู่ในช่วง $15 \text{ mA} < I_{GT} < 50 \text{ mA}$ โดยให้ TRIAC เป็นเพียง SWITCH ตัวหนึ่งซึ่งทำงานตามคุณลักษณะของไฟ A.C. และเพื่อป้องกันไม่ให้ขดที่หมุนตามเข็มนาฬิกา (CW. WINDING) ทำงานพร้อมกับขดที่หมุนทวนเข็มนาฬิกา (CCW. WINDING) จึงใช้วงจร COMBINATION ป้องกันส่วนนี้ไว้

CW	CCW	FUNCTION
0	0	NO USE
0	1	หมุนทวนเข็มนาฬิกา
1	0	หมุนตามเข็มนาฬิกา
1	1	NO USE

ตารางแสดง LOGIC ทางด้าน I/P ของวงจร

และในส่วนของ J-K FLIP-FLOP ที่ดัดแปลงทำเป็น T FLIP-FLOP ก็เพื่อสะดวกในการควบคุมโดย MICROCONTROLLER และ R-C ที่ต่อร่วมกับ TRIAC เป็นลักษณะของวงจร R-C SNUBBER

การทำงาน

การทำงานของ TRIAC จะทำงานครั้งละ 2 ตัว สำหรับการหมุนไม่ว่าจะเป็นการหมุนทวนเข็มนาฬิกาหรือตามเข็มนาฬิกา ดังต่อไปนี้ P2-P4 เป็น CW ROTATION และ P1-P3 เป็น CCW ROTATION และจะทำงานตามเงื่อนไขของ Truth Table

(ROTOR)

1. GEAR MOUNT PLATE ASS'Y
2. GEAR MOUNT SUPPORT
3. WASHER (6)
4. GEAR MOUNT SCREW
5. INSULATOR SHEET
6. POTENTIOMETER
7. NUT (9)
8. SPRING WASEHER (9)
9. WASHER (9)
11. POT DRIVER GEAR
12. GEAR STOPPER SCREW
13. PLASTIC POT GEAR
14. E-RING (2.5)
- 15, 21. STUD SUPPORT SLEEVE
- 16, 17. GEAR SHAFT
18. GEAR
- 19, 20. PINION/GEAR ASS'Y
22. GEAR MOTOR MOUNT ASS'Y
29. MOTOR ASS'Y
- 34, 35, 56. WASHER (4)
- 36 SCREW FOR MOTOR HOLDER (4)
- 37 LIMIT SWITCH
- 41 CASE
- 42 SCREW FOR MOUNT PLATE HILDER
- 43 WASHER(5)
- 44 BALL BEARING
- 45 INTERNAL GEAR
- 46 RUBBER SHEET
- 47 TERMINAL
- 48 TERMINAL/CABLE HOLDER SCREW
- 49 ROTOR HOUSING
- 50 HOUSING
- 51 WASHER (6)
- 52 HOUSING SCREW

- 53 CABLE HOLDER
- 54 TERMINAL COVER
- 55 RUBBER GROVERMENT
- 56 SPRING WASHER(4)
- 57 TERMINAL COVER SCREW (4)
- 58,59 MAST CLAMP
- 60 WASHER (8)
- 61 SPRING WASHER (8)
- 62,63 SCREW (8)
- 64 HEX NUT M8

การนำ ROTOR ประยุกต์ใช้

จากที่กล่าวถึงลักษณะทางไฟฟ้าและทางกลของ KR-600 เขียนเป็นวงจรได้ดังรูปที่ 3 ซึ่งมี ส่วนประกอบดังต่อไปนี้

1. MOTER ซึ่งประกอบด้วยขดลวดสองชุด ชุดแรกเป็นขดที่ไว้หมุนแบบทวนเข็มและขดที่สองเป็นขดที่ไว้หมุนแบบตามเข็ม หรือเรียกว่า split phase เป็นมอเตอร์ประเภท single phase แบบ induction ตัว rotor ของตัวมอเตอร์เป็นแบบกรงกระรอก
2. LIMIT SWITCH เป็นแบบปกติปิด
3. PONTENTIOMETER

จากวงจรที่ 1 ตัวมอเตอร์ซึ่งเป็นแบบ Spit Phase มีขดลวดอยู่ 2 ชุดด้วยกัน ชุดแรกจะทำการหมุนแบบตามเข็มนาฬิกา และขดที่ 2 จะหมุนแบบทวนเข็มนาฬิกา เมื่อจ่ายไฟให้กับขดลวด โดยที่ตัว Rotor จะมี terminal ดังรูป

เมื่อชุดแรกทำงานตัว Rotor จะหมุนแบบทวนเข็มนาฬิกา จะเริ่มหมุนไปจนครบ 360 องศา ตามคุณลักษณะของของ Rotor โดยตัวที่ตัดการทำงานก็คือ Limit Switch ซึ่งจะเป็นแบบ ปกติปิดลักษณะการทำงานของ Limit Switch จะตัดได้โดย เมื่อ Rotor หมุนมาที่ 360 องศา ลักษณะทางกลจะทำให้ Limit Switch Open ดังนั้นการทำงานของ Rotor จะหยุดลง ในทำนองเดียวกันนี้การหมุนแบบทวน เข็มก็เช่นเดียวกัน และในขณะที่ Rotor หมุน Potentiometer หมุนไปตามการหมุนของ Rotor ด้วย ซึ่งสามารถตรวจจับได้จากขั้วที่ 2 เมื่อมี V_{ref} ป้อนให้ ดังนั้นการหมุนของ Rotor จึงสามารถแสดงผลได้ และสามารถที่จะควบคุมการทำงานของ Rotor ได้เช่นเดียวกัน

การติดตั้ง KR-600

ในการติดตั้ง KR-600 ถ้าเป็นเสาอากาศที่มีขนาดใหญ่ น้ำหนักมาก ควรจะมีการตรวจสอบความ

เร็วของลม ณ. จุดที่ต้องการจะติดตั้งก่อน เพราะเมื่อเกิดลมพัดแรงแล้ว ความแรงของลมอาจทำให้ช่วงตัว Mast clamp เกิดการเสียหายได้ และท่อที่ต่อเชื่อมระหว่างเสาอากาศ กับ mast clamp งอได้ ซึ่งจะมีการทำเหล็กปิดครอบตัว Rotor และระยะจากตัว mast clamp ถึงเสาอากาศจะให้ได้ไม่เกิน 3 ฟุต ดูรูปประกอบ ส่วนสายที่จะใช้ต่อระหว่าง Rotor กับ Controller จะใช้ได้ดีในระยะ 100 ฟุต ต้องเป็นสายเบอร์ #22 ถ้าสูงกว่าที่กล่าวมาก็ใช้สาย #20



บทที่ 4

SPEED & DIRECT OF WIND

ลมพายุ เป็นภัยธรรมชาติชนิดหนึ่งที่มนุษย์เราได้พบเจอมาทั้งในอดีต ปัจจุบัน และยังคงจะต้องเจอในอนาคตอีกแน่นอน และมันเป็นภัยธรรมชาติที่มนุษย์เราไม่สามารถที่จะหลีกเลี่ยงได้ ซึ่งอำนาจของมันอาจจะก่อให้เกิดความเสียหายแก่ทรัพย์สินโดยทั่วๆ ไป ส่วนจะก่อให้เกิดความเสียหายมากน้อยแค่ไหนนั้นขึ้นอยู่กับความแรงหรือความเร็วของลมพายุนั้นจากข้อมูลของกรมอุตุนิยมวิทยาของประเทศเรานั้นได้แบ่งลักษณะของลมไว้ตามความรุนแรงหรือความเร็วของมันได้ดังนี้

ตารางที่ 1

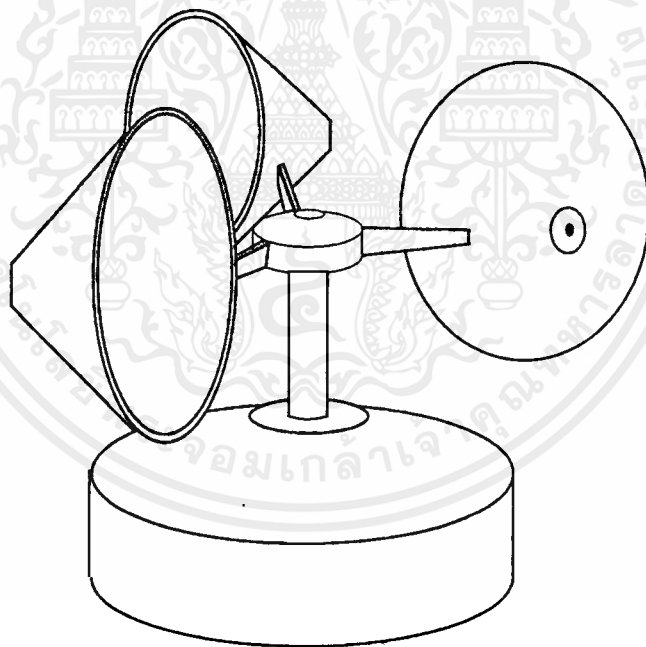
ขนาดของลม	สัญลักษณ์ที่แสดงบนบก	ความเร็วที่ระดับสูง
ลมสงบ	ลมเจียบ ควันลอยขึ้นตรง ๆ	< 1
ลมเบา	ควันลอยไปตามลมแต่ศรลมไม่หันไปตามทิศลม	15
ลมอ่อน	ลมปะทะหน้า ใบไม้ไหวดังกรอบแกรบ ศรลมหันไปตามทิศลม	6 - 11
ลมโชย	ใบไม้และกิ่งไม้เล็ก ๆ กระดิก ธงปลิวไสว	12 - 19
ลมปานกลาง	ฝุ่นพัดตลบ กระดาษปลิว กิ่งไม้เล็กขยับเขยื้อน	20 - 28
ลมแรง	ต้นไม้เล็ก ๆ โยก น้ำในลำคลองเป็นระลอก	29 - 38
ลมจัด	กิ่งไม้ใหญ่ขยับเขยื้อน ได้ยินเสียงหวีดตามสายโทรเลข ใช้ร่มลำบาก	39 - 49
พายุเกลอ่อน	ต้นไม้ใหญ่ทั้งต้นแกว่งไกว เดินทวนลมไม่สะดวก	50 - 61
พายุเกล	กิ่งไม้หัก การเดินลำบากขึ้น	62 - 74
พายุเกลแรง	อาคารที่ไม่มั่นคงหักพัง ป้ายและหลังคาปลิว	75 - 88
พายุ	ต้นไม้ถอนรากถอนโคน สิ่งก่อสร้างพังทลาย เกิดความเสียหายมาก (ไม่ค่อยปรากฏบ่อยนัก)	89 - 102
พายุใหญ่	เกิดความเสียหายทั่วไป (ไม่ค่อยปรากฏ)	103 - 117
ได้ฝุ่น หรือ เฮอริเคน		118 หรือมากกว่า

ในปัจจุบันเสาอากาศเป็นอุปกรณ์ชนิดหนึ่งที่ถูกนำมาใช้กันอย่างแพร่หลาย ร่วมกับอุปกรณ์ต่างๆ ในการติดต่อสื่อสาร ซึ่งลักษณะการใช้งานโดยทั่วไปของเสาอากาศ จะถูกติดตั้งไว้อยู่กับที่ และมีทิศทางในการติดตั้งที่แน่นอน จากลักษณะเช่นนี้จึงอาจจะก่อให้เกิดความเสียหายอันเนื่องมาจากลมพายุได้ เมื่อทิศทางของเสาอากาศอยู่ในตำแหน่งที่ต้านกับทิศทางของกระแสลม การแกว่งง่าย ๆ ที่อาจจะทำได้ โดยไม่ยุ่งยากจากที่อาจจะต้องเก็บเสาอากาศลงมาจากเสา) ทางหนึ่งก็คือ ทิศทางของเสาอากาศให้มีทิศทางเดียวกันกับกระแสลมแต่เราจะทราบได้อย่างไรว่าเมื่อไหร่กระแสลมจะมีอันตรายต่อเสาอากาศของเรา และทิศทางไหนที่เป็นทิศทางที่ปลอดภัยที่สุด

โครงสร้างของ Wind Speed

Wind Speed จะเป็นตัวตรวจจับหรือคอยวัดความเร็วของลมโดยอาศัยตัว Sensor ที่มีลักษณะการทำงานหมุนตามความเร็วลม หรืออาจจะพูดได้ว่าจะหมุนด้วยความเร็วที่ใกล้เคียงหรือเท่ากับความเร็วของกระแสลมโดยที่ตัว Sensor จะถูกติดตั้งไว้ที่ตำแหน่งที่สัมพันธ์กับตำแหน่งของเสาอากาศ ดังนั้นความเร็วลมตรงจุดที่ Sensor ตรวจวัดได้ก็คือ ความเร็วลมที่กำลังกระทำกับเสาอากาศนั่นเอง

ตัว Sensor จะมีลักษณะที่อาจจะเรียกได้ว่า เป็นตัวรับลม คือจะมีลักษณะรูปร่างดังรูปที่ 1



รูปที่ 1

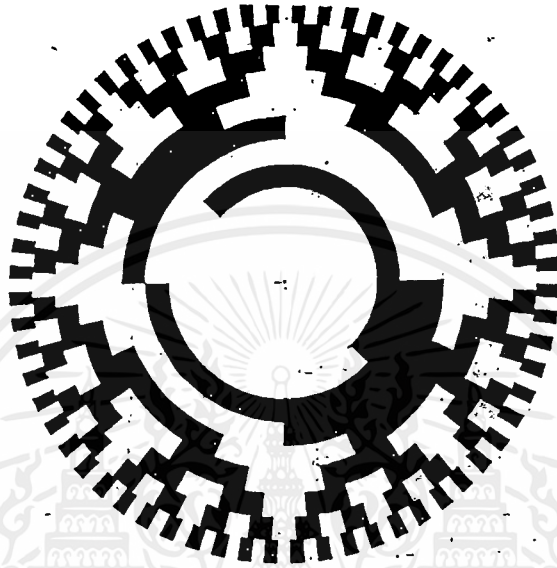
ชุดเคลื่อนที่ จะมีส่วนที่คอยรับลม (ส่วนที่มีลักษณะเหมือนกรวย) เมื่อมีลมมาปะทะ ส่วนนี้ก็จะทำการหมุน ส่วนจะหมุนเร็วหรือช้าก็ขึ้นอยู่กับความแรงของลมซึ่งจะสัมพันธ์กับความเร็วลมด้วยแล้วจะส่งการหมุนที่รับได้ลงมายังชุดอยู่กับที่ ชุดอยู่กับที่ก็จะแปลงการหมุนนี้ออกมาเป็นรหัส (ความถี่) ข้อมูลส่งออกมาเป็นพัลส์ เพื่อส่งต่อไปยังส่วนกลางการประมวลผลเพื่อทำการประมวลผลต่อไป

ภายในชุดที่อยู่กับที่ (FIXED PART) จะแบ่งเป็น 2 ส่วนคือ

เอกสารนี้เป็นเอกสารที่สงวนไว้สำหรับการใช้งานเพื่อการศึกษาเท่านั้น เมื่อนุญาตให้นำไปใช้ประโยชน์ด้านการค้าไม่ว่ากรณีใดๆ ทั้งสิ้น อีกทั้งห้ามมิให้ดัดแปลงเนื้อหาและต้องอ้างอิงถึงเจ้าของเอกสารทุกครั้งที่มีการนำไปใช้

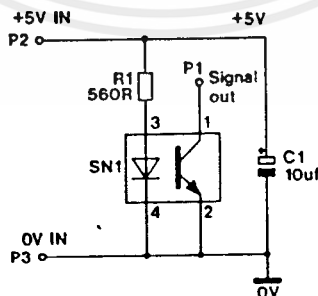
- CODE DISK
- CIRCUIT PART

CODE DISK จะต่ออยู่กับแกนที่ส่งมาจากชุดเคลื่อนที่เมื่อชุดเคลื่อนที่หมุน ตัว CODE DISK ก็ จะหมุนด้วยด้วยความเร็วที่เท่ากับชุดเคลื่อนที่ CODE DISK จะมีลักษณะดังรูปที่ 2



รูปที่ 2 CODE DISK

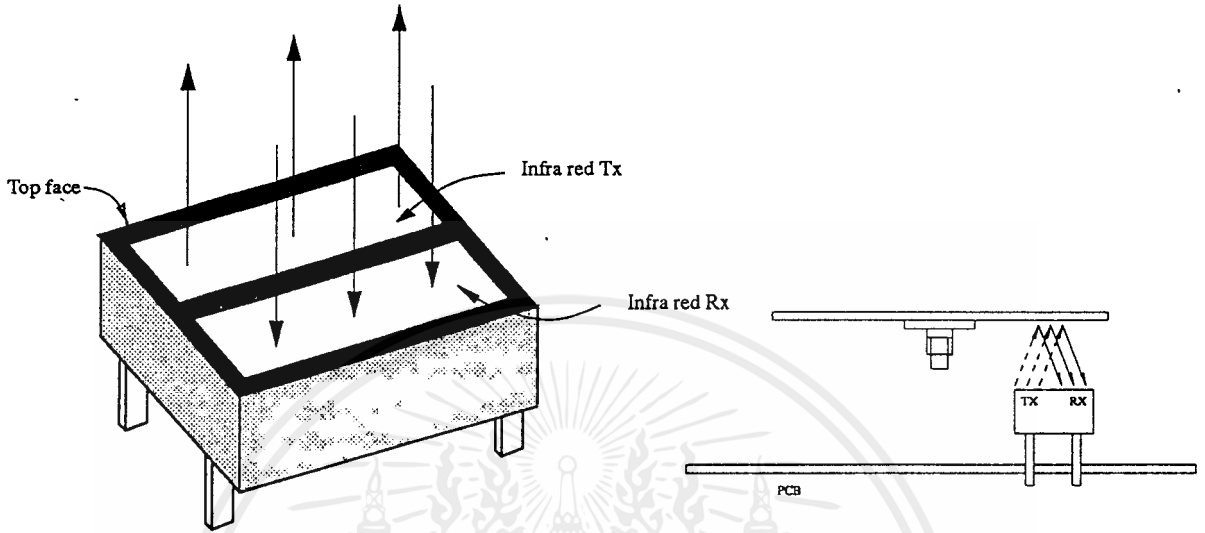
CIRCUIT PART เป็นส่วนที่จะแปลงให้ค่าการหมุนที่ส่งมาเปลี่ยนเป็น ข้อมูลในลักษณะที่เรา สามารถนำไปประมวลผลได้ ในที่นี้เราจะแปลงการหมุนให้ออกมาเป็น พัลส์ที่มีระยะห่างระหว่างระหว่าง พัลส์ต่าง ๆ กัน ซึ่งระยะห่างระหว่างพัลส์นี้จะขึ้นอยู่กับความเร็วของการหมุนของ CODE DISK วงจรของ CIRCUIT PART นี้ อาจแสดงได้ดังรูปที่ 3



รูปที่ 3 CIRCUIT PART ของ WIND SPEED

การทำงานของวงจรมีเมื่อเราจ่ายไฟเลี้ยงให้กับวงจร LED ใน Phototransistor จะปล่อยคลื่น แสงอินฟราเรดออกมาแสงอินฟราเรดเป็นคลื่นแม่เหล็กไฟฟ้าชนิดหนึ่งซึ่งจะมีคุณสมบัติในการสะท้อนของคลื่น ดังนั้นถ้าแสงอินฟราเรดนี้วิ่งไปชนกับวัสดุ (ที่ไม่ซับคลื่น) ใด ๆ ก็จะทำให้เกิดการสะท้อนขึ้น และถ้า เอกสารนี้เป็นเอกสารที่สงวนไว้สำหรับการใช้งานเพื่อการศึกษาเท่านั้น ไม่อนุญาตให้นำไปใช้ประโยชน์ด้านการค้า ไม่ว่ากรณีใดๆ ทั้งสิ้น อีกทั้งห้ามมิให้ดัดแปลงเนื้อหาและต้องอ้างอิงถึงเจ้าของเอกสารทุกครั้งที่มีการนำไปใช้

การสะท้อนนั้นอยู่ในตำแหน่งที่ถูกต้อง ลำแสงอินฟราเรดนี้ก็จะสะท้อนมาที่ตัวรับของ Phototransistor (ดังรูปที่ 4) ซึ่งตัวรับแสงอินฟราเรดนี้จะเป็นขา Base ของ Transistor ภายใน Phototransistor ทำให้ Transistor นำกระแส จึงมีกระแสไหลจากขา 1 ลงมาขา 2 (เปรียบเสมือนสภาวะวงจรปิด หรือสภาวะ 0 ทางลอจิก) ซึ่งปกติระหว่างขา 1 และขา 2 จะไม่มีแรงดันตกคร่อมอยู่เลย เนื่องจากทรานซิสเตอร์ยังไม่ นำกระแส (สภาวะ "1")



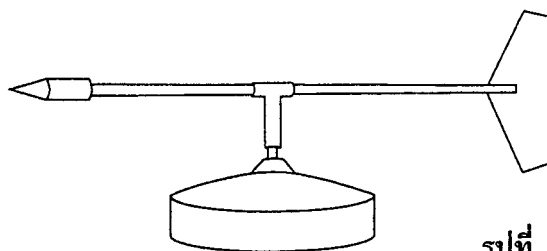
จากลักษณะการทำงานของ CIRCUIT PART เราจะนำส่วน CODE DISK เข้ามาร่วมทำงานด้วย ถ้าเราติดตั้งให้ตำแหน่งโครงสร้างของทั้งสองส่วนนี้สัมพันธ์กัน เมื่อ CODE DISK หมุน หรือเคลื่อนที่ ไปเรื่อยๆ ตามกระแสลม โดยปกติระดับสัญญาณที่ขา 1 จะเป็น "0"

แต่เมื่อตำแหน่งสีขาวของ CODE DISK (ดังในรูปที่ 1) หมุนมาตัดกับแนวแสงอินฟราเรด คือจะมีการสะท้อนของลำแสงอินฟราเรดกลับมาที่ขา Base ของ Transistor ทำให้ Transistor มีสภาวะเป็น ONๆ ซึ่งจะส่งผลให้ระดับสัญญาณที่ขา 1 เป็น "0"

ดังนั้นที่ขา 1 นี้เราสามารถต่อหรือนำออกมาเป็นข้อมูลให้กับส่วนประมวลผล เพื่อนำข้อมูลที่ได้ นี้ไปคำนวณหาความเร็วที่พัดออกมาได้

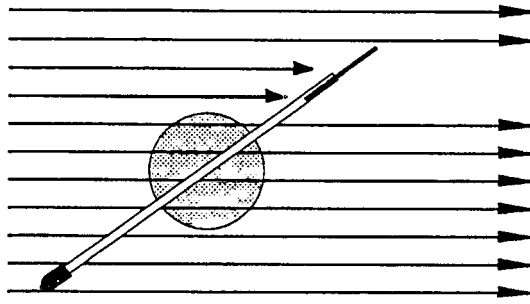
โครงสร้างของ WIND DIRECTION

WIND DIRECTION เป็นตัวที่จะบอกว่าจะขณะนี้กระแสลมมีทิศทางอยู่ที่ทิศทางใดโดยที่การติดตั้งเริ่มแรก เราจะต้องตั้งจุดอ้างอิงให้แก่ WIND DIRECTION ก่อน (เช่น ให้รหัส -00000000 ตรงกับทิศเหนือ ส่วนประกอบที่สำคัญส่วนหนึ่งของ WIND DIRECTION จะมีลักษณะคล้าย ๆ กับหางปลา เจ้าตัวนี้เองที่เราจะ อาศัยมันในการบอกทิศทางลม รูปร่างของส่วนนี้จะแสดงได้ดังรูปที่ 5

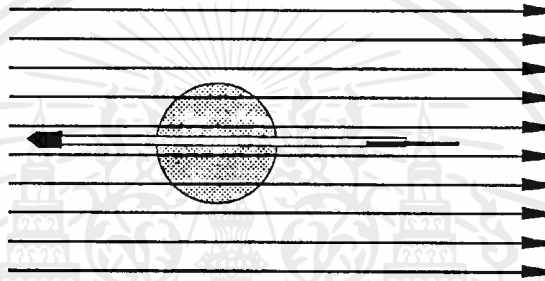


รูปที่ 5 WIND DIRECTER

เมื่อใดก็ตามที่ส่วนหางปลา (ซึ่งเป็นส่วนที่มีพื้นที่ที่จะปะทะกับกระแสลมมากที่สุดเมื่อเทียบกับส่วนอื่น ๆ) อยู่ในตำแหน่งที่ต้านกับกระแสลม ดังรูปที่ 6(ก)



(ก)



(ข)

รูปที่ 6

ตัวหางปลานี้จะถูกผลักกระแสลมให้เคลื่อนที่ จนกระทั่งมันเคลื่อนที่มาอยู่ในทิศทางตามลม หรือ อยู่ในตำแหน่งที่กระแสลมกระทำต่อชุดหางปลาน้น้อยที่สุด ณ ตำแหน่งนี้ทิศทางที่สูงครซีนี้ก็เปรียบเสมือนกับ ทิศทางของกระแสลมนั่นเอง (รูปที่ 6(ข))

การที่จะรู้ได้ว่าขณะนี้ลูกครซีทางไหน ก็จะใช้หลักการ Sensor โดยมีหลักการคล้าย ๆ กับ WIND STAR คือจะมีชุดที่เคลื่อนที่ (ลูกครซีและหางปลา) ซึ่งจะส่งต่อการหมุนลงมาปลายข้างล่างจะมี CODE DISK สำหรับ WIND DIRECT ติดอยู่ และใกล้ ๆ กับ CODE DISK ก็จะมี CIRCUIT PART ติดตั้งอยู่ ซึ่งตำแหน่งของ CODE DISK และ CIRCUIT PART จะต้องสัมพันธ์กัน

แต่สิ่งที่ WIND DIRECT ต่างจาก WIND SPEED คือ OUTPUT ของ WIND SPEED จะส่งออกมาในลักษณะ pulse เป็นจังหวะ ๆ คือเราจะได้ค่าที่ต้องการจากความห่างของ pulse แต่ WIND DIRECT ข้อมูลที่ส่งออกมาจะเป็นข้อมูลที่เข้ารหัส และมีความจะเป็นที่จะต้องมีส่วนข้อมูลหลายบิตเพื่อความละเอียดของทิศทางที่จะอ่านออกมาจากลักษณะรูปแบบของข้อมูลที่มีสภาวะอยู่ 2 สภาวะ คือ สภาวะที่ Transistor "ON" กับ Transistor "OFF" หรือค่าที่ได้รับออกมาจาก OUTPUT

ก็จะเป็น +Vcc กับ GND ตามลำดับ ดังนั้นเลขฐาน 2 จึงเหมาะที่จะนำมาใช้แทนค่าที่ได้ ค่าที่ได้เราสามารถที่จะนำมาสร้างเป็นรหัสรูปแบบต่าง ๆ ได้หลายรูปแบบ ในที่นี้มีรหัสที่น่าสนใจอยู่ 2 รูปแบบ คือ

- รหัสไบนารี (Binary Code)

- รหัสเกรย์ (Gray Code)

รหัสไบนารี เป็นรหัสที่ให้แทนอะไรก็ได้ที่แตกต่างกัน โดยที่ถ้ามีเลข Binary n ตัวก็จะแทนสิ่งของที่แตกต่างกันได้ 2^n สิ่ง ถ้าอะไรก็ได้นี้เป็นตัวเลขฐานสิบ ก็สามารถแทนตัวเลขได้ตั้งแต่ 0 ถึง $2^n - 1$ โดยที่รหัสไบนารีนี้เกิดจากการแปลงฐานเลขจากฐานสิบเป็นฐาน 2 “โดยตรง”

รหัสเกรย์ ก็เป็นรหัสแบบไบนารีชนิดหนึ่ง ซึ่งรหัสแบบเกย์นี้จะสามารถเขียนเป็นความสัมพันธ์กับรหัสแบบไบนารีได้ดังนี้ (ให้ $N = 4$)

$$g_0 = b_0 \text{ xor } b_1$$

$$g_1 = b_1 \text{ xor } b_2$$

$$g_2 = b_2 \text{ xor } b_3$$

$$g_3 = b_3$$

เครื่องหมาย เรียกว่าเครื่องหมาย Exclusive OR หรือ Modulo - 2 Sum (คล้าย ๆ กับการบวกเลขไบนารี แต่ไม่คิดตัวทด)

$$0 \text{ xor } 0 = 0$$

$$0 \text{ xor } 1 = 1$$

$$1 \text{ xor } 0 = 1$$

$$1 \text{ xor } 1 = 0$$

ข้อดีและข้อแตกต่างในการนำรหัสแบบ Binary และแบบ Gray มาใช้

- Binary Code จะมีน้ำหนักประจำตำแหน่งแน่นอน และเป็นรูปแบบข้อมูล ซึ่งไมโครคอนโทรลเลอร์ใช้ได้ทันที

- Gray Code รหัสแบบนี้เป็นแบบที่ไม่มีน้ำหนักประจำตำแหน่ง แต่มีลักษณะพิเศษ คือ รหัสของเลข 2 ตัวที่ติดกัน จะมีบิตที่ต่างกันเพียงบิตเดียวเท่านั้น ฉะนั้นถ้านำรหัสแบบ Gray Code มาใช้จะสามารถป้องกันการ error ของข้อมูลได้ดีกว่าแบบ Binary Code แต่ถ้าใช้ Gray Code เวลาส่งข้อมูลมาที่ Micro controller จะต้องแปลงข้อมูลให้กลายเป็น Binary Code เสียก่อนจึงจะนำมาประมวลผลได้

ฉะนั้นทั้งสองแบบจึงมีทั้งข้อดีและข้อเสียที่ต่างกันการนำมาใช้จึงขึ้นอยู่กับความต้องการของผู้ใช้ เมื่อนำรูปแบบรหัสที่เราเลือกแล้วมาทำ Code disk ในที่นี้ได้ออกแบบ Code Disk ทั้งแบบ Binary Code และแบบ Gray Code (ซึ่ง Code Disk ทั้ง 2 รูปแบบนี้สามารถนำมาใช้กับ Circuit Part ได้ทั้งสองรูปแบบ) ไว้ดังรูปที่ 7 และ 8

จากรูปที่ 7 และรูปที่ 8 จะเห็นว่า CODE DISK จะมีลักษณะเป็นวง ซึ่งแต่ละวงจะแทนแต่ละบิต จากจุดนี้เราจะเห็นว่า ถ้าการตั้ง CODE DISK และ CIRCUIT PART ไม่สัมพันธ์กัน ข้อมูลที่ออกมาจะไม่ใช่อะไรที่แท้จริง ค่าที่ได้จะเป็นค่าที่ไม่แน่ชัด

ตารางที่ 2 Gray Code และ Binary Code ของเลข 0 ถึง 15

N	g3 g2 g1 g0 Gray Code	b3 b2 b1 b0 Binary Code
0	0000	0000
1	0001	0001
2	0011	0010
3	0010	0011
4	0110	0100
5	0111	0101
6	0101	0110
7	0100	0111
8	1100	1000
9	1101	1001
10	1111	1010
11	1110	1011
12	1010	1100
13	1011	1101
14	1001	1110
15	1000	1111

Circuit Partจะมีลักษณะการทำงานที่คล้ายๆ กับ Wind Speed ก็จะใช้ Phototransistor มาเป็นตัว Sensor เพื่อใช้ร่วมกับ Code Disk แต่จะแตกต่างกันที่รูป“แบบของข้อมูลดังตามที่ได้กล่าวมาแล้ว วงจรสามารถแสดงได้ดังรูปที่ 9

การออกแบบตำแหน่งของ Phototransistor ได้จัดวางไว้ตามรูปแบบดังรูป เพื่อป้องกันการรบกวนกันของคลื่นอินฟราเรดในแต่ละบิต และการที่เราใช้ Binary Code ที่มีถึง 8-Bit ก็จะทำให้เราสามารถแบ่งเป็นทิศทางได้ถึง 256 ทิศทางซึ่งจะมีความละเอียดที่สูงพอสมควร และเป็นความละเอียดที่เพียงพอที่จะใช้ในโครงการนี้

ลักษณะการทำงานของ Wind Direct เมื่อนำมาใช้ร่วมกับ MicroController

เมื่อ CPU ต้องการที่จะทราบตำแหน่งของทิศทางลมก็จะส่งสัญญาณมาบอกกับ Wind Direction ว่าต้องการข้อมูลจาก Wind Direction สัญญาณที่ส่งมาบอกความจริงก็คือ ส่งสัญญาณมาเพื่อที่จะแลหาข้อมูลในขณะนั้นให้ปรากฏออกมาที่ Output ของ Wind Direction (Output 74HC175) เสร็จแล้ว CPU ก็จะได้รับเอาค่าที่แลทไว้นี้เข้ามาแทนที่ CPU เพื่อนำข้อมูลที่ได้นี้มาประมวลผล ซึ่งกระบวนการต่อจากนั้นก็จะเป็นเรื่องของทางด้าน Software ที่จะจัดการอย่างไรต่อไป

บทที่ 5

GRAPHIC LCD และ KEYBOARD

GRAPHIC LCD.

อุปกรณ์ในปัจจุบันนี้ในส่วนแสดงผล มักใช้ LCD (Liquid Crystal Display) เสียเป็นส่วนมาก สามารถแบ่ง LCD โมดูล ชนิดดอทเมตริกซ์ ออกได้เป็นพวกๆ คือ

ชุด LCD โมดูลแสดงผล แบบอักขระ (character LCD module)

ชุด LCD โมดูลแสดงผล แบบกราฟิก (graphic LCD module)

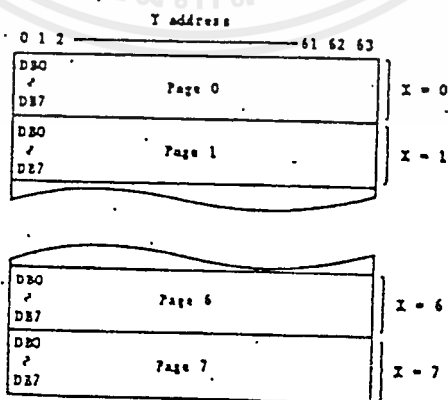
ชุด LCD โมดูลแสดงผล แบบเซกเมนต์ (segment LCD module)

DV-12864 เป็น LCD graphic ขนาด 128x64 dot ซึ่งมี controller ภายใน (HD61202,HD61203) โดยการทำงานของ controller จะมีการแบ่งการควบคุมไว้ดังนี้

Line คือการอ้างถึงบรรทัดข้อมูล ภายในจะแบ่งเป็น 64 แถว (แถว1-แถว64)

Page (A-Address) เป็นการอ้างถึงหน้าต่างแสดงผล ภายในหนึ่ง Page จะ ประกอบไปด้วย 8 Line ซึ่งจะเป็นการอ้างถึงข้อมูลด้วย Data-Bus โดยตารางการทำงานภายในของ LCD จะประกอบด้วย 8 Page ซึ่งถูกชี้โดย X-Register โดยเมื่อต้องการให้ LCD แสดงผลที่หน้าต่างใดของจอ จะต้องตั้งค่า X ให้กับ LCD ซึ่งเมื่อตั้งค่า X ให้กับ LCD แล้วค่า X นั้นจะไม่มีมีการเปลี่ยนแปลง จนกว่าจะมีการตั้งค่าใหม่ให้กับ LCD

Segment (Y-Address) เป็นค่าพอยท์เตอร์ ในการชี้ที่อยู่ของข้อมูลซึ่งภายใน LCD จะ ถูกควบคุมการชี้ข้อมูลโดย HD161202 ซึ่ง HD161202 สามารถชี้ที่อยู่ของข้อมูลได้64 Segment ซึ่ง HD161202 ทั้งสองตัวจะสามารถอ้าง Segment ได้ถึง128 Segment



รูปที่ 1 แสดงการแบ่งการควบคุม

โดยการใช้งาน เมื่อทำการตั้งค่า Y แล้ว ค่าจะถูกเพิ่มขึ้นเสมอ เมื่อมีการอ่านหรือเขียนข้อมูลบน LCD เมื่อค่า ถูกเพิ่มขึ้นมากกว่า 63 แล้ว ค่า Y จะยังไม่เป็นการอ้างข้อมูลในเซกเมนต์ที่ 64 (เซกเมนต์ 0 ของ CS2) ดังนั้นตัวโปรแกรมจะต้องช่วยจัดการในส่วนนี้

คำสั่งควบคุมของ LCD

1. DISPLAY ON/OFF

R/W D/1 DB7 ----- DB0

Code 0 0 0 0 1 1 1 1 1 D

high order bit - - low order bit -

เป็นคำสั่งควบคุมการแสดงผล โดยการแสดงผลจะขึ้นอยู่กับค่า D (DB0) เมื่อค่า D เป็น 1 LCD จะทำการแสดงผล และเมื่อค่า D เป็น 0 LCD จะไม่ทำการแสดงผลข้อมูลภายใน LCD จะไม่มีการเปลี่ยนแปลงเนื่องจากคำสั่งนี้

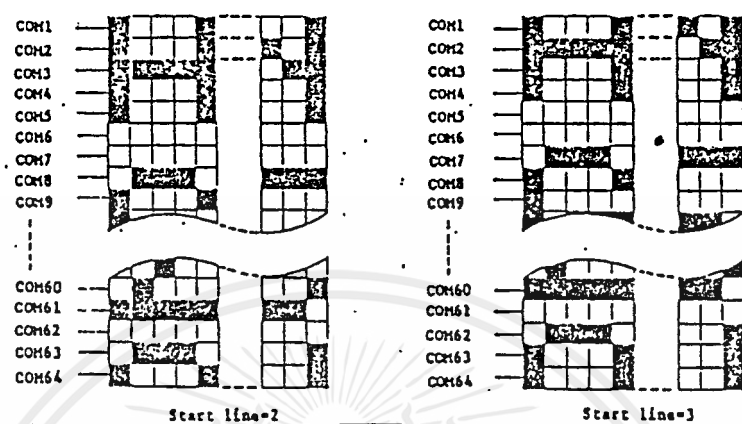
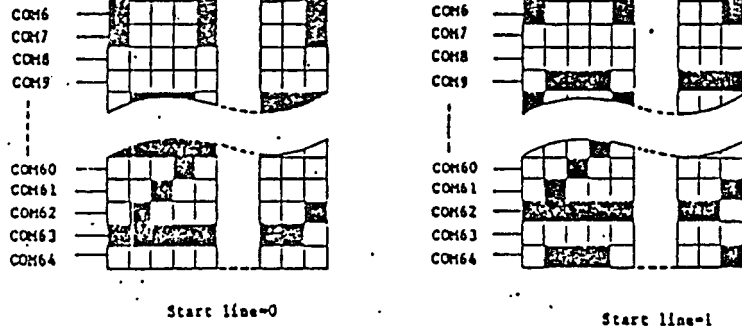
2. DISPLAY START LINE

R/W D/1 DB7 ----- DB0

Code 0 0 1 1 A A A A A A

high order bit - - low order bit -

ค่า A จะเป็นค่าหมายเลขบรรทัด ที่จะให้ LCD แสดงผลเป็นบรรทัดแรกของจอภาพในรูป เป็นตัวอย่างการเลือกค่า LINE จาก 0-3 ซึ่งจะทำให้การแสดงผลแตกต่างกันออกไป



รูปที่ 2 แสดงตัวอย่างการตั้งค่า DISPLAY START LINE

3. SET PAGE (X-ADDRESS)

R/W D/1 DB7 ----- DB0

Code 0 0 1 0 1 1 1 A A A

high order bit - - - - - low order bit -

ค่า AAA ของคำสั่ง จะเป็นการตั้งค่า X-ADDRESS ซึ่งหลังจากทำคำสั่งนี้แล้ว ข้อมูลจาก DB0-DB7 จะเป็นการติดต่อกับ RAM ที่ PAGE นี้ตลอด จนกว่าจะมีการตั้งค่าใหม่ให้กับ LCD

4. SET Y-ADDRESS

R/W D/1 DB7 ----- DB0

Code 0 0 0 1 A A A A A A

high order bit -

- low order bit -

ค่า A จะเป็นการตั้งค่าของ Y-ADDRESS (ค่า Y จะมีค่าอยู่ระหว่าง 0-63) และค่า Y จะเพิ่มขึ้นครั้งละ 1 เมื่อมีการอ่านหรือเขียนข้อมูล จาก CPU

5. STATUS READ

R/W D/1 DB7 ----- DB0

ON/ RE

Code 1 0 BUSY 0 OFF SET 0 0 0 0

high order bit -

- low order bit -

เป็นการอ่านค่าสถานะของ LCD โดยถ้าค่า BUSY เป็น 1 LCD จะทำงานในส่วนภายในซึ่งจะทำให้ไม่สามารถควบคุม LCD ในขณะนี้ได้เพื่อความแน่ใจในการควบคุมครั้งต่อไปจะต้องตรวจค่า BUSY ให้ได้ค่าเป็น 0 เสียก่อน

6. WRITE DISPLAY DATA

R/W D/1 DB7 ----- DB0

Code 0 1 D D D D D D D D

high order bit -

- low order bit -

เป็นการเขียนข้อมูลเข้าไปใน LCD ซึ่งข้อมูล DDDDDDD จะถูกจัดเก็บอยู่ใน LCD RAM และค่า Y จะถูกเพิ่มขึ้น 1

7. READ DISPLAY DATA

R/W D/1 DB7 ----- DB0

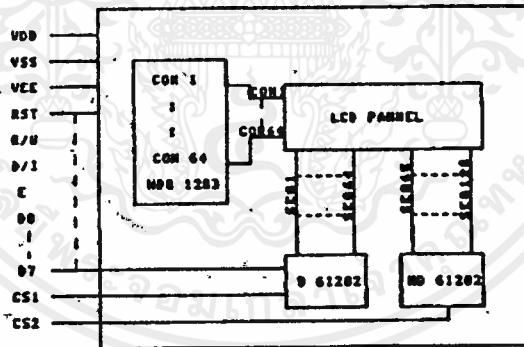
Code 1 1 D D D D D D D

high order bit - - low order bit -

เป็นการอ่านค่าข้อมูลที่แสดงผล โดย LCD จะให้ค่าของข้อมูลออกมาที่ DATA BUS ค่า Y จะถูกเพิ่มขึ้น 1 เช่นเดียวกับการเขียนข้อมูล

การใช้งาน LCD DV - 12864

โครงสร้างภายในของ LCD จะประกอบด้วย ส่วนของ Controller โดย HD61203 จะควบคุมกาอ้างถึง Page 0 ของข้อมูล และ HD61202 จะควบคุมในการอ้าง Segment ซึ่งในการใช้งาน จำเป็นจะต้อง Control ส่วนเหล่านี้ โดยการส่งรหัสควบคุมไปที่ขาของ LCD



รูปที่ 3 แสดงโครงสร้างภายในและขาควบคุม

ขา RST เป็นขาที่ใช้ RESET การทำงานของ LCD

ขา E เป็นขา ENABLE การรับส่งข้อมูล จะทำงานที่ LOGIC HIGH ขอบขาลง

ขา R/W ใช้กำหนด การอ่านหรือเขียนข้อมูล

ขา D/I ใช้ระบุว่า ข้อมูลใน DATA BUS เป็นรหัสควบคุมหรือเป็นข้อมูล

ขา CS1 CHIP SELECT ของ HD61202 ตัวแรก

ขา CS2 CHIP SELECT ของ HD61202 ตัวที่สอง

ขา Do-D7 เป็นขาที่รับส่งข้อมูลและรหัสควบคุม

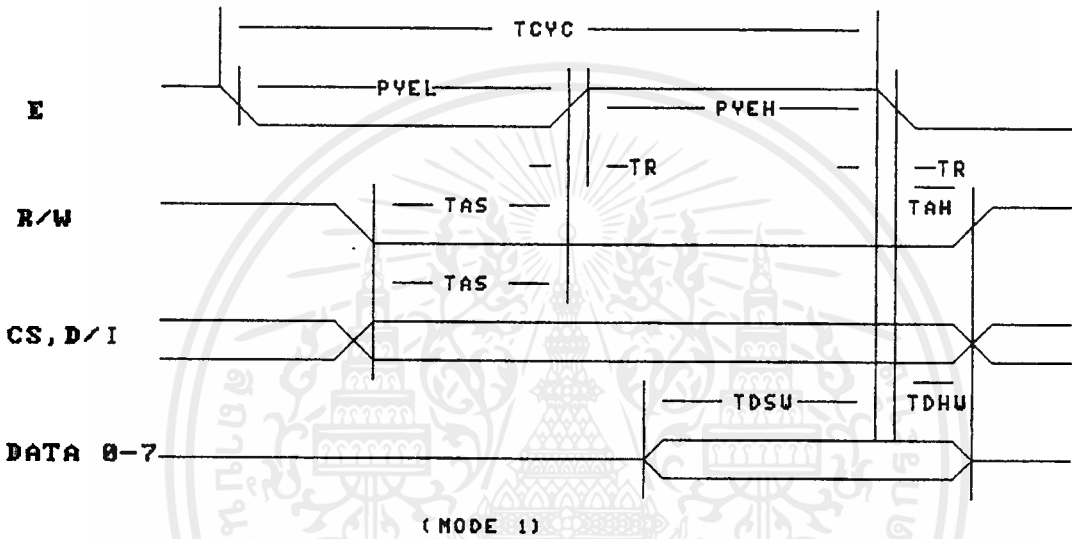
เมื่อขา CS1 เป็น HIGH และ CS2 เป็น LOW จะเป็นการอ้างอิงถึง Segment ที่ 0-63 และเมื่อขา CS1 เป็น LOW และขา CS2 เป็น HIGH แล้ว จะเป็นการอ้างอิงที่ 64-127 สภาวะการทำงานดูได้จากรูปที่ 3

ITEM	SYMBOL	LIMIT		NOTE
		min	max	
E cycle time	TCYC	1000	-	1,2
E high level width	PYEH	450	-	1,2
E low level width	PYEL	450	-	1,2
E rise time	TR	-	25	1,2
E fall time	TF	-	25	1,2
Adress setup	TAS	140	-	1,2
Adress hold time	TAH	10	-	1,2
data setup time	TDSW	200	-	1
data delay time	TTDR	-	320	2
data hold time (write)	TDHV	10	-	1
data hole time (read)	TDHR	20	-	2

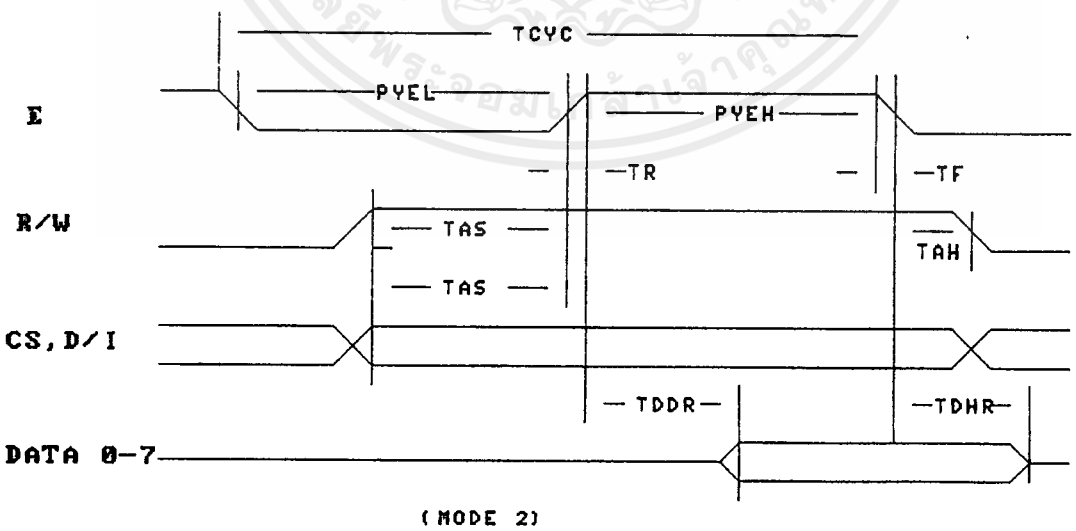
รูปที่ 4 แสดงค่าเวลาในการทำงาน

timing diagram 3-90

1 write operation

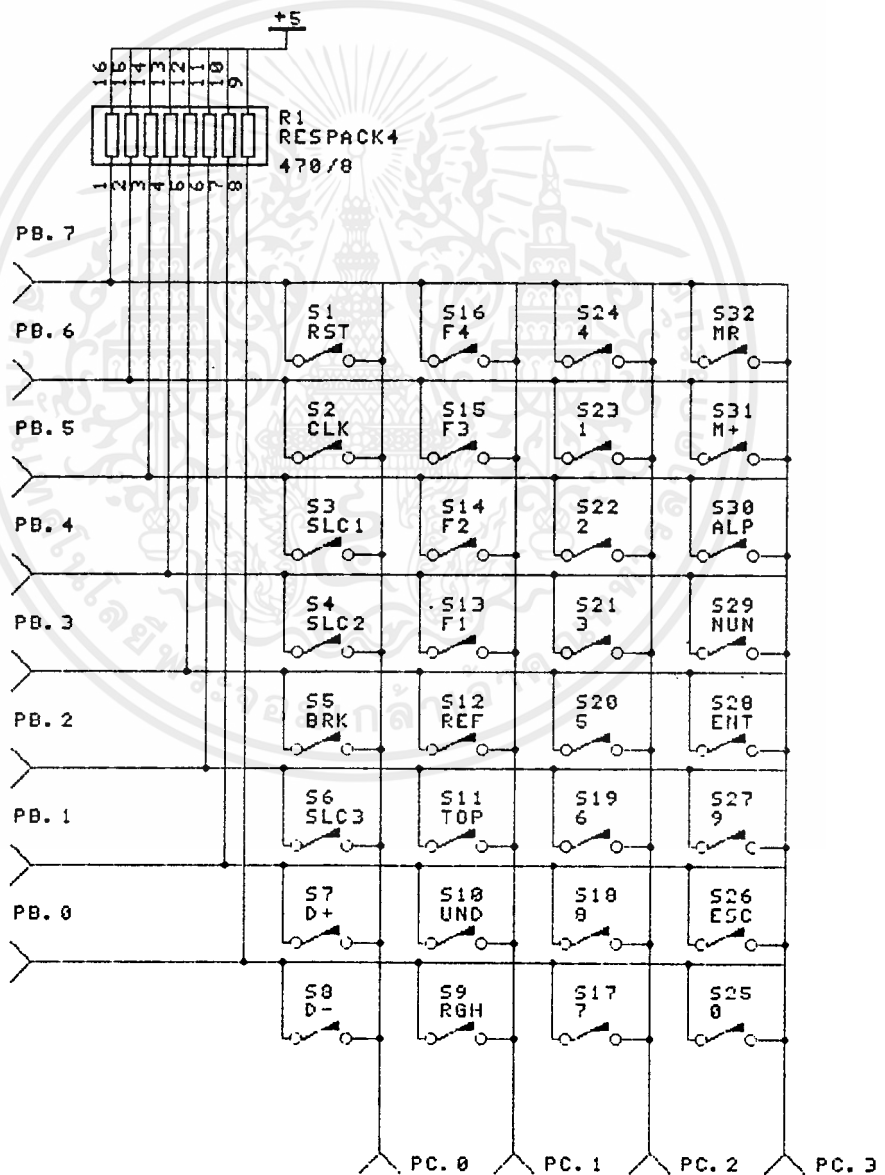


2 READ OPERATION



KEYBOARD

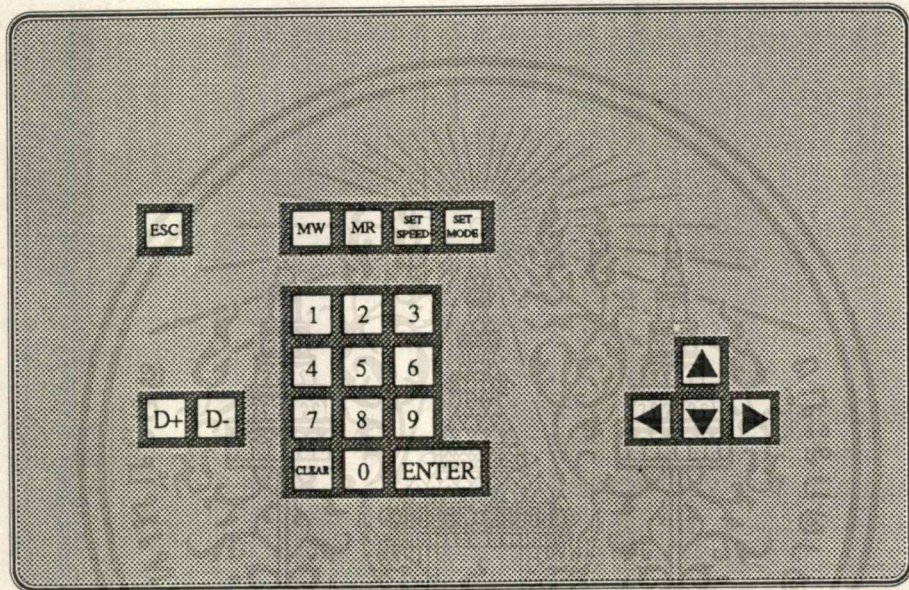
จะทำหน้าที่รับคำสั่งการทำงานจากผู้ใช้ ในกรณีที่ผู้ใช้ต้องการติดต่อกับ CPU โดยที่ CPU จะคอยเช็ค KEYBOARD อยู่ตลอดเวลา ว่าในเวลาใดบ้างที่ผู้ใช้ KEY เข้ามา การเช็คนี้จะทำได้โดยการวน LOOP ซึ่งภายในส่วนของ KEYBOARD นี้จะต้องมี REGISTER PULL UP ต่ออยู่ด้วย ซึ่ง RESISTER ตัวนี้จะทำหน้าที่รักษาเสถียรภาพของแรงดันให้คงที่อยู่ตลอดเวลา หรือให้ขาของ SW ที่ต่ออยู่มี LOGIC เป็น "1"



รูปลักษณะของ KEY BORD ในโครงการ

เอกสารนี้เป็นเอกสารที่สงวนไว้สำหรับการใช้งานเพื่อการศึกษาเท่านั้น ไม่อนุญาตให้นำไปใช้ประโยชน์ด้านการค้า ไม่ว่าจะกรณีใดๆ ทั้งสิ้น อีกทั้งห้ามมิให้ดัดแปลงเนื้อหาและข้อมูลอ้างอิงถึงเจ้าของเอกสารทุกครั้งที่มีการนำไปใช้

จากรูปลักษณะของ KEYBOARD ที่ใช้ในโครงการนี้นั้น KEY BORD นี้จะใช้สำหรับป้อนค่าต่าง ๆ เช่น ทิศทาง ตำแหน่ง ชื่อสถานีและเป็นการเซตสถานะให้กับ CPU เป็นต้น ส่วน ARROWKEY จะทำหน้าที่ในการเลือกใช้เมนูต่าง ๆ ที่กำหนดโดยเมนูที่ต้องการจะปรากฏบนจอ LCD



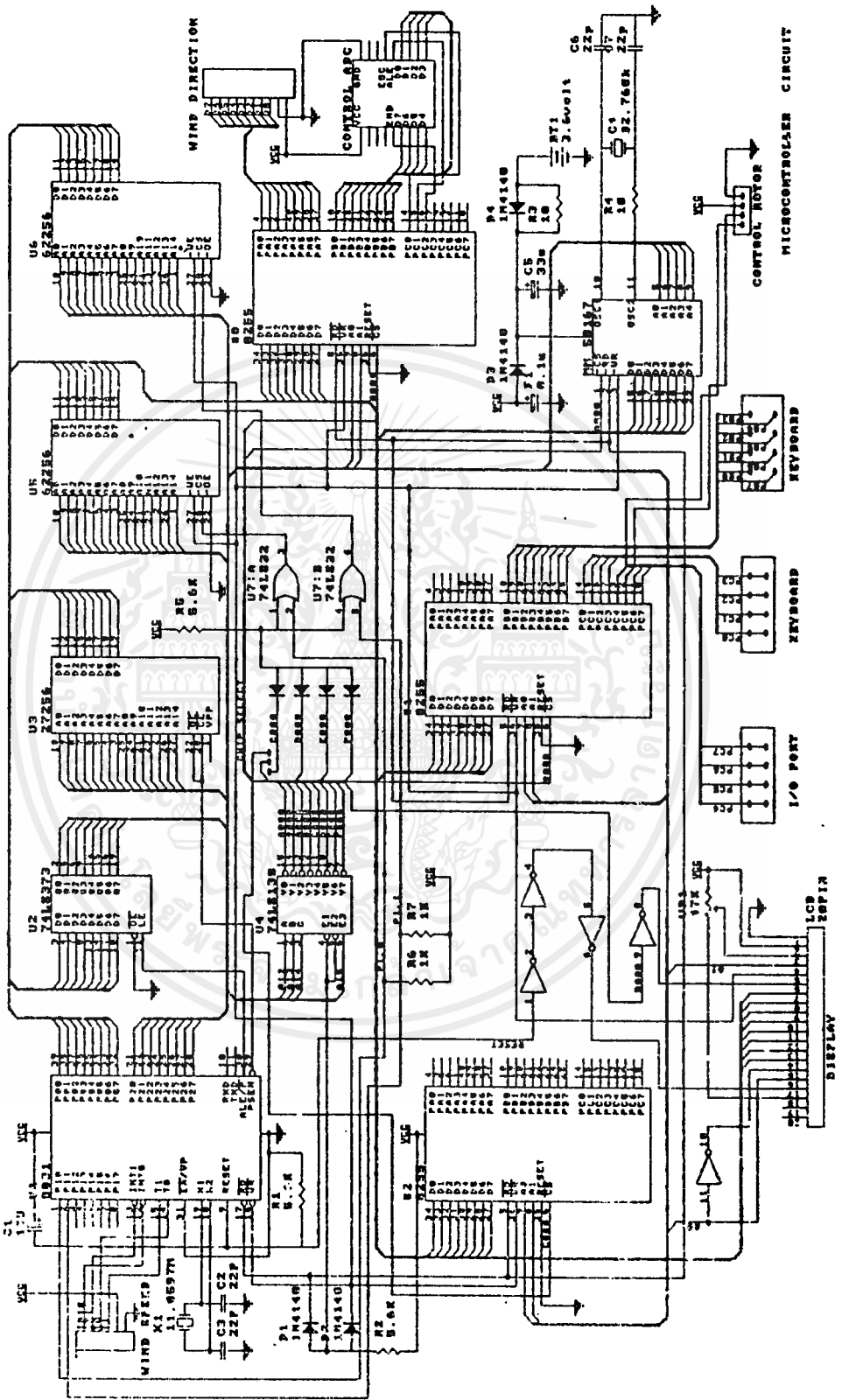
บรรณานุกรม

1. Avocet System, Inc. "AvCase, Avedit, and AVMAKE"
By J.W. Bray, Patrick J. Adam, Peter Hart.
2. Borland International, Inc. "Turbo Debugger"
3. Peter Norton computing, Inc. "The Norton Guides"
By Peter Norton.
4. Nelson Johnson, "Advance Graphics in C Programming and Techniques",
McGraw-Hill, U.S.A 1989.
5. Brian W. Kernighan and Dennis M. Ritchie, "The C Programming
Language",
Prentice-Hall, New Jersey 1987.
6. Connelly J.A., "Analog Integrated Circuits",
Wiley, New York 1975.
7. Herbert Schildt, "Turbo C second Edition",
McGraw-Hill, U.S.A 1989.
8. Shengold D.H., "Analog - Digital Conversion Handbook",
Anal Devices, Norwood, Mass 1972.
9. Intel the Microcomputer Company, "8051 Microcontroller",
Intel the Microcomputer Company.
10. บุญเลิศ เอี่ยมทัศนาศา, ยืน ภู่วรรณ และ สมนึก ศิริโต "โปรแกรมคอมพิวเตอร์ภาษา",
บ.ซีเอ็ดยูเคชั่น จำกัด กรุงเทพฯ 2521.
11. บ.ซีเอ็ดยูเคชั่น จำกัด "เซมิคอนดักเตอร์อิเล็กทรอนิกส์" ฉบับที่ 95-97, 103 และ 104,
บ.ซีเอ็ดยูเคชั่น จำกัด กรุงเทพฯ 2532-2533.

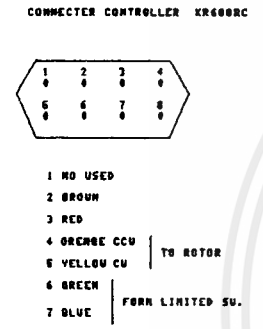
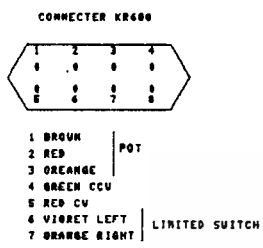
กิติกรรมประกาศ

โครงการชิ้นนี้สามารถสำเร็จลุล่วงไปด้วยดี ก็เนื่องจากได้รับความช่วยเหลือในด้านต่าง ๆ ทุกๆ ด้าน จากหลายๆฝ่ายด้วยกัน ทางด้านให้คำปรึกษานั้นขอขอบพระคุณท่านอาจารย์ ภาคกร หุตะสังกาส และอาจารย์ทุกท่านของภาควิชาเทคโนโลยีการวัดคุมทางอุตสาหกรรม และต้องขอบคุณอาจารย์ วรวิทย์ สมหา ภาควิชาครุศาสตร์วิศวกรรม เป็นอย่างยิ่งสำหรับคำปรึกษาทางด้าน SOFTWARE และคอยให้กำลังใจมาโดยตลอด ส่วนทางด้านสถานที่ปฏิบัติงาน ขอขอบคุณภาควิชาเทคโนโลยีการวัดคุมทางอุตสาหกรรมและฟิสิกส์ที่ได้เอื้อเฟื้อสถานที่และเครื่องมือเครื่องใช้ต่างๆในการปฏิบัติงาน ขอขอบคุณสถาบันส่งเสริมการศึกษาและวิจัยเกี่ยวกับอิสลาม สำหรับความเอื้อเฟื้อเพื่อเรียงพิมพ์คู่มือปริญญาานิพนธ์ฉบับนี้ นอกจากนี้ขอขอบคุณทุกๆท่านที่มีส่วนเกี่ยวข้องและเพื่อนๆทุกคนที่คอยช่วยเหลือและให้กำลังใจตลอดมาจนโครงการชิ้นนี้สำเร็จลุล่วงไปด้วยดี

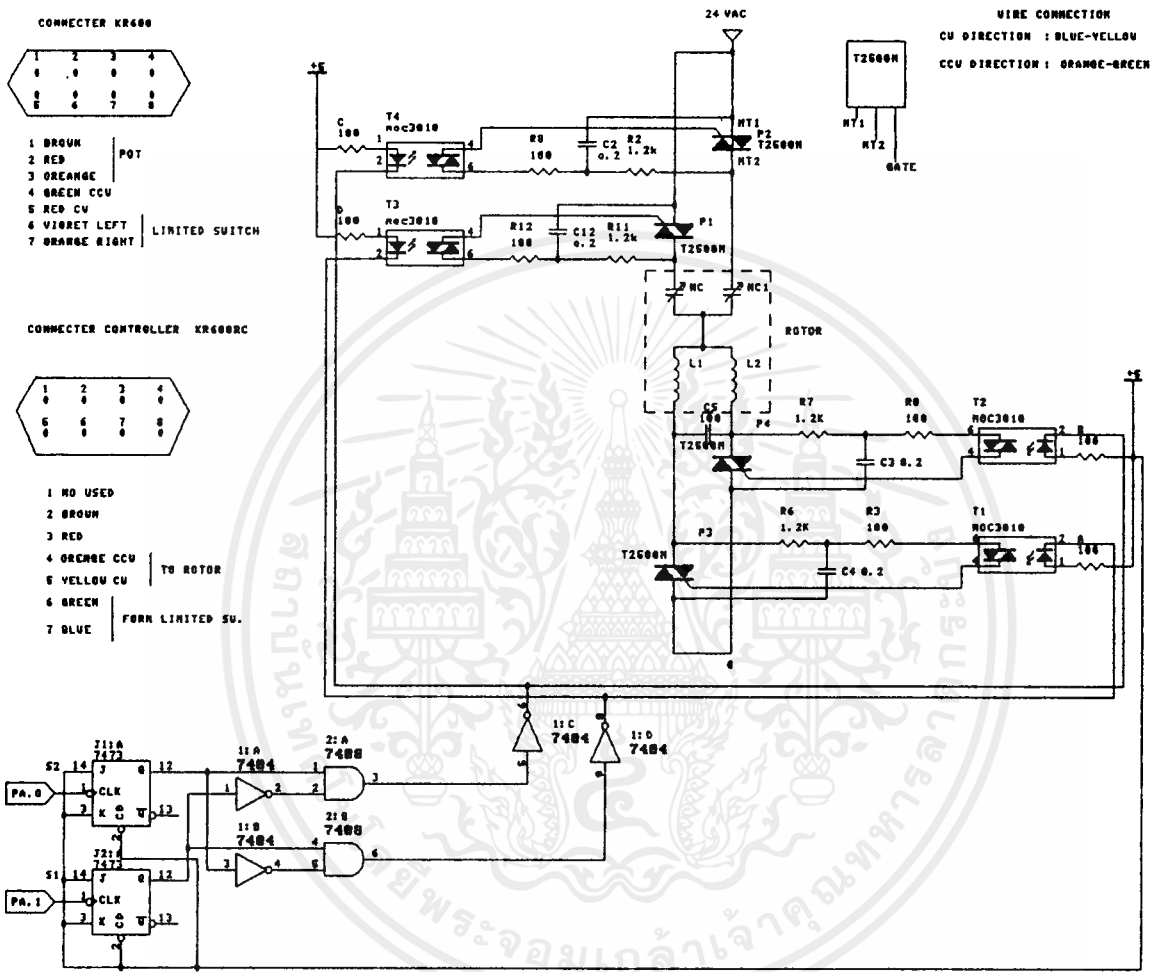
สุดท้ายนี้ขอขอบคุณทุกอย่างเป็นสถาบันเทคโนโลยีพระจอมเกล้า เจ้าคุณทหารลาดกระบัง



เอกสารนี้เป็นเอกสารที่สงวนไว้สำหรับการใช้งานเพื่อการศึกษาเท่านั้น ไม่อนุญาตให้นำไปใช้ประโยชน์ด้านการค้า
 ไม่ว่ากรณีใดๆ ทั้งสิ้น อีกทั้งห้ามมิให้ดัดแปลงเนื้อหาและต้องอ้างอิงถึงเจ้าของเอกสารทุกครั้งที่มีการนำไปใช้



WIRE CONNECTION
 CU DIRECTION : BLUE-YELLOW
 CCU DIRECTION : ORANGE-GREEN

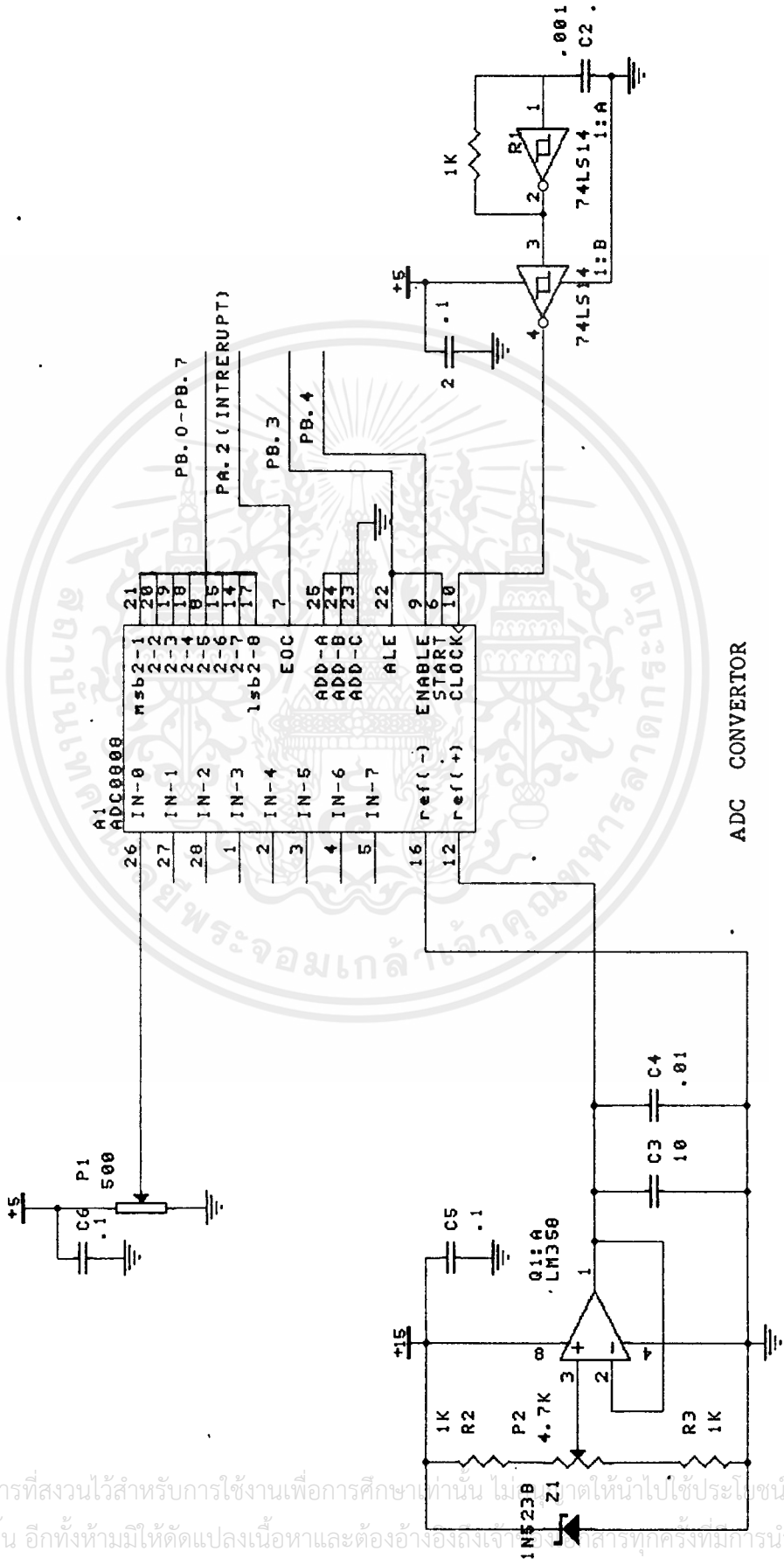


DRIVER ROTOR

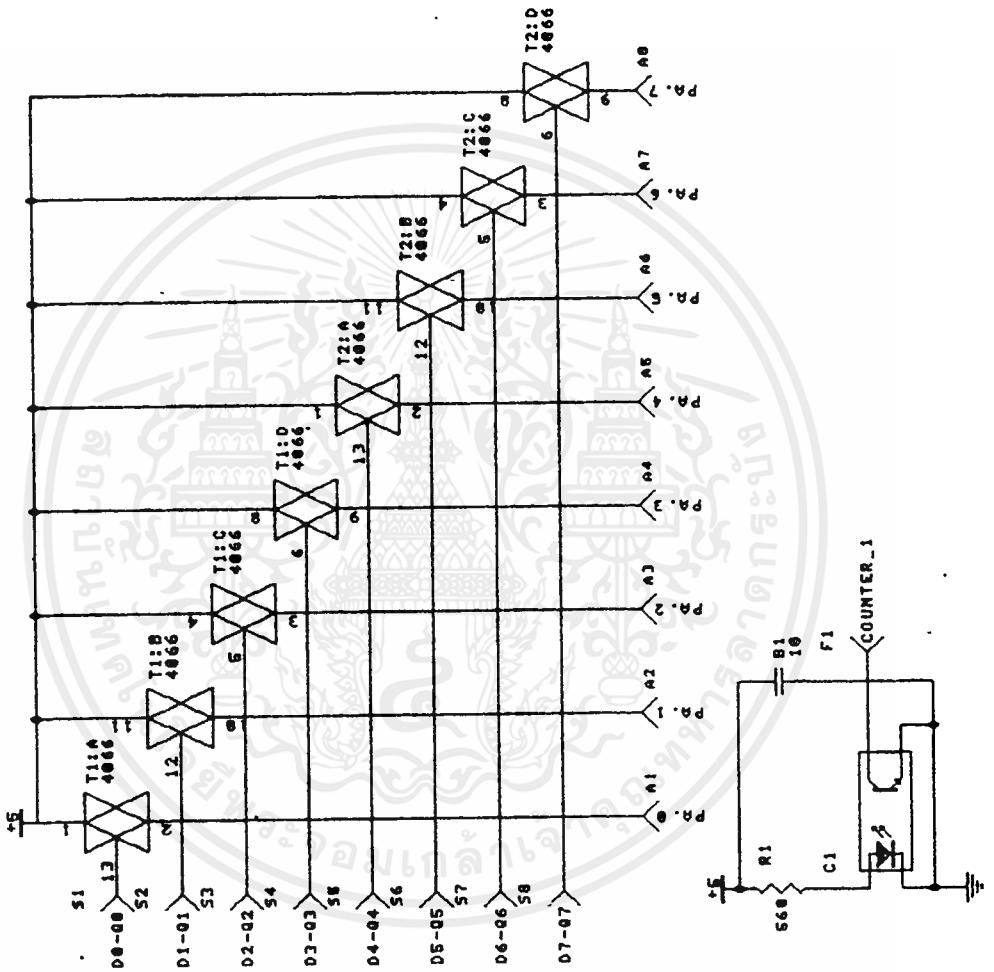
DRIVER RO

เอกสารนี้เป็นเอกสารที่สงวนไว้สำหรับการใช้งานเพื่อการศึกษาเท่านั้น ไม่อนุญาตให้นำไปใช้ประโยชน์ด้านการค้า
 ไม่ว่ากรณีใดๆ ทั้งสิ้น อีกทั้งห้ามมิให้ดัดแปลงเนื้อหาและต้องอ้างอิงถึงเจ้าของเอกสารทุกครั้งที่มีการนำไปใช้

PROPORTIONAL VOLTAGE FORM POTENTIOMETER

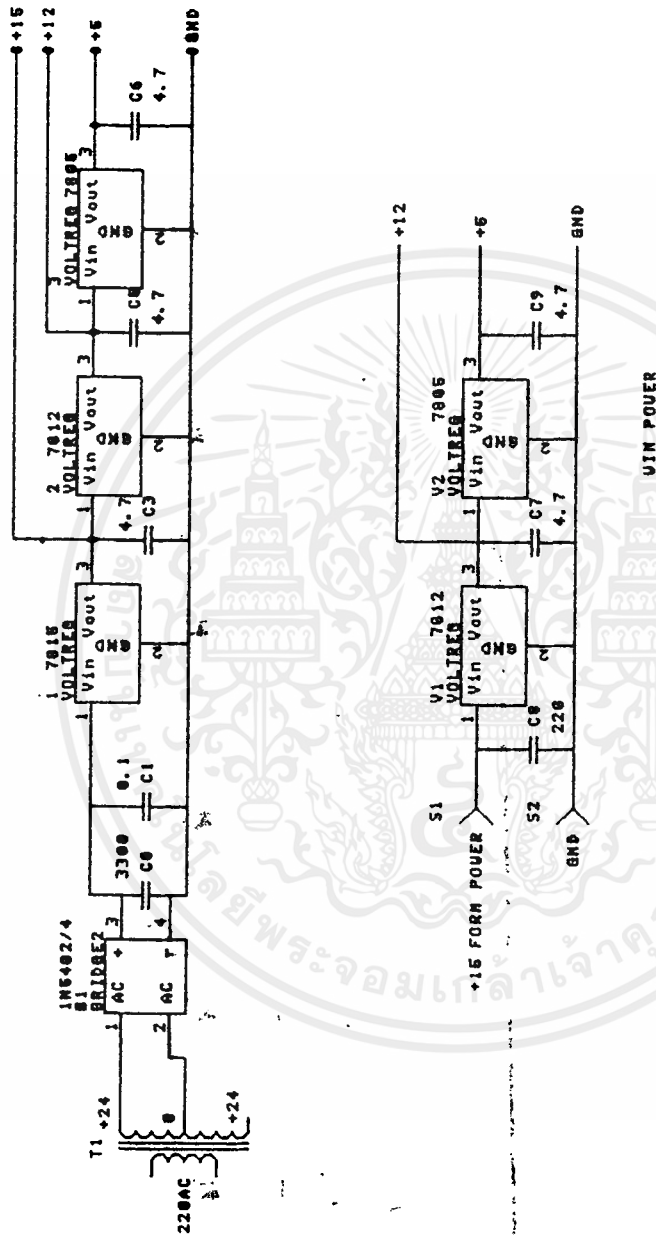


ADC CONVERTOR

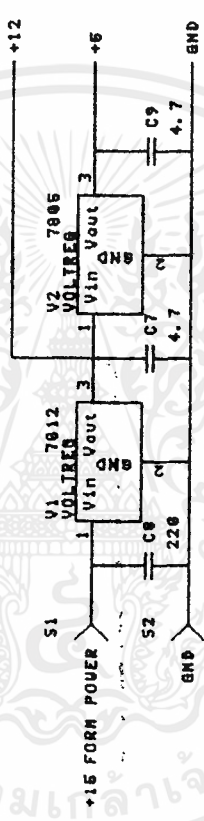


เอกสารนี้เป็นเอกสารที่สงวนไว้สำหรับการใช้งานเพื่อการศึกษาเท่านั้น ไม่อนุญาตให้นำไปใช้ประโยชน์ด้านการค้า
 ไม่ว่ากรณีใดๆ ทั้งสิ้น อีกทั้งห้ามมิให้ตัดแปลงเนื้อหาและต้องอ้างอิงถึงเจ้าของเอกสารทุกครั้งที่มีการนำไปใช้

MAIN POWER



VIN POWER



เอกสารนี้เป็นเอกสารที่สงวนไว้สำหรับการใช้งานเพื่อการศึกษาเท่านั้น ไม่อนุญาตให้นำไปใช้ประโยชน์ด้านการค้า
 ไม่ว่ากรณีใดๆ ทั้งสิ้น อีกทั้งห้ามมิให้ตัดแปลงเนื้อหาและต้องอ้างอิงถึงเจ้าของเอกสารทุกครั้งที่มีการนำไปใช้

```

#include <conio.h>
#include <stdio.h>
#include <8051.h>
#include <stdlib.h>
#include <intrpt.h>
#include <math.h>

#define ilcd_cs2 ((char *) 0xE000) /* LCD #2 */,
#define ilcd_cs1 ((char *) 0xE001) /* LCD #1 */,
#define dlcd_cs2 ((char *) 0xE002) /* DATA LCD #2 */,
#define dlcd_cs1 ((char *) 0xE003) /* DATA LCD #1 */,
#define port_a ((char *) 0xA000) /* I/P KEYBOARD#8 */,
#define port_b ((char *) 0xA001) /* I/P KEYBOARD#8 */,
#define port_c ((char *) 0xA002) /* O/P KEYBOARD#4
                                DRIVE ROTOR#3 */,
#define port_i ((char *) 0xA003) /* CONTROL PORT */,
#define port_a2 ((char *) 0x8000) /* I/P WIND DIRECT */,
#define port_b2 ((char *) 0x8001) /* I/P ADC */,
#define port_c2 ((char *) 0x8002) /* O/P CONTROLL ADC */,
#define port_i2 ((char *) 0x8003) /* CONTROL PORT */,

#define pi 3.141592654
#define kms 8

static char A[]={0,0x3E,0x09,0x09,0x09,0x3E,0};
static char B[]={0,0x3F,0x25,0x25,0x25,0x1A,0};
static char C[]={0,0x1E,0x21,0x21,0x21,0x12,0};
static char D[]={0,0x3F,0x21,0x21,0x21,0x1E,0};
static char E[]={0,0x3F,0x25,0x25,0x25,0x21,0};
static char F[]={0,0x3F,0x05,0x05,0x05,0x01,0};
static char G[]={0,0x1E,0x21,0x29,0x29,0x3A,0};
static char H[]={0,0x3F,0x04,0x04,0x04,0x3F,0};
static char I[]={0,0,0x21,0x3F,0x21,0,0};
static char J[]={0,0x10,0x20,0x21,0x1F,0x01,0};
static char K[]={0,0x3F,0x08,0x0C,0x12,0x21,0};
static char L[]={0,0x3F,0x20,0x20,0x20,0,0};
static char M[]={0,0x3F,0x02,0x0C,0x02,0x3F,0};
static char N[]={0,0x3F,0x02,0x04,0x08,0x3F,0};

```

เอกสารนี้เป็นเอกสารที่สงวนไว้สำหรับการใช้งานเพื่อการศึกษาเท่านั้น ไม่อนุญาตให้นำไปใช้ประโยชน์ด้านการค้า
ไม่ว่ากรณีใดๆ ทั้งสิ้น อีกทั้งห้ามมิให้ดัดแปลงเนื้อหาและต้องอ้างอิงถึงเจ้าของเอกสารทุกครั้งที่มีการนำไปใช้

```
static char O[]={0,0x1E,0x21,0x21,0x21,0x1E,0};
static char P[]={0,0x3F,0x09,0x09,0x09,0x06,0};
static char Q[]={0,0x1E,0x21,0x29,0x11,0x2E,0};
static char R[]={0,0x3F,0x09,0x09,0x19,0x26,0};
static char S[]={0,0x12,0x25,0x25,0x25,0x19,0};
static char T[]={0,0x01,0x01,0x3F,0x01,0x01,0};
static char U[]={0,0x1F,0x20,0x20,0x20,0x1F,0};
static char V[]={0,0x0F,0x10,0x20,0x10,0x0F,0};
static char W[]={0,0x3F,0x10,0x0C,0x10,0x3F,0};
static char X[]={0,0x31,0x0A,0x04,0x0A,0x31,0};
static char Y[]={0,0x03,0x04,0x38,0x04,0x03,0};
static char Z[]={0,0x21,0x31,0x29,0x25,0x23,0};
```

```
static char Aa[]={0,0x10,0x2A,0x2A,0x2A,0x3C,0};
static char Bb[]={0,0x3F,0x28,0x24,0x24,0x18,0};
static char Cc[]={0,0x1C,0x22,0x22,0x22,0x10,0};
static char Dd[]={0,0x18,0x24,0x24,0x28,0x3F,0};
static char Ee[]={0,0x1C,0x2A,0x2A,0x2A,0x0C,0};
static char Ff[]={0,0,0x08,0x3E,0x09,0x02,0};
static char Gg[]={0,0x04,0x2A,0x2A,0x2A,0x1E,0};
static char Hh[]={0,0x3F,0x08,0x04,0x04,0x38,0};
static char Ii[]={0,0,0x24,0x3D,0x20,0,0};
static char Jj[]={0,0,0x10,0x20,0x20,0x1D,0};
static char Kk[]={0,0x3F,0x08,0x14,0x22,0,0};
static char Ll[]={0,0,0x21,0x3F,0x20,0,0};
static char Mm[]={0,0x3E,0x02,0x3C,0x02,0x3C,0};
static char Nn[]={0,0x3C,0x08,0x04,0x04,0x38,0};
static char Oo[]={0,0x1C,0x22,0x22,0x1C,0,0};
static char Pp[]={0,0,0x3E,0x0A,0x0A,0x04,0};
static char Qq[]={0,0x04,0x0A,0x0A,0x0A,0x3E,0};
static char Rr[]={0,0x3E,0x04,0x02,0x02,0,0};
static char Ss[]={0,0x24,0x2A,0x2A,0x12,0,0};
static char Tt[]={0,0,0x22,0x1F,0x22,0x10,0};
static char Uu[]={0,0x1E,0x20,0x20,0x10,0x3E,0};
static char Vv[]={0,0x06,0x18,0x20,0x18,0x06,0};
static char Ww[]={0,0x1E,0x20,0x18,0x20,0x1E,0};
static char Xx[]={0,0x22,0x12,0x1C,0x24,0x22,0};
static char Yy[]={0,0x22,0x24,0x18,0x08,0x06,0};
static char Zz[]={0,0x22,0x32,0x2A,0x26,0x22,0};
```

เอกสารนี้เป็นเอกสารที่สงวนไว้สำหรับการใช้งานเพื่อการศึกษาเท่านั้น ไม่อนุญาตให้นำไปใช้ประโยชน์ด้านการค้า
ไม่ว่ากรณีใดๆ ทั้งสิ้น อีกทั้งห้ามมิให้ดัดแปลงเนื้อหาและต้องอ้างอิงถึงเจ้าของเอกสารทุกครั้งที่มีการนำไปใช้

0,0);

```
static char B4[]={0,0,0,0,0,0,0x80,0x80,0x70,0x70,0x0E,0x0E,
0x01,0x01,0xFF,0xFF,0xFF,0,0,0,0,0,0,0,0,
0xE0,0xE0,0x1C,0x1C,0x03,0x03,0,0,0,0,0,
0,0xFF,0xFF,0xFF,0,0,0,0,0,0,0,0x03,0x03,
0x03,0x03,0x03,0x03,0x03,0x03,0x03,0x03,
0x03,0x03,0xFF,0xFF,0xFF,0x03,0x03,0x03,
0,0);
```

```
static char B5[]={0,0,0xFF,0xFF,0x07,0x07,0x07,0x07,0x87,
0x87,0x87,0x87,0x87,0x87,0x07,0x07,
0x07,0x1F,0x1F,0,0,0,0,0x0F,0x0F,0x86,
0x86,0x03,0x03,0x03,0x01,0x01,0x01,0x01,
0x03,0x03,0x06,0x0E,0xFC,0xF0,0xE0,0,0,
0,0,0x1E,0x3F,0x7F,0x7F,0xE7,0xC2,0xC0,
0xC0,0xC0,0xC0,0xC0,0xC0,0xE0,0x70,0x30,
0x3F,0x0F,0x03,0,0);
```

```
static char B6[]={0,0,0xE0,0xE0,0xF8,0x18,0x1E,0x06,0x07,
0x03,0x03,0x03,0x03,0x03,0x06,0x7E,0xFE,
0xF8,0xF8,0x60,0,0,0,0,0xFF,0xFF,0xFF,
0x60,0x60,0x18,0x18,0x0C,0x0C,0x0C,0x0C,
0x0C,0x18,0x18,0x60,0x61,0x80,0x80,0,0,
0,0,0x03,0x1F,0x1F,0x18,0x60,0x60,0xE0,
0xC0,0xC0,0xC0,0xC0,0xC0,0xC0,0x30,0x30,
0x3F,0x0F,0x0F,0,0);
```

```
static char B7[]={0,0,0x7F,0x7F,0x07,0x07,0x07,0x07,0x07,
0x07,0x07,0x07,0x07,0x07,0xC7,0xF7,0x3F,
0x1F,0x1F,0x07,0,0,0,0,0,0,0,0,0,0,0,
0xC0,0xF0,0x3C,0x0F,0x03,0,0,0,0,0,0,0,
0,0,0,0,0,0,0,0,0,0,0xFF,0xFF,0xFF,0,0,0,
0,0,0,0,0,0,0);
```

```
static char B8[]={0,0,0,0xF0,0xFC,0x0C,0x0C,0x03,0x03,0x03,
0x03,0x03,0x03,0x03,0x03,0x0C,0x0C,0xFC,
0xF0,0,0,0,0,0,0x80,0xE1,0xE7,0x7E,0x1E,
0x0C,0x0C,0x0C,0x0C,0x0C,0x0C,0x0C,0x0C,
0x1E,0x7E,0xE7,0xE1,0x80,0,0,0,0,0x07,
0x0F,0x3F,0x30,0xE0,0xC0,0xC0,0xC0,0xC0,
0xC0,0xC0,0xC0,0xC0,0xE0,0x30,0x3F,0x0F,
0x07,0,0);
```

```
static char B9[]={0,0,0xF0,0xF0,0xFC,0x0C,0x0C,0x03,0x03,
```

เอกสารนี้เป็นเอกสารที่สงวนไว้สำหรับการใช้งานเพื่อการศึกษาเท่านั้น ไม่อนุญาตให้นำไปใช้ประโยชน์ด้านการค้า
ไม่ว่ากรณีใดๆ ทั้งสิ้น อีกทั้งห้ามมิให้ดัดแปลงเนื้อหาและต้องอ้างอิงถึงเจ้าของเอกสารทุกครั้งที่มีการนำไปใช้


```

"RACHASAK RATTATHAM $",
"SAKOL POUNGLAHE $",
"TOTSAPHORN SATONVISIT$",
"
1993 %");

```

```

static char *note1[]={
" & $",
" & $",
" & $",
" :)))Rotor))$",
" ))Wind)))$",
" &Direct $",
" &speed $",
" :)))))))))%");

```

```

static char *memory1[]={
" &MEMORY. $",
" :)WRITE; $",
"Memory $",
" POSITION $",
" $",
" STATION$",
" %");

```

```

static char *memory2[]={
" &MEMORY. $",
" :))READ; $",
"Memory $",
" POSITION $",
" $",
" STATION$",
" %");

```

```

static char *protect1[]={
" &PROTECT.$",
" :))))))));$",
" $",
" SET $",
" Km/h$",
" $",
" %");

```

```

static char *manaul1[]={
" $",
" $",
" Protect $",
" Km/h $",
" $",

```

```

"          $",
"          $",
"          %"};

static char *MANUAL[]={"MANUALmode%"};
static char *AUTO[]= {" AUTO mode%"};

int  x,y;
int  channal;
int  *store,*print_big,*read_num,*wind_test;
int  wind_speed,wind_direct;
int  inter1,inter2,count1,count2;
int  alarm,name_busy;
int  mem_busy,protect;
int  on_name,move_tomen;
unsigned char position,position_adc,*mem_position;
char  busy,namen[12],mode;
char  *many,*lcd;
unsigned char *memory_busy;

/* ##### */
/* ##### MAIN ##### */
/* ##### */

main()

{
  Variable();
  Rams();
  On_lcd();
  Clr_s();
  Init_port();
  Set_interupt();
  Demo();
  mode=0;

  for(;;)
  {
    On_lcd();
    Write_wind();
    Write_lcd_wind();

```

เอกสารนี้เป็นเอกสารที่สงวนไว้สำหรับการใช้งานเพื่อการศึกษาเท่านั้น ไม่อนุญาตให้นำไปใช้ประโยชน์ด้านการค้า
ไม่ว่ากรณีใดๆ ทั้งสิ้น อีกทั้งห้ามมิให้ดัดแปลงเนื้อหาและต้องอ้างอิงถึงเจ้าของเอกสารทุกครั้งที่มีการนำไปใช้

```

Control_rotor();
Print_rotor();
Write_lcd_rotor();
Select_mode();
Write_mode();
Select_protect();
Write_lcd();
Select_memory();
Write_lcd();
Memory();
Write_lcd();
Esc();
Write_lcd();
}
}
/* ##### */
/* ##### END OF MAIN ##### */
/* ##### */

/* #### INTERRUPT TIMMER 0 FUNCTION #### */
void interrupt time0(void)
{
    inter1++;          /* ##### 1 Sec ##### */
    if(inter1==4)
    {
        inter2=count2;
        if(inter2<*(memory_busy+3))
            Inter2();
        else
            Inter1();
        count2=0;
        count1=0;
        inter1=0;
    }
    TH0=0;
    TL0=0;
    TCON&=0xD0;
}

```

เอกสารนี้เป็นเอกสารที่สงวนไว้สำหรับการใช้งานเพื่อการศึกษาเท่านั้น ไม่อนุญาตให้นำไปใช้ประโยชน์ด้านการค้า ไม่ว่ากรณีใดๆ ทั้งสิ้น อีกทั้งห้ามมิให้ดัดแปลงเนื้อหาและต้องอ้างอิงถึงเจ้าของเอกสารทุกครั้งที่มีการนำไปใช้

```

/* ##### INTER2 ##### */
Inter2()
{
    alarm=0;
    P1=0;
}

/* ##### INTER1 ##### */
Inter1()
{
    alarm=1;
    if(mode==0)
        P1=0xFF;
    else
        P1=0;
}

/* #### INTERRUPT COUNTER 1 FUNCTION #### */
void interrupt count0(void)
{
    count1++;
    if(count1>=kms) /* ### number of pulse = 1 Km ### */
    {
        count2++;
        count1=0;
    }
    TH1=0xFF;
    TL1=0xFF;
    TCON&=0x70;
}

/* ##### ESCAPE ##### */
Esc()
{
    char m;
    m=Keyb();
    if(m==8)
    {
        Variable();

```

เอกสารนี้เป็นเอกสารที่สงวนไว้สำหรับการใช้งานเพื่อการศึกษาเท่านั้น ไม่อนุญาตให้นำไปใช้ประโยชน์ด้านการค้า
ไม่ว่ากรณีใดๆ ทั้งสิ้น อีกทั้งห้ามมิให้ดัดแปลงเนื้อหาและต้องอ้างอิงถึงเจ้าของเอกสารทุกครั้งที่มีการนำไปใช้

```

    What();
    Clr_key();
}

/* ##### Demo ##### */
Demo()
{
    Clr_s();
    Set_xy(0,15);
    Writew(KMIT0,40);
    Set_xy(1,15);
    Writew(KMIT1,40);
    Set_xy(2,15);
    Writew(KMIT2,40);
    Set_xy(3,15);
    Writew(KMIT3,40);
    Set_xy(4,15);
    Writew(KMIT4,40);
    Set_xy(5,15);
    Writew(KMIT5,40);
    Set_xy(6,15);
    Writew(KMIT6,40);
    Set_xy(7,15);
    Writew(KMIT7,40);
    Set_xy(2,75);
    Writew(OSB0,45);
    Set_xy(3,75);
    Writew(OSB1,45);
    Set_xy(5,70);
    Writew(OSB2,50);
    Set_xy(6,70);
    Writew(OSB3,50);
    Print_all();
    Delay(30000);
    Clr_s();
    Set_xy(0,0);
    Printw(title0);
    Print_all();
}

```

เอกสารนี้เป็นเอกสารที่สงวนไว้สำหรับการใช้งานเพื่อการศึกษาเท่านั้น ไม่อนุญาตให้นำไปใช้ประโยชน์ด้านการค้า
 ไม่ว่ากรณีใดๆ ทั้งสิ้น อีกทั้งห้ามมิให้ดัดแปลงเนื้อหาและต้องอ้างอิงถึงเจ้าของเอกสารทุกครั้งที่มีการนำไปใช้

```

Delay(30000);
Clr_s();
Set_xy(0,0);
Printw(title1);
Print_all();
Delay(30000);
Clr_s();
Set_xy(0,0);
Printw(title2);
Print_all();
Delay(30000);
Delay(30000);
Delay(30000);
busy=0x0F;
Set_xy(0,0);
Printw(note1);
Set_xy(0,0);
Printw(manual1);
Set_xy(3,4);
Print_number(*(memory_busy+3));
Set_xy(0,0);
Printw(AUTO);
Line(33,64,33,68);
Line(33,64,39,64);
Printrotor();
}

```

```

/* ##### SET INTERRUPT ##### */

```

```

Set_interrupt()

```

```

{
    TMOD=0x51;
    IE=0x8A;
    TH0=0;
    TLO=0;
    TH1=0xFF;
    TL1=0xFF;
    TCON=0x50;
    set_vector (TIMER0,tine0);
    set_vector (TIMER1,count0);
}

```

เอกสารนี้เป็นเอกสารที่สงวนไว้สำหรับการใช้งานเพื่อการศึกษาเท่านั้น ไม่อนุญาตให้นำไปใช้ประโยชน์ด้านการค้า
ไม่ว่ากรณีใดๆ ทั้งสิ้น อีกทั้งห้ามมิให้ดัดแปลงเนื้อหาและต้องอ้างอิงถึงเจ้าของเอกสารทุกครั้งที่มีการนำไปใช้

```

/* ##### RAMS ##### */
Rams()
{
    many=malloc(1200);
    mem_position=malloc(100);
    lcd=malloc(1024);
    memory_busy=malloc(4);
    store=malloc(11);
    print_big=malloc(5);
    read_num=malloc(10);
    wind_test=malloc(2);
}

/* ##### VARIABLE ##### */
Variable()
{
    P1=0;
    *(read_num+6)=0;
    on_name=0;
    move_tomen=0;
    mem_busy=0;
    *memory_busy=0;
    name_busy=0;
    *(memory_busy+2)=0;
    *(wind_test+1)=12;
    *wind_test=12;
    inter1=0;
    count1=0;
    channal=0;
    alarm=0;
    protect=0;
}

/* ##### PRINT ALL ##### */
Print_all()
{
    busy=0x0F;
}

```

เอกสารนี้เป็นเอกสารที่สงวนไว้สำหรับการใช้งานเพื่อการศึกษาเท่านั้น ไม่อนุญาตให้นำไปใช้ประโยชน์ด้านการค้า
ไม่ว่ากรณีใดๆ ทั้งสิ้น อีกทั้งห้ามมิให้ดัดแปลงเนื้อหาและต้องอ้างอิงถึงเจ้าของเอกสารทุกครั้งที่มีการนำไปใช้

```
Write_lcd_wind();
Write_lcd();
Write_lcd_rotor();
Write_mode();
}
```

```
/* ##### SELECT MODE ##### */
```

```
Select_mode()
```

```
{
```

```
    unsigned a,b;
```

```
    int w;
```

```
    a=Keyb();
```

```
    if(a==29)
```

```
    {
```

```
        mode++;
```

```
        w=mode%2;
```

```
        if(w==0)
```

```
        {
```

```
            Set_xy(0,0);
```

```
            Printw(AUTO);
```

```
        }
```

```
        else if(w==1)
```

```
        {
```

```
            Set_xy(0,0);
```

```
            Printw(MANUAL);
```

```
        }
```

```
        mode=w;
```

```
        Clr_key();
```

```
        busy!=0x08;
```

```
    }
```

```
}
```

```
/* ##### CONTROL ROTOR ##### */
```

```
Control_rotor()
```

```
{
```

เอกสารนี้เป็นเอกสารที่สงวนไว้สำหรับการใช้งานเพื่อการศึกษาเท่านั้น ไม่อนุญาตให้นำไปใช้ประโยชน์ด้านการค้า
ไม่ว่ากรณีใดๆ ทั้งสิ้น อีกทั้งห้ามมิให้ดัดแปลงเนื้อหาและต้องอ้างอิงถึงเจ้าของเอกสารทุกครั้งที่มีการนำไปใช้

```

unsigned char a,b;
int c;
*port_c=0x0E;
a=*port_b;
if(a==0x7F!!a==0xBF!!(position_adc!=wind_direct&&
    mode==0&&alarm==1))
{
    if(a==0x7F!!(position_adc<wind_direct&&
        mode==0&&alarm==1))
    {
        *port_c=0x80;
        *port_c=0x10;
    }
    if(a==0xBF!!(position_adc>wind_direct&&
        mode==0&&alarm==1))
    {
        *port_c=0x80;
        *port_c=0x20;
    }
    if(position_adc<wind_direct&&mode==0&&alarm==1)
    {
        *port_c=0x80;
        *port_c=0x10;
    }
    move_tomen=0;
}
else if(move_tomen==0)
    *port_c=0x80;
}

```

```

/* ##### MEMORY PART ##### */

```

```

Memory()

```

```

{
    unsigned char a,b;
    int w,n;
    n=Keyb();
    if(n==32!!*memory_busy==1)
    {

```

เอกสารนี้เป็นเอกสารที่สงวนไว้สำหรับการใช้งานเพื่อการศึกษาเท่านั้น ไม่อนุญาตให้นำไปใช้ประโยชน์ด้านการค้า
ไม่ว่ากรณีใดๆ ทั้งสิ้น อีกทั้งห้ามมิให้ดัดแปลงเนื้อหาและต้องอ้างอิงถึงเจ้าของเอกสารทุกครั้งที่มีการนำไปใช้

```

if(m==32)
{
    Set_xy(1,0);
    Printw(memory1);
    Clr_key();
    busy!=0x01;
    *(read_num+6)=0;
    mem_busy=0;
}
on_name=1;
channal=Read_number(3,42);
if(channal==222)
    *memory_busy=1;
else
{
    *memory_busy=0;
    name_busy=1;
    *(memory_busy+2)=0;
    on_name=0;
}
}
if(name_busy==1)
{
    Name_station();
    if(*(memory_busy+2)==0)
    {
        What();
        name_busy=0;
    }
}
}

```

```

/* ##### What ##### */

```

```

What()

```

```

{

```

```

    Set_xy(0,0);

```

```

    Printw(manual1);

```

```

    Set_xy(3,6);

```

เอกสารนี้เป็นเอกสารที่สงวนไว้สำหรับการใช้งานเพื่อการศึกษาเท่านั้น ไม่อนุญาตให้นำไปใช้ประโยชน์ด้านการค้า
ไม่ว่ากรณีใดๆ ทั้งสิ้น อีกทั้งห้ามมิให้ดัดแปลงเนื้อหาและต้องอ้างอิงถึงเจ้าของเอกสารทุกครั้งที่มีการนำไปใช้

```

Print_number(*(memory_busy+3));
if(mode==0)
{
    Set_xy(0,0);
    Printw(AUTO);
}
else
{
    Set_xy(0,0);
    Printw(MANUAL);
}
busy!=0x01;
}

```

```

/* ##### MEMORY ##### */
Select_memory()
{
    unsigned char a,b;
    int w,m;
    m=Keyb();
    if(m==31; !mem_busy==1)
    {
        if(m==31)
        {
            Set_xy(1,0);
            Printw(memory2);
            Clr_key();
            *(read_num+6)=0;
        }
        on_name=1;
        channal=Read_number(3,42);
        Koko();
        busy!=0x01;
    }
    Jeje();
}

```

```

/* ##### JEJE ##### */

```

เอกสารนี้เป็นเอกสารที่สงวนไว้สำหรับการใช้งานเพื่อการศึกษาเท่านั้น ไม่อนุญาตให้นำไปใช้ประโยชน์ด้านการค้า
ไม่ว่ากรณีใดๆ ทั้งสิ้น อีกทั้งห้ามมิให้ตัดแปลงเนื้อหาและต้องอ้างอิงถึงเจ้าของเอกสารทุกครั้งที่มีการนำไปใช้

```

Jeje()
{
    if(move_tomen==1)
    {
        if(position_adc<position)
            *port_c=0x10;
        else if(position_adc>position)
            *port_c=0x20;
        else /* if(position_adc==position) */,
        {
            *port_c=0x80;
            move_tomen=0;
        }
    }
}

```

```

/* ##### KOKO ##### */
Koko()
{
    if(channal==222)
        mem_busy=1;
    else
    {
        on_name=0;
        mem_busy=0;
        What();
        move_tomen=1;
        position=*(mem_position+channal);
    }
}

```

```

/* ##### SELECT VALUME PROTECT ##### */
Select_protect()
{
    unsigned char a,b;
    int w,q,m;
    m=Keyb();
    if(m==30;!protect!=0)

```

เอกสารนี้เป็นเอกสารที่สงวนไว้สำหรับการใช้งานเพื่อการศึกษาเท่านั้น ไม่อนุญาตให้นำไปใช้ประโยชน์ด้านการค้า
ไม่ว่ากรณีใดๆ ทั้งสิ้น อีกทั้งห้ามมิให้ดัดแปลงเนื้อหาและต้องอ้างอิงถึงเจ้าของเอกสารทุกครั้งที่มีการนำไปใช้

```

{
    if(m==30)
    {
        Set_xy(1,0);
        Printw(protect1);
        Clr_key();
        *(read_num)=0;
    }
    on_name=0;
    q=Read_number(5,10);
    if(q==222)
        protect=1;
    else
    {
        *(memory_busy+3)=q;
        protect=0;
        What();
    }
    busy!=0x01;
}

}

/* ##### READ NUMBER FROM KEYBOARD ##### */
int Read_number(a,b)
int a,b;
{
    int numb,i,j,k,l,m,o,n,r,s,ug;
    char na;
    char c,d;
    unsigned char w,q;

    numb=0;
    if(*(read_num+6)==0)
    {
        l=1;
        o=0;
        n=0;
        Set_xy(a,b);

```

เอกสารนี้เป็นเอกสาร **Print_number(0);** เพื่อการศึกษาเท่านั้น ไม่อนุญาตให้นำไปใช้ประโยชน์ด้านการค้า
ไม่ว่ากรณีใดๆ ทั้งสิ้น อีกทั้งห้ามมิให้ดัดแปลงเนื้อหาและต้องอ้างอิงถึงเจ้าของเอกสารทุกครั้งที่มีการนำไปใช้

```

}
else
{
    l=*read_num;
    o=*(read_num+1);
    n=*(read_num+2);
    r=*(read_num+3);
    s=*(read_num+4);
}
*(read_num+6)=1;
m=Keyb();
if(m<=28&& m>=17)
{
    o*=10;
    if(m==28)
    {
        *(read_num+6)=0;
        o/=10;
        n=0;
    }
    else if(m==25)
    {
        o=0;
        n=0;
    }
    switch(m)
    {
        case 26:n=0;
            break;
        case 23:n=1;
            break;
        case 22:n=2;
            break;
        case 21:n=3;
            break;
        case 24:n=4;
            break;
        case 20:n=5;
            break;
    }
}

```

เอกสารนี้เป็นเอกสารที่สงวนไว้สำหรับใช้เพื่อการศึกษาเท่านั้น ไม่อนุญาตให้นำไปใช้ประโยชน์ด้านการค้า
ไม่ว่ากรณีใดๆ ทั้งสิ้น อีกทั้งห้ามมิให้ตัดแปลงเนื้อหาและต้องอ้างอิงถึงเจ้าของเอกสารทุกครั้งที่มีการนำไปใช้

```

        case 19:n=6;
            break;
        case 17:n=7;
            break;
        case 18:n=8;
            break;
        case 27:n=9;
            break;
    }
    l=o+n;
    r=l/1000;
    s=r*1000;
    o=l-s;
    Set_xy(a,b);
    Print_number(o);
    Clr_key();
    busy!=0x01;
    Delay(1000);
}
o=Ketts(n,o,a,b);
if(on_name==1)
{
    Clr_l(7,1,61);
    Clr_l(5,21,18);
    Set_xy(7,1);
    k=o*12;
    if(*(many+k)=='*')
    {
        for(i=1;i<12;i++)
        {
            if(*(many+k+i)=='*')
                break;
            ma=*(many+k+i);
            Printc(ma,0);
        }
        c=*(mem_position+o);
        ug=Adc_degree(c);
        Set_xy(5,21);
        Print_number(ug);
    }
}

```

เอกสารนี้เป็นเอกสารที่สงวนไว้สำหรับใช้ศึกษาเท่านั้น ไม่อนุญาตให้นำไปใช้ประโยชน์ด้านการค้า
ไม่ว่ากรณีใดๆ ทั้งสิ้น อีกทั้งห้ามมิให้ตัดแปลงเนื้อหาและต้องอ้างอิงถึงเจ้าของเอกสารทุกครั้งที่มีการนำไปใช้

```

    }
}
if(*(read_num+6)==0)
{
    if(o>100)
    {
        o=100;
        Set_xy(a,b);
        Print_number(o);
    }
    *(read_num+5)=o;
    busy!=0x01;
    on_name=0;
}
else if(*(read_num+6)==1)
    *(read_num+5)=222;
*read_num=1;
*(read_num+1)=o;
*(read_num+2)=n;
*(read_num+3)=r;
*(read_num+4)=s;
return(*(read_num+5));
}

```

```

/* ##### KETTS ##### */

```

```

Ketts(m,o,a,b)

```

```

char m,a,b;

```

```

int o;

```

```

{

```

```

    if(m==11)

```

```

    {

```

```

        o=o+1;

```

```

        if(o>100)

```

```

            o=100;

```

```

        Set_xy(a,b);

```

```

        Print_number(o);

```

```

        Clr_key();

```

```

        busy!=0x01;

```

เอกสารนี้เป็นเอกสารที่สงวนไว้สำหรับการใช้งานเพื่อการศึกษาเท่านั้น ไม่อนุญาตให้นำไปใช้ประโยชน์ด้านการค้า
ไม่ว่ากรณีใดๆ ทั้งสิ้น อีกทั้งห้ามมิให้ดัดแปลงเนื้อหาและต้องอ้างอิงถึงเจ้าของเอกสารทุกครั้งที่มีการนำไปใช้

```

else if(m==10)
{
    o=o-1;
    if(o<0)
        o=0;
    Set_xy(a,b);
    Print_number(o);
    Clr_key();
    busy!=0x01;
}
return(o);
}

/* ##### WRITING WIND ##### */
Write_wind()
{
    unsigned char a,b;
    int c;
    a=*port_a2;
    b=~Bcd_gray(a);
    c=Adc_degree(b);
    Set_xy(5,109);
    Print_number(c);
    Set_xy(6,109);
    Print_number(inter2);
    wind_direct=b;
    wind_speed=inter2;
    if(wind_direct!=*wind_test){
        wind_speed!=*(wind_test+1)
        busy!=0x04;
        *wind_test=wind_direct;
        *(wind_test+1)=wind_speed;
    }
}

/* ##### PRINT POSITION ROTOR ##### */
Print_rotor()
{

```

```

g=Read_adc();
g=Read_adc();
h=Adc_degree(g);
p=h/100;
l=h%100;
n=l/10;
o=l%10;
if(*(print_big+2)!=0)
{
    Set_xy(0,65);
    Print_big_number(p);
    Set_xy(0,85);
    Print_big_number(n);
    Set_xy(0,105);
    Print_big_number(o);
    busy!=0x02;
}
position_adc=g;
*print_big=p;
*(print_big+1)=n;
*(print_big+2)=o;
}

/* ##### PRINT POSITION ROTOR ##### */
Printrotor()
{
    int h,p,n,o,l;
    unsigned char g;
    g=Read_adc();
    g=Read_adc();
    g=Read_adc();
    h=Adc_degree(g);
    p=h/100;
    l=h%100;
    n=l/10;
    o=l%10;

    Set_xy(0,65);
    Print_big_number(p);

```

```

        busy!=0x02;
    Set_xy(0,85);
    Print_big_number(n);
    busy!=0x02;
    Set_xy(0,105);
    Print_big_number(o);
    busy!=0x02;
position_adc=g;
*print_big=p;
*(print_big+1)=n;
*(print_big+2)=o;
)

```

```

/* ##### PRINT BIG NUMBER ##### */

```

```

Print_big_number(g)

```

```

int g;

```

```

{

```

```

    switch(g)

```

```

    {

```

```

        case 0: Print_big(B0);

```

```

            break;

```

```

        case 1: Print_big(B1);

```

```

            break;

```

```

        case 2: Print_big(B2);

```

```

            break;

```

```

        case 3: Print_big(B3);

```

```

            break;

```

```

        case 4: Print_big(B4);

```

```

            break;

```

```

        case 5: Print_big(B5);

```

```

            break;

```

```

        case 6: Print_big(B6);

```

```

            break;

```

```

        case 7: Print_big(B7);

```

```

            break;

```

```

        case 8: Print_big(B8);

```

```

            break;

```

```

        case 9: Print_big(B9);

```

```

            break;

```

เอกสารนี้เป็นเอกสารที่สงวนไว้สำหรับครูผู้สอนเพื่อการศึกษาเท่านั้น ไม่อนุญาตให้นำไปใช้ประโยชน์ด้านการค้า
ไม่ว่ากรณีใดๆ ทั้งสิ้น อีกทั้งห้ามมิให้ดัดแปลงเนื้อหาและต้องอ้างอิงถึงเจ้าของเอกสารทุกครั้งที่มีการนำไปใช้

```

    }
}

/* ##### PRINT BIG ##### */

```

```
Print_big(ptr)
```

```
char *ptr;
```

```

{
    unsigned char a,b;
    int i,j,k,l,p;
    p=0;
    k=y;
    l=x;
    for(i=0;i<3;i++)
    {
        p=i*22;
        Set_xy(l+i,k);
        for(j=0;j<22;j++)
        {
            a=(ptr+p+j);
            Writer(a);
        }
    }
}

```

```
/* ##### Name Station ##### */
```

```
Name_station()
```

```
{
```

```
int i,j,k,l,chan,m;
```

```
if(*(memory_busy+2)==0)
```

```
{
```

```
namen[0]='#';
```

```
namen[1]='A';
```

```
namen[2]='A';
```

```
namen[3]='A';
```

```
namen[4]='A';
```

```
namen[5]='A';
```

```
namen[6]='A';
```

```
namen[7]='A';
```

```

        namem[8]='A';
        namem[9]='A';
        namem[10]='A';
        namem[11]='A';
        k=1;
        i=1;
        Clr_l(7,1,61);
        Set_xy(7,1);
        Printc(namem[i],0x80);
        busy!=0x01;
        Clr_key();
        m=Keyb();
    }

else
{
    y=*store;
    i=(store+1);
    j=(store+2);
    k=(store+3);
    l=(store+4);
    x=(store+5);
}

*(memory_busy+2)=1;
m=Keyb();
if(m==11)
{
    y-=6;
    namem[i]++;
    if(namem[i]==0x5B)
        namem[i]+=6;
    if(namem[i]==0x7B)
        namem[i]=' ';
    if(namem[i]==0x21)
        namem[i]='A';
    if(namem[i]<0x3A&&namem[i]>0x2F)
        namem[i]='A';
    Set_y(y);
}

```

เอกสารนี้เป็นเอกสารลิขสิทธิ์ของมหาวิทยาลัยเทคโนโลยีพระจอมเกล้าเจ้าคุณทหารลาดกระบัง ไม่ว่ากรณีใดๆ ทั้งสิ้น อีกทั้งห้ามมิให้ตัดแปลงเนื้อหาและต้องอ้างอิงถึงเจ้าของเอกสารทุกครั้งที่มีการนำไปใช้

```

Printc(namem[i],0x80);
    busy!=0x01;
    Delay(5000);
}
else if(m==10)
{
    y-=6;
    namem[i]--;
    if(namem[i]==0x40)
        namem[i]=' ';
    if(namem[i]==0x1F)
        namem[i]='z';
    if(namem[i]==0x60)
        namem[i]='Z';
    if(namem[i]<0x3A&&namem[i]>0x2F)
        namem[i]='A';
    Set_y(y);
    Printc(namem[i],0x80);
    busy!=0x01;
    Delay(5000);
}
else if(m<=27&&m>=17&&m!=26)
{
    switch(m)
    {
        case 17: namem[i]='7';
                break;
        case 18: namem[i]='8';
                break;
        case 19: namem[i]='6';
                break;
        case 20: namem[i]='5';
                break;
        case 21: namem[i]='3';
                break;
        case 22: namem[i]='2';
                break;
        case 23: namem[i]='1';
                break;
    }
}

```

เอกสารนี้เป็นเอกสารที่สงวนไว้สำหรับการศึกษาเท่านั้น ไม่อนุญาตให้นำไปใช้ประโยชน์ด้านการค้า
ไม่ว่ากรณีใดๆ ทั้งสิ้น อีกทั้งห้ามมิให้ตัดแปลงเนื้อหาและต้องอ้างอิงถึงเจ้าของเอกสารทุกครั้งที่มีการนำไปใช้


```

    }
    if(i>k)
        k++;
    busy!=0x01;
    Delay(5000);
}
else if(m==12)
{
    y-=6;
    i--;
    if(i<1)
    {
        i=1;
        Set_y(y);
        Printc(nanen[i],0x80);
    }
    else
    {
        y-=6;
        Set_y(y);
        Printc(nanen[i],0x80);
        Printc(nanen[i+1],0);
        y-=6;
    }
    busy!=0x01;
    Delay(5000);
}
else if(m==28)
{
    chan=channal*12;
    *(many+chan)='*';
    for(j=1;j<=k;j++)
    {
        *(many+chan+j)=nanen[j];
    }
    *(many+chan+j)='*';
    *(men_position+channal)=position_adc;
    Delay(500);
    Clr_l(0,10,6);
}

```

```

        *(memory_busy+2)=0;
        busy!=0x01;
        name_busy=0;
    }
    *store=y;
    *(store+1)=i;
    *(store+2)=j;
    *(store+3)=k;
    *(store+4)=l;
    *(store+5)=x;
}

/* ##### LINE ##### */
Line(a,b,c,d)
int a,b,c,d;
{
    int i,j,k;
    static dot[] = {0x01,0x02,0x04,0x08,0x10,0x20,
                    0x40,0x80};
    for(k=a;k<=c;k++)
    {
        x=k/8;
        i=k%8;
        for(j=b;j<=d;j++)
        {
            y=j;
            Write_or(dot[i]);
        }
    }
}

```

```

/* ##### WRITE TO RAM ##### */

```

เอกสารนี้เป็นเอกสารที่สงวนไว้สำหรับการใช้งานเพื่อการศึกษาเท่านั้น ไม่อนุญาตให้นำไปใช้ประโยชน์ด้านการค้า
ไม่ว่ากรณีใดๆทั้งสิ้น อีกทั้งห้ามมิให้ตัดแปลงเนื้อหาและต้องอ้างอิงถึงเจ้าของเอกสารทุกครั้งที่มีการนำไปใช้

```

char w;
{
    int i,j,k;
    i=x*128;
    *(lcd+i+y)=w;
    y++;
}

```

```

/* ##### WRITE OR ##### */

```

```

Write_or(w)

```

```

char w;
{
    int i,j,k;
    i=x*128;
    *(lcd+i+y)!=w;
    y++;
}

```

```

/* ##### WRITE FROM RAM TO LCD ##### */

```

```

Write_lcd()

```

```

{
    static char page[]={0xB8,0xB9,0xBA,0xBB,0xBC,0xBD,
                        0xBE,0xBF};

    int i,j,l;
    unsigned char k,n;
    l=0;
    n=busy&0x01;
    if(n==1)
    {
        for(i=1;i<8;i++)
        {
            l=i*128;
            Ready();
            *ilcd_cs2=page[i];
            for(j=0;j<64;j++)
            {
                k=0x40!j;
                Ready();
            }
        }
    }
}

```



```

n=busy&0x02;
if(n==0x02)
{
for(i=0;i<4;i++)
{
l=i*128;
Ready();
*ilcd_cs1=page[i];
for(j=64;j<128;j++)
{
k=0x40!(j-64);
Ready();
*ilcd_cs1=k;
Ready();
*dlcd_cs1=*(lcd+l+j);
}
}
}
busy&=0xFD;
}
}

/* ##### WRITE FROM RAM TO LCD ##### */
Write_lcd_wind()
{
static char page[]={0,0,0,0,0,0xBC,0xBD,0xBE,0xBF};
int i,j,l;
char k,n;
l=0;
n=busy&0x04;
if(n==0x04)
{
for(i=4;i<8;i++)
{
l=i*128;
Ready();
*ilcd_cs1=page[i];
for(j=64;j<128;j++)
{

```

เอกสารนี้เป็นเอกสารที่สงวนไว้ k=0x40!(j-64); การศึกษาเท่านั้น ไม่อนุญาตให้นำไปใช้ประโยชน์ด้านการค้า
ไม่ว่ากรณีใดๆ ทั้งสิ้น อีกทั้งห้ามมิให้ตัดแปลงเนื้อหาและต้องอ้างอิงถึงเจ้าของเอกสารทุกครั้งที่มีการนำไปใช้

```

        Ready();
        *ilcd_cs1=k;
        Ready();
        *dlcd_cs1=(lcd+1+j);
    }
}
busy&=0xFB;
}
}

```

```

/* ##### WRITE_WORD ##### */

```

```

Writew(g,h)

```

```

int h;

```

```

char *g;

```

```

{

```

```

    int i;

```

```

    for(i=0;i<h;i++)

```

```

        Writer(*(g+i));

```

```

}

```

```

/* ##### PRINT A CHARACTER TO LCD ##### */

```

```

Printc(prn,cha) /* prn = ASCII */

```

```

char prn,cha;

```

```

{ char i;

```

```

    prn-=32;

```

```

    switch(prn)

```

```

    { case 0: Write_char(SSS,cha);

```

```

        break;

```

```

        case 6: Write_char(XX8,cha);

```

```

            break;

```

```

        case 7: Write_char(CO,cha);

```

```

            break;

```

```

        case 8: Write_char(XX1,cha);

```

```

            break;

```

```

        case 9: Write_char(XX2,cha);

```

```

            break;

```

```

        case 10: Write_char(XX3,cha);

```

```

            break;

```

```

        case 11: Write_char(XX4,cha);

```

เอกสารนี้เป็นเอกสารที่สงวนไว้สำหรับการใช้งานเพื่อการศึกษาเท่านั้น ไม่อนุญาตให้นำไปใช้ประโยชน์ด้านการค้า
ไม่ว่ากรณีใดๆ ทั้งสิ้น อีกทั้งห้ามมิให้ดัดแปลงเนื้อหาและต้องอ้างอิงถึงเจ้าของเอกสารทุกครั้งที่มีการนำไปใช้

```
        break;
case 12: Write_char(XX5,cha);
        break;
case 13: Write_char(XX6,cha);
        break;
case 14: Write_char(XX7,cha);
        break;
case 15: Write_char(BS,cha);
        break;
case 16: Write_char(O0,cha);
        break;
case 17: Write_char(O1,cha);
        break;
case 18: Write_char(O2,cha);
        break;
case 19: Write_char(O3,cha);
        break;
case 20: Write_char(O4,cha);
        break;
case 21: Write_char(O5,cha);
        break;
case 22: Write_char(O6,cha);
        break;
case 23: Write_char(O7,cha);
        break;
case 24: Write_char(O8,cha);
        break;
case 25: Write_char(O9,cha);
        break;
case 26: Write_char(XX9,cha);
        break;
case 27: Write_char(XX0,cha);
        break;
case 30: Write_char(ARR,cha);
        break;
case 33: Write_char(A,cha);
        break;
case 34: Write_char(B,cha);
        break;
```

เอกสารนี้เป็นเอกสารที่สงวนไว้สำหรับการใช้งานเพื่อการศึกษาเท่านั้น ไม่อนุญาตให้นำไปใช้ประโยชน์ด้านการค้า
ไม่ว่ากรณีใดๆ ทั้งสิ้น อีกทั้งห้ามมิให้ดัดแปลงเนื้อหาและต้องอ้างอิงถึงเจ้าของเอกสารทุกครั้งที่มีการนำไปใช้


```
        break;
case 55: Write_char(W, cha);
        break;
case 56: Write_char(X, cha);
        break;
case 57: Write_char(Y, cha);
        break;
case 58: Write_char(Z, cha);
        break;
case 65: Write_char(Aa, cha);
        break;
case 66: Write_char(Bb, cha);
        break;
case 67: Write_char(Cc, cha);
        break;
case 68: Write_char(Dd, cha);
        break;
case 69: Write_char(Ee, cha);
        break;
case 70: Write_char(Ff, cha);
        break;
case 71: Write_char(Gg, cha);
        break;
case 72: Write_char(Hh, cha);
        break;
case 73: Write_char(Ii, cha);
        break;
case 74: Write_char(Jj, cha);
        break;
case 75: Write_char(Kk, cha);
        break;
case 76: Write_char(Ll, cha);
        break;
case 77: Write_char(Mn, cha);
        break;
case 78: Write_char(Nn, cha);
        break;
case 79: Write_char(Oo, cha);
        break;
```

เอกสารนี้เป็นเอกสารที่สงวนลิขสิทธิ์การใช้งานเพื่อการศึกษาเท่านั้น ไม่อนุญาตให้นำไปใช้ประโยชน์ด้านการค้า
ไม่ว่ากรณีใดๆ ทั้งสิ้น อีกทั้งห้ามมิให้ตัดแปลงเนื้อหาและต้องอ้างอิงถึงเจ้าของเอกสารทุกครั้งที่มีการนำไปใช้

```

case 80: Write_char(Pp,cha);
        break;
case 81: Write_char(Qq,cha);
        break;
case 82: Write_char(Rr,cha);
        break;
case 83: Write_char(Ss,cha);
        break;
case 84: Write_char(Tt,cha);
        break;
case 85: Write_char(Uu,cha);
        break;
case 86: Write_char(Vv,cha);
        break;
case 87: Write_char(Ww,cha);
        break;
case 88: Write_char(Xx,cha);
        break;
case 89: Write_char(Yy,cha);
        break;
case 90: Write_char(Zz,cha);
        break;
case 91: Write_char(YY0,cha);
        break;
case 92: Write_char(YY1,cha);
        break;
case 93: Write_char(YY2,cha);
        break;
case 94: Write_char(YY3,cha);
        break;
    }
}

/* ##### WRITE_CHAR ##### */
Write_char(ptr,cha)
char *ptr,cha;

{   char t;
    int i;

```

เอกสารนี้เป็นเอกสารที่สงวนไว้สำหรับการใช้งานเพื่อการศึกษาเท่านั้น ไม่อนุญาตให้นำไปใช้ประโยชน์ด้านการค้า
ไม่ว่ากรณีใดๆ ทั้งสิ้น อีกทั้งห้ามมิให้ตัดแปลงเนื้อหาและต้องอ้างอิงถึงเจ้าของเอกสารทุกครั้งที่มีการนำไปใช้

```

        for(i=0;i<=5;i++)
        {
            t=*(ptr+i);
            Writer(t);
        }
    }

```

```

/* ##### PRINT WORD ##### */

```

```

Printw(pr)

```

```

char **pr;

```

```

{
    int i,j;
    for(j=0;;j++)
    {
        for(i=0;;i++)
        {
            if(*(pr+j)+i=='\n')
                break;
            if(*(pr+j)+i=='$')
                break;
            Printc(*(pr+j)+i,0);
        }
        if(*(pr+j)+i=='\n')
            break;
        x++;
        Set_xy(x,0);
    }
}

```

```

/* ##### PRINT NUMBER ##### */

```

```

Print_number(n)

```

```

int n;

```

```

{
    int t,o,p,q,i;
    t=n/100;
    o=n%100;
    p=o/10;
    q=o%10;

```

เอกสารนี้เป็นเอกสารที่สงวนไว้สำหรับการใช้งานเพื่อการศึกษาเท่านั้น ไม่อนุญาตให้นำไปใช้ประโยชน์ด้านการค้า
ไม่ว่ากรณีใดๆ ทั้งสิ้น อีกทั้งห้ามมิให้ดัดแปลงเนื้อหาและต้องอ้างอิงถึงเจ้าของเอกสารทุกครั้งที่มีการนำไปใช้

```

for(i=0;i<3;i++)
{
    if(i==1)
        t=p;
    if(i==2)
        t=q;
    switch(t)
    {
        case 0: Write_char(00,0);
                break;
        case 1: Write_char(01,0);
                break;
        case 2: Write_char(02,0);
                break;
        case 3: Write_char(03,0);
                break;
        case 4: Write_char(04,0);
                break;
        case 5: Write_char(05,0);
                break;
        case 6: Write_char(06,0);
                break;
        case 7: Write_char(07,0);
                break;
        case 8: Write_char(08,0);
                break;
        case 9: Write_char(09,0);
                break;
    }
}
}

```

```

/* ##### READ ADC ##### */

```

```

Read_adc()

```

```

{
    unsigned char z;
    Delay(50);
    *port_c2=0x02;
    Delay(50);

```

```

*port_c2=0x06;
z=*port_b2;
*port_c2=0x01;
*port_c2=0;
return((int)z);
}

```

```

/* ##### ADC TO DEGREE ##### */

```

```

Adc_degree(adc)
unsigned char adc;
{
    int c;
    c=adc*1.40625;
    return(c);
}

```

```

/* ##### CLEAR KEYBOARD ##### */

```

```

Clr_key()
{
    int m;
    for(;;)
    {
        m=Keyb();
        if(m==0)
            break;
    }
}

```

```

/* ##### BCD TO GRAY CODE ##### */

```

```

Bcd_gray(bcd)
unsigned char bcd;
{
    static char sif[]={0x80,0x40,0x20,0x10,0x08,
                       0x04,0x02,0x01};
    unsigned char b,c,d,f;
    int i;
    f=bcd & sif[0];
    for(i=1;i<8;i++)

```

```

{
    b= f>>1;
    c= b^bcd;
    d= c & sif[i];
    f|= d;
}
return(f);
}

```

```

/* ##### Initial port ##### */

```

```

Init_port()
{
    *port_i=0x92;
    *port_c=0x80;
    *port_i2=0x92;
    *port_c=0;
}

```

```

/* ##### Check Ready Of LCD ##### */

```

```

Ready()
{
    char    ready;

    for(;;)
    {
        ready=*ilcd_cs2;
        ready&=0x80;
        if(ready!=0x80)
            break;
    }
}

```

```

/* ##### DELAY ##### */

```

```

Delay(de)
{
    int    delay,i;
    for(delay=0;delay<de;delay++);
}

```

เอกสารนี้เป็นเอกสารที่สงวนไว้สำหรับการใช้งานเพื่อการศึกษาเท่านั้น ไม่อนุญาตให้นำไปใช้ประโยชน์ด้านการค้า
ไม่ว่ากรณีใดๆ ทั้งสิ้น อีกทั้งห้ามมิให้ดัดแปลงเนื้อหาและต้องอ้างอิงถึงเจ้าของเอกสารทุกครั้งที่มีการนำไปใช้

```

/* ##### 'SET_Y ##### */
Set_y(sy)
int sy;
{
    char  sy1;
    y=sy;
}
/* ##### SET_X ##### */
Set_x(sx)
int sx;
{
    x=sx;
}

/* ##### Set_xy ##### */
Set_xy(a,b)
int  a,b;
{
    Set_x(a);
    Set_y(b);
}

/* ##### CLEAR SCREEN ##### */
Clr_s()
{
    static char page[]={0xB8,0xB9,0xBA,0xBB,
                        0xBC,0xBD,0xBE,0xBF};

    int i,j,l;
    char k;
    l=0;
    for(i=0;i<8;i++)
    {
        l=i*128;
        Ready();
        *ilcd_cs2=page[i];
        Ready();
        *ilcd_cs1=page[i];
        Ready();
    }
}

```

```

    *ilcd_cs2=0x40;
    Ready();
    *ilcd_cs1=0x40;
    for(j=0;j<64;j++)
    {
        Ready();
        *dlcd_cs2=0;
        Ready();
        *dlcd_cs1=0;
    }
}
Clr_ram();
}

```

```

/* ##### CLEAR SCREEN ##### */

```

```

Clr_ram()

```

```

{
    int i;
    for(i=0;i<1024;i++)
    {
        *(lcd+i)=0;
    }
}

```

```

/* ##### CLEAR LINE ##### */

```

```

Clr_l(a,b,c)

```

```

int a,b,c;
{
    int i;
    Set_xy(a,b);
    for(i=0;i<c;i++)
        Writer(0);
}

```

```

/* ##### DISPLAY ON ##### */

```

เอกสารนี้เป็นเอกสารที่สงวนไว้สำหรับการใช้งานเพื่อการศึกษาเท่านั้น ไม่อนุญาตให้นำไปใช้ประโยชน์ด้านการค้า
ไม่ว่ากรณีใดๆ ทั้งสิ้น อีกทั้งห้ามมิให้ตัดแปลงเนื้อหาและต้องอ้างอิงถึงเจ้าของเอกสารทุกครั้งที่มีการนำไปใช้

```

Display_on()
{
    Ready();
    *ilcd_cs2=0x3F;    /*SET DISPLAY 2 ON*/
    Ready();
    *ilcd_cs1=0x3F;
}

/* ##### START LINE ##### */
Start_line()
{
    Ready();
    *ilcd_cs2=0xC0;    /*SET START LINE #0 */
    Ready();
    *ilcd_cs1=0xC0;
}

/* ##### ON LCD GRAPHIC ##### */
On_lcd()
{
    Display_on();
    Start_line();
}

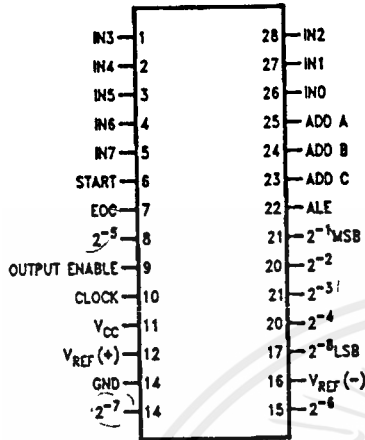
/* ##### SCAN KEYBOARD ##### */
int Keyb()
{
    static char scn[] = { 0x0E, 0x0D, 0x0B, 0x07};
    unsigned char    k1;
    int    k2,k3,k4,k;
    k2=0;
    for(k4=0;k4<4;k4++)
    {
        *port_c=scn[k4];
        k1=*port_b;
        if(k1!=0xFF)
            break;
        k2+=8;
    }
}

```

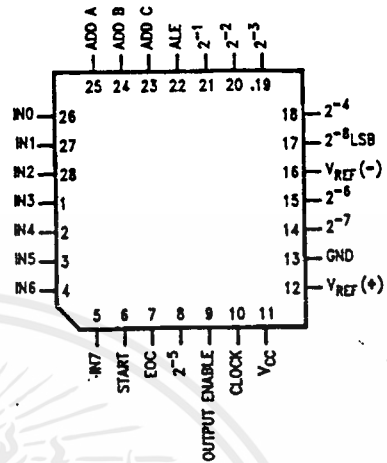
เอกสารนี้ if(k1!=0xFE&&k1!=0xFD&&k1!=0xFB&&k1!=0xF7&&... ให้นำไปใช้ประโยชน์ด้านการค้า
 ไม่ว่ากรณีใดๆ ทั้งสิ้น อีกทั้งห้ามมิให้ดัดแปลงเนื้อหาและต้องอ้างอิงถึงเจ้าของเอกสารทุกครั้งที่มีการนำไปใช้

Connection Diagrams

Dual-In-Line Package



Molded Chip Carrier Package



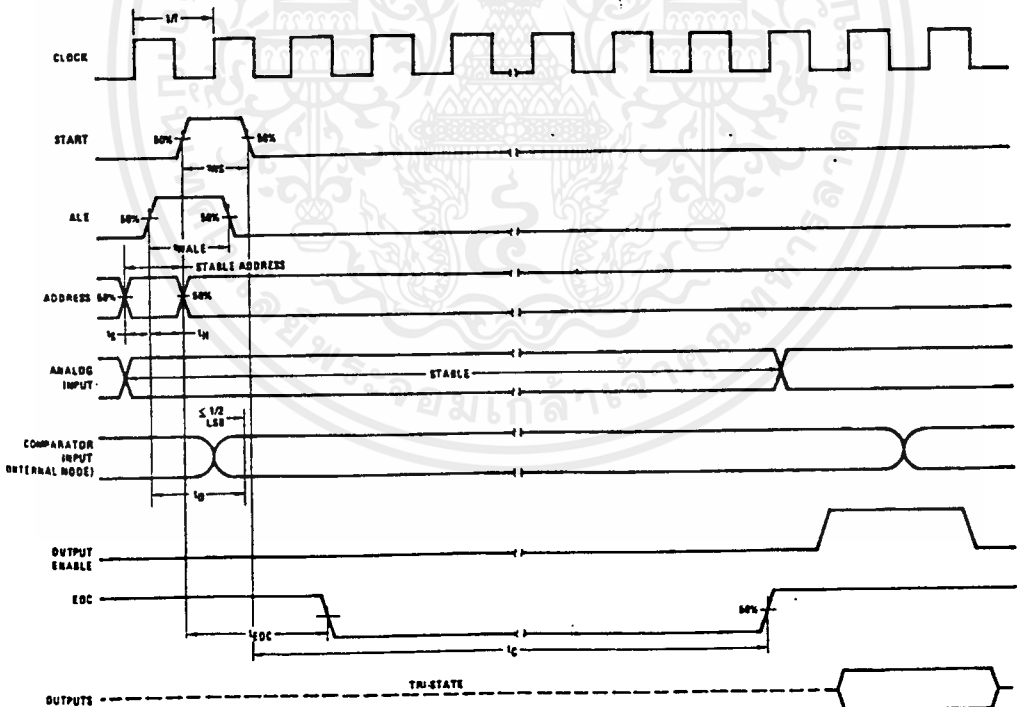
TL/H/5672-11

Order Number ADC0808CCN, ADC0809CCN,
ADC0808CCJ or ADC0809CCJ
See NS Package J28A or N28A

TL/H/5672-12

Order Number ADC0808CCV or ADC0809CCV
See NS Package V28A

Timing Diagram



TL/H/5672-4

FIGURE 5



National
Semiconductor
Corporation

ADC0808, ADC0809 8-Bit μ P Compatible A/D Converters with 8-Channel Multiplexer

General Description

The ADC0808, ADC0809 data acquisition component is a monolithic CMOS device with an 8-bit analog-to-digital converter, 8-channel multiplexer and microprocessor compatible control logic. The 8-bit A/D converter uses successive approximation as the conversion technique. The converter features a high impedance chopper stabilized comparator, a 256R voltage divider with analog switch tree and a successive approximation register. The 8-channel multiplexer can directly access any of 8 single-ended analog signals.

The device eliminates the need for external zero and full-scale adjustments. Easy interfacing to microprocessors is provided by the latched and decoded multiplexer address inputs and latched TTL TRI-STATE® outputs.

The design of the ADC0808, ADC0809 has been optimized by incorporating the most desirable aspects of several A/D conversion techniques. The ADC0808, ADC0809 offers high speed, high accuracy, minimal temperature dependence, excellent long-term accuracy and repeatability, and consumes minimal power. These features make this device ideally suited to applications from process and machine control to consumer and automotive applications. For 16-channel multiplexer with common output (sample/hold port) see ADC0816 data sheet. (See AN-247 for more information.)

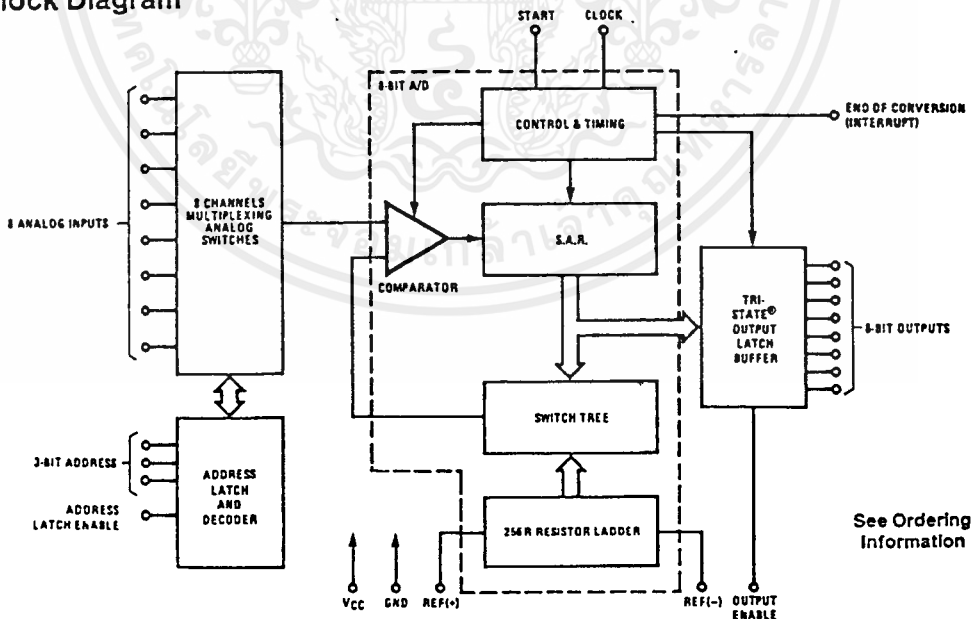
Features

- Easy interface to all microprocessors
- Operates ratiometrically or with 5 V_{DC} or analog span adjusted voltage reference
- No zero or full-scale adjust required
- 8-channel multiplexer with address logic
- 0V to 5V input range with single 5V power supply
- Outputs meet TTL voltage level specifications
- Standard hermetic or molded 28-pin DIP package
- 28-pin molded chip carrier package

Key Specifications

- | | |
|--------------------------|-------------------------------|
| ■ Resolution | 8 Bits |
| ■ Total Unadjusted Error | $\pm 1/2$ LSB and ± 1 LSB |
| ■ Single Supply | 5 V _{DC} |
| ■ Low Power | 15 mW |
| ■ Conversion Time | 100 μ s |

Block Diagram



See Ordering
Information

TL/H/5672-1

Absolute Maximum Ratings (Notes 1 & 2)

If Military/Aerospace specified devices are required, contact the National Semiconductor Sales Office/Distributors for availability and specifications.

Supply Voltage (V _{CC}) (Note 3)	6.5V
Voltage at Any Pin	-0.3V to (V _{CC} +0.3V)
Except Control Inputs	
Voltage at Control Inputs	-0.3V to +15V
(START, OE, CLOCK, ALE, ADD A, ADD B, ADD C)	
Storage Temperature Range	-65°C to +150°C
Package Dissipation at T _A = 25°C	875 mW
Lead Temp. (Soldering, 10 seconds)	
Dual-In-Line Package (plastic)	260°C
Dual-In-Line Package (ceramic)	300°C
Molded Chip Carrier Package	
Vapor Phase (60 seconds)	215°C
Infrared (15 seconds)	220°C
ESD Susceptibility (Note 11)	400V

Operating Conditions (Notes 1 & 2)

Temperature Range (Note 1)	T _{MIN} ≤ T _A ≤ T _{MAX}
ADC0808CJ	-55°C ≤ T _A ≤ +125°C
ADC0808CCJ, ADC0808CCN,	
ADC0809CCN	-40°C ≤ T _A ≤ +85°C
ADC0808CCV, ADC0809CCV	-40°C ≤ T _A ≤ +85°C
Range of V _{CC} (Note 1)	4.5 V _{DC} to 6.0 V _{DC}

Electrical Characteristics

Converter Specifications: V_{CC} = 5 V_{DC} = V_{REF+}, V_{REF(-)} = GND, T_{MIN} ≤ T_A ≤ T_{MAX} and f_{CLK} = 640 kHz unless otherwise stated.

Symbol	Parameter	Conditions	Min	Typ	Max	Units
	ADC0808 Total Unadjusted Error (Note 5)	25°C T _{MIN} to T _{MAX}			± 1/2	LSB
					± 3/4	LSB
	ADC0809 Total Unadjusted Error (Note 5)	0°C to 70°C T _{MIN} to T _{MAX}			± 1	LSB
					± 1 1/4	LSB
	Input Resistance	From Ref(+) to Ref(-)	1.0	2.5		kΩ
	Analog Input Voltage Range	(Note 4) V(+) or V(-)	GND - 0.10		V _{CC} + 0.10	V _{DC}
V _{REF(+)}	Voltage, Top of Ladder	Measured at Ref(+)		V _{CC}	V _{CC} + 0.1	V
$\frac{V_{REF(+)} + V_{REF(-)}}{2}$	Voltage, Center of Ladder		V _{CC} /2 - 0.1	V _{CC} /2	V _{CC} /2 + 0.1	V
V _{REF(-)}	Voltage, Bottom of Ladder	Measured at Ref(-)	-0.1	0		V
I _{IN}	Comparator Input Current	f _C = 640 kHz, (Note 6)	-2	± 0.5	2	μA

Electrical Characteristics

Digital Levels and DC Specifications: ADC0808CJ 4.5V ≤ V_{CC} ≤ 5.5V, -55°C ≤ T_A ≤ +125°C unless otherwise noted
 ADC0808CCJ, ADC0808CCN, ADC0808CCV, ADC0809CCN and ADC0809CCV, 4.75V ≤ V_{CC} ≤ 5.25V, -40°C ≤ T_A ≤ +85°C unless otherwise noted

Symbol	Parameter	Conditions	Min	Typ	Max	Units
ANALOG MULTIPLEXER						
I _{OFF(+)}	OFF Channel Leakage Current	V _{CC} = 5V, V _{IN} = 5V, T _A = 25°C T _{MIN} to T _{MAX}		10	200 1.0	nA μA
I _{OFF(-)}	OFF Channel Leakage Current	V _{CC} = 5V, V _{IN} = 0, T _A = 25°C T _{MIN} to T _{MAX}	-200 -1.0	-10		nA μA

Electrical Characteristics (Continued)

Digital Levels and DC Specifications: ADC0808CJ $4.5V \leq V_{CC} \leq 5.5V$, $-55^{\circ}C \leq T_A \leq +125^{\circ}C$ unless otherwise noted
 ADC0808CCJ, ADC0808CCN, ADC0808CCV, ADC0809CCN and ADC0809CCV, $4.75 \leq V_{CC} \leq 5.25V$, $-40^{\circ}C \leq T_A \leq +85^{\circ}C$ unless otherwise noted

Symbol	Parameter	Conditions	Min	Typ	Max	Units
CONTROL INPUTS						
$V_{IN(1)}$	Logical "1" Input Voltage		$V_{CC} - 1.5$			V
$V_{IN(0)}$	Logical "0" Input Voltage				1.5	V
$I_{IN(1)}$	Logical "1" Input Current (The Control Inputs)	$V_{IN} = 15V$			1.0	μA
$I_{IN(0)}$	Logical "0" Input Current (The Control Inputs)	$V_{IN} = 0$	-1.0			μA
I_{CC}	Supply Current	$f_{CLK} = 640$ kHz		0.3	3.0	mA
DATA OUTPUTS AND EOC (INTERRUPT)						
$V_{OUT(1)}$	Logical "1" Output Voltage	$I_O = -360 \mu A$	$V_{CC} - 0.4$			V
$V_{OUT(0)}$	Logical "0" Output Voltage	$I_O = 1.6$ mA			0.45	V
$V_{OUT(0)}$	Logical "0" Output Voltage EOC	$I_O = 1.2$ mA			0.45	V
I_{OUT}	TRI-STATE Output Current	$V_O = 5V$ $V_O = 0$	-3		3	μA μA

Electrical Characteristics

Timing Specifications $V_{CC} = V_{REF(+)} = 5V$, $V_{REF(-)} = GND$, $t_r = t_f = 20$ ns and $T_A = 25^{\circ}C$ unless otherwise noted.

Symbol	Parameter	Conditions	Min	Typ	Max	Units
t_{WS}	Minimum Start Pulse Width	(Figure 5)		100	200	ns
t_{WALE}	Minimum ALE Pulse Width	(Figure 5)		100	200	ns
t_s	Minimum Address Set-Up Time	(Figure 5)		25	50	ns
t_H	Minimum Address Hold Time	(Figure 5)		25	50	ns
t_D	Analog MUX Delay Time From ALE	$R_S = 0 \Omega$ (Figure 5)		1	2.5	μs
t_{H1}, t_{H0}	OE Control to Q Logic State	$C_L = 50$ pF, $R_L = 10k$ (Figure 8)		125	250	ns
t_{1H}, t_{0H}	OE Control to Hi-Z	$C_L = 10$ pF, $R_L = 10k$ (Figure 8)		125	250	ns
t_c	Conversion Time	$f_c = 640$ kHz, (Figure 5) (Note 7)	90	100	116	μs
f_c	Clock Frequency		10	640	1280	kHz
t_{EOC}	EOC Delay Time	(Figure 5)	0		$8 + 2 \mu s$	Clock Period
C_{IN}	Input Capacitance	At Control Inputs		10	15	pF
C_{OUT}	TRI-STATE Output Capacitance	At TRI-STATE Outputs, (Note 12)		10	15	pF

Note 1: Absolute Maximum Ratings indicate limits beyond which damage to the device may occur. DC and AC electrical specifications do not apply when operating the device beyond its specified operating conditions.

Note 2: All voltages are measured with respect to GND, unless otherwise specified.

Note 3: A zener diode exists, internally, from V_{CC} to GND and has a typical breakdown voltage of 7 V_{DC}.

Note 4: Two on-chip diodes are tied to each analog input which will forward conduct for analog input voltages one diode drop below ground or one diode drop greater than the V_{CC} supply. The spec allows 100 mV forward bias of either diode. This means that as long as the analog V_{IN} does not exceed the supply voltage by more than 100 mV, the output code will be correct. To achieve an absolute 0V_{DC} to 5V_{DC} input voltage range will therefore require a minimum supply voltage of 4.900 V_{DC} over temperature variations, initial tolerance and loading.

Note 5: Total unadjusted error includes offset, full-scale, linearity, and multiplexer errors. See Figure 3. None of these A/Ds requires a zero or full-scale adjustment. However, if an all zero code is desired for an analog input other than 0.0V, or if a narrow full-scale span exists (for example: 0.5V to 4.5V full-scale) the reference voltages can be adjusted to achieve this. See Figure 13.

Note 6: Comparator input current is a bias current into or out of the chopper stabilized comparator. The bias current varies directly with clock frequency and has little temperature dependence (Figure 6). See paragraph 4.0.

Note 7: The outputs of the data register are updated one clock cycle before the rising edge of EOC.

Note 8: Human body model, 100 pF discharged through a 1.5 k Ω resistor.

Functional Description

Multiplexer. The device contains an 8-channel single-ended analog signal multiplexer. A particular input channel is selected by using the address decoder. Table 1 shows the output states for the address lines to select any channel. The address is latched into the decoder on the low-to-high transition of the address latch enable signal.

TABLE 1

SELECTED ANALOG CHANNEL	ADDRESS LINE		
	C	B	A
IN0	L	L	L
IN1	L	L	H
IN2	L	H	L
IN3	L	H	H
IN4	H	L	L
IN5	H	L	H
IN6	H	H	L
IN7	H	H	H

CONVERTER CHARACTERISTICS

The Converter

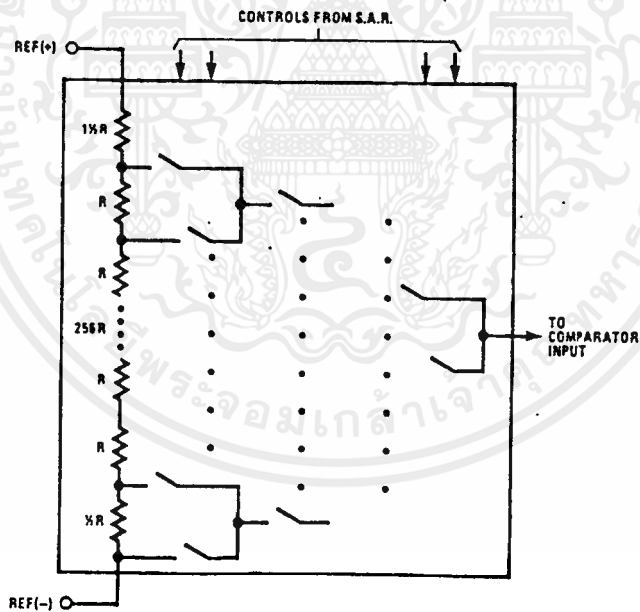
The heart of this single chip data acquisition system is its 8-bit analog-to-digital converter. The converter is designed

to give fast, accurate, and repeatable conversions over a wide range of temperatures. The converter is partitioned into 3 major sections: the 256R ladder network, the successive approximation register, and the comparator. The converter's digital outputs are positive true.

The 256R ladder network approach (Figure 1) was chosen over the conventional R/2R ladder because of its inherent monotonicity, which guarantees no missing digital codes. Monotonicity is particularly important in closed loop feedback control systems. A non-monotonic relationship can cause oscillations that will be catastrophic for the system. Additionally, the 256R network does not cause load variations on the reference voltage.

The bottom resistor and the top resistor of the ladder network in Figure 1 are not the same value as the remainder of the network. The difference in these resistors causes the output characteristic to be symmetrical with the zero and full-scale points of the transfer curve. The first output transition occurs when the analog signal has reached $+1/2$ LSB and succeeding output transitions occur every 1 LSB later up to full-scale.

The successive approximation register (SAR) performs 8 iterations to approximate the input voltage. For any SAR type converter, n-iterations are required for an n-bit converter. Figure 2 shows a typical example of a 3-bit converter. In the ADC0808, ADC0809, the approximation technique is extended to 8 bits using the 256R network.



TL/H/5572-2

FIGURE 1. Resistor Ladder and Switch Tree

Functional Description (Continued)

The A/D converter's successive approximation register (SAR) is reset on the positive edge of the start conversion (SC) pulse. The conversion is begun on the falling edge of the start conversion pulse. A conversion in process will be interrupted by receipt of a new start conversion pulse. Continuous conversion may be accomplished by tying the end-of-conversion (EOC) output to the SC input. If used in this mode, an external start conversion pulse should be applied after power up. End-of-conversion will go low between 0 and 8 clock pulses after the rising edge of start conversion.

The most important section of the A/D converter is the comparator. It is this section which is responsible for the ultimate accuracy of the entire converter. It is also the

comparator drift which has the greatest influence on the repeatability of the device. A chopper-stabilized comparator provides the most effective method of satisfying all the converter requirements.

The chopper-stabilized comparator converts the DC input signal into an AC signal. This signal is then fed through a high gain AC amplifier and has the DC level restored. This technique limits the drift component of the amplifier since the drift is a DC component which is not passed by the AC amplifier. This makes the entire A/D converter extremely insensitive to temperature, long term drift and input offset errors.

Figure 4 shows a typical error curve for the ADC0808 as measured using the procedures outlined in AN-179.

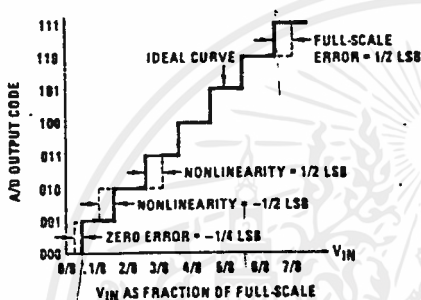


FIGURE 2. 3-Bit A/D Transfer Curve

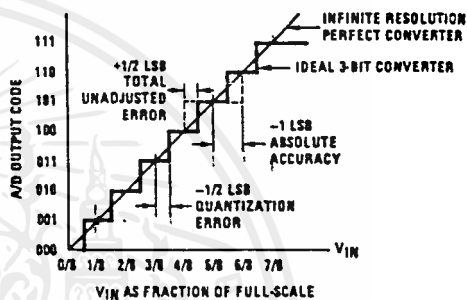


FIGURE 3. 3-Bit A/D Absolute Accuracy Curve

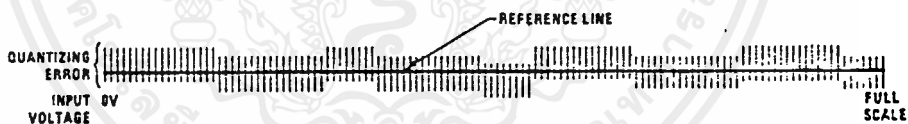


FIGURE 4. Typical Error Curve

7.7/75672

Handwritten notes:
 $\frac{1}{6}$
 $\frac{1}{2}$
 001

```

k1!=0xEF&&k1!=0xDF&&k1!=0xBF&&k1!=0x7F)
{
    k2=0;
    k1=0;
}
if(k1==0x7F)
    k2+=1;
if(k1==0xBF)
    k2+=2;
if(k1==0xDF)
    k2+=3;
if(k1==0xEF)
    k2+=4;
if(k1==0xF7)
    k2+=5;
if(k1==0xFB)
    k2+=6;
if(k1==0xFD)
    k2+=7;
if(k1==0xFE)
    k2+=8;
return(k2);
}

```



Typical Performance Characteristics

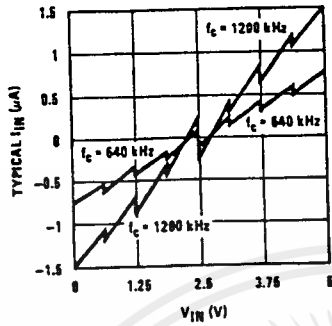


FIGURE 6. Comparator I_{IN} vs V_{IN} ($V_{CC} = V_{REF} = 5V$)

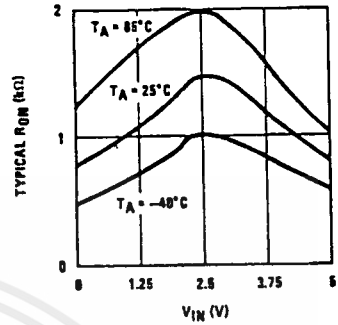


FIGURE 7. Multiplexer R_{ON} vs V_{IN} ($V_{CC} = V_{REF} = 5V$)

TLH/5571-1

TRI-STATE Test Circuits and Timing Diagrams

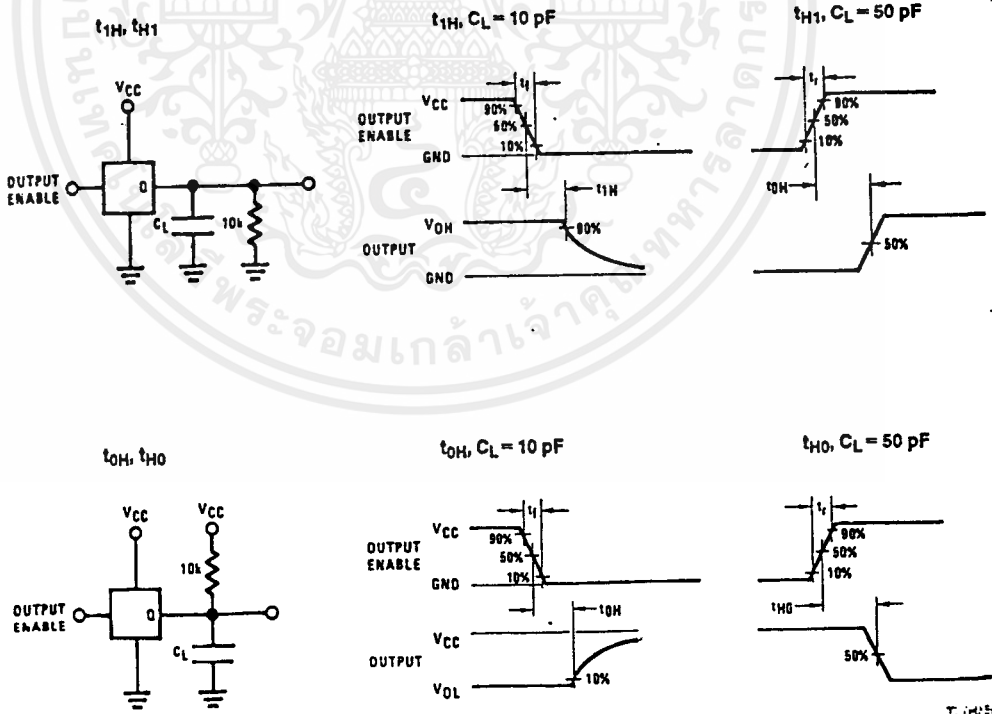


FIGURE 8

TLH/5571-1

เอกสารนี้เป็นเอกสารที่สงวนไว้สำหรับการใช้งานเพื่อการศึกษาเท่านั้น ไม่อนุญาตให้นำไปใช้ประโยชน์ด้านการค้า ไม่ว่ากรณีใดๆ ทั้งสิ้น อีกทั้งห้ามมิให้ดัดแปลงเนื้อหาและต้องอ้างอิงถึงเจ้าของเอกสารทุกครั้งที่มีการนำไปใช้

Optoelectronic Assemblies

Characteristics		Light Current			Dark Current		LED Forward Voltage		Light Current Rise Time		Collector/Emitter Breakdown	Output
Test Conditions		$V_{CE} = 5V$ I_F as Shown			$I_F = 0, H = 0$ V_{CE} as Shown		I_F as Shown		$V_{CE} = 5V$ $I_C = 1 mA$		$I_C = 100 \mu A$	
Symbol		I_L			I_D		V_F		t_r		BV_{CEO}	
Units		mA			nA		V		μs		V	
	Fig Note	Min	I_F (mA)	d Inch	Max	$V_{CE}(V)$	Max	I_F (mA)	Typ	Notes	Min	
HOA149-001	5 7	0.025	40	0.15 *3	100	15	1.6	40	15	*2	30	Transistor
HOA708-001	6 8	0.010	40	0.15 *3	100	10	1.7	40	15	*2	30	Transistor
HOA708-011		0.010	40	0.15 *3	100	10	1.7	40	15	*2	30	Transistor
HOA709-001		1.00	40	0.15 *3	250	10	1.7	40	15	*2	15	Darlington
HOA709-011		1.00	40	0.15 *3	250	10	1.7	40	15	*2	15	Darlington
HLC1395-001		7	0.300	10	0.04 *3	100	10	1.5	20	6	*3	30
HLC1395-002	0.600		10	0.04 *3	100	10	1.5	20	6	*3	30	Transistor
HOA1397-001	8	0.20	20	0.05 *3	100	10	1.5	20	6	*2	30	Transistor
HOA1397-002		0.70	20	0.05 *3	100	10	1.5	20	6	*2	30	Transistor
HOA1397-031		2.0	20	0.05 *3	250	10	1.5	20	50	*3	15	Darlington
HOA1397-032		7.0	20	0.05 *3	250	10	1.5	20	50	*3	15	Darlington
HOA1405-001		9 8	0.20	30	0.20 *3	100	10	1.5	20	10	*2	30
HOA1405-002	0.80		30	0.20 *3	100	10	1.5	20	15	*2	30	Transistor

OUTLINE DIMENSIONS

Tolerance 3 pic decimals $\pm .010$ (.25)
2 pic decimals $\pm .030$ (.76)
Unless specified

ALL DIMENSIONS IN INCHES (MILLIMETERS)

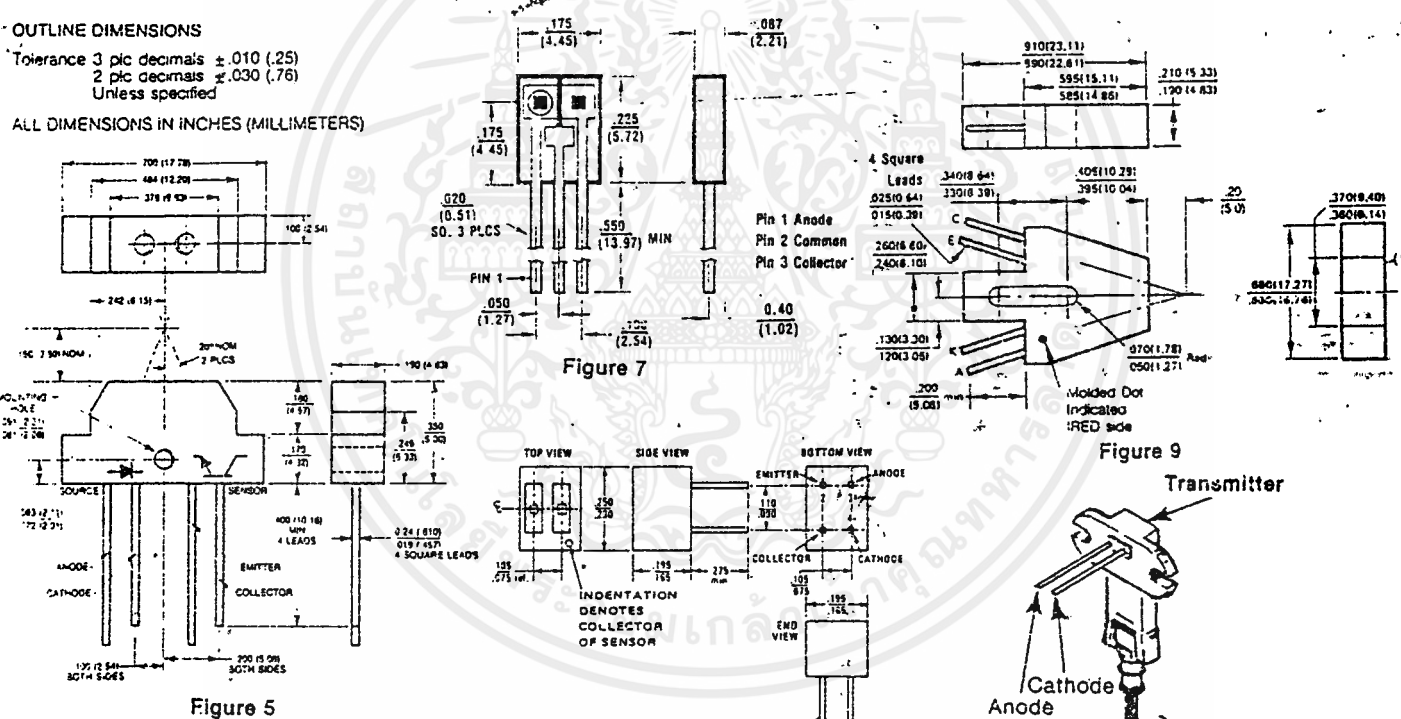


Figure 5

Figure 7

Figure 8

Figure 9

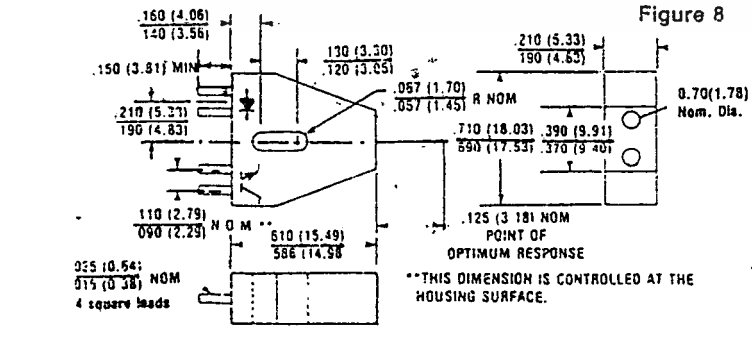


Figure 6

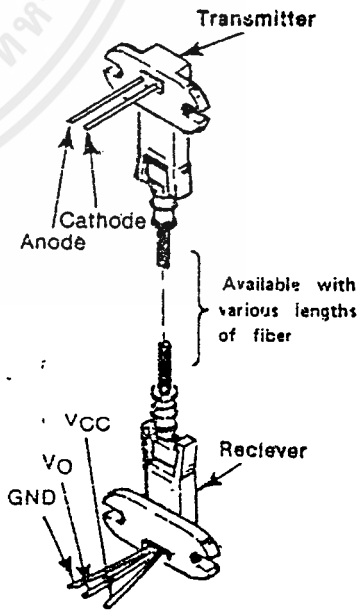


Figure 10

เอกสารนี้เป็นเอกสารที่สงวนไว้สำหรับการใช้งานเพื่อการศึกษาเท่านั้น ไม่อนุญาตให้นำไปใช้ประโยชน์ด้านการค้า
ไม่ว่ากรณีใดๆ ทั้งสิ้น อีกทั้งห้ามมิให้ดัดแปลงเนื้อหาและต้องอ้างอิงถึงเจ้าของเอกสารทุกครั้งที่มีการนำไปใช้

Triacs

Silicon Bidirectional Thyristors

... designed primarily for full-wave ac control applications, such as light dimmers, motor controls, heating controls and power supplies.

- Blocking Voltage to 800 Volts
- All Diffused and Glass Passivated Junctions for Greater Parameter Uniformity and Stability
- Small, Rugged, Thermowatt Construction for Low Thermal Resistance, High Heat Dissipation and Durability

T2500 Series

TRIACS
6 AMPERES, RMS
200 thru 800 VOLTS



CASE 221A-04
(TO-220AB)
STYLE 4

MAXIMUM RATINGS

Rating	Symbol	Value	Unit
Repetitive Peak Off-State Voltage, Note 1 ($T_J = -40$ to $+100^\circ\text{C}$) Gate Open : T2500 B D M N	V_{DROM}	200 400 600 800	Volts
On-State Current RMS (Full Cycle Sine Wave 50 to 60 Hz) ($T_C = +80^\circ\text{C}$)	$I_T(\text{RMS})$	6	Amps
Peak Non-Repetitive Surge Current (One Full Cycle, 60 Hz, $T_C = +80^\circ\text{C}$)	I_{TSM}	60	Amps
Circuit Fusing Considerations ($t = 8.3$ ms)	I^2t	15	A^2s
Peak Gate Power ($T_C = +80^\circ\text{C}$, Pulse Width = 1 μs)	P_{GM}	16	Watts
Average Gate Power ($T_C = +80^\circ\text{C}$, $t = 8.3$ ms)	$P_{G(AV)}$	0.2	Watt
Peak Gate Trigger Current (Pulse Width = 10 μs)	I_{GTM}	4	Amps
Operating Junction Temperature Range	T_J	-40 to +100	$^\circ\text{C}$
Storage Temperature Range	T_{stg}	-40 to +150	$^\circ\text{C}$

Note 1. Ratings apply for open gate conditions. Thyristor devices shall not be tested with a constant current source for blocking capability such that the voltage applied exceeds the rated blocking voltage.

T2500 Series

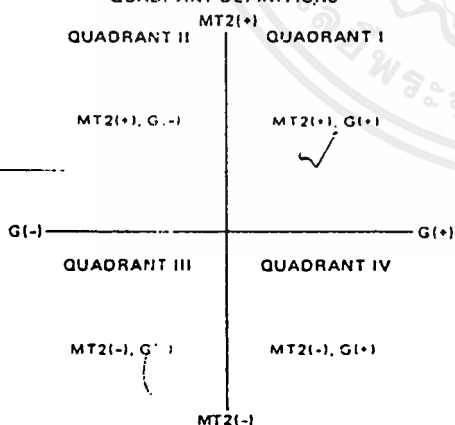
THERMAL CHARACTERISTICS

Characteristic	Symbol	Max	Unit
Thermal Resistance, Junction to Case	$R_{\theta JC}$	2.7	$^{\circ}C/W$

ELECTRICAL CHARACTERISTICS ($T_C = 25^{\circ}C$ unless otherwise noted.)

Characteristic	Symbol	Min	Typ	Max	Unit
Peak Forward or Reverse Blocking Current (Rated V_{DRM} or V_{RRM} , gate open) $T_J = 100^{\circ}C$	I_{DRM}, I_{RRM}	—	—	2	mA
Maximum On-State Voltage (Either Direction) ($I_T = 30$ A Peak)	V_{TM}	—	—	2	Volts
Gate Trigger Current (Continuous dc) ($V_D = 12$ Vdc, $R_L = 12$ Ohms) $V_{MT2(+)}, V_{G(+)}$ $V_{MT2(-)}, V_{G(-)}$ $V_{MT2(-)}, V_{G(-)}$ $V_{MT2(-)}, V_{G(+)}$	I_{GT}	—	10 20 15 30	25 60 25 60	mA
Gate Trigger Voltage (Continuous dc) (All Quadrants) ($V_D = 12$ Vdc, $R_L = 12$ Ohms) ($V_D = V_{DROM}, R_L = 125$ Ohms, $T_C = 100^{\circ}C$)	V_{GT}	— 0.2	1.25 —	2.5 —	Volts
Holding Current (Either Direction) (Main Terminal Voltage = 12 Vdc, Gate Open, Initiating Current = 150 mA, $T_C = 25^{\circ}C$)	I_{HO}	—	15	30	mA
Gate Controlled Turn-On Time (Rated $V_{DROM}, I_T = 10$ A, $I_{GT} = 160$ mA, Rise Time = 0.1 μs)	t_{gt}	—	1.6	—	μs
Critical Rate of Rise of Commutation Voltage (Rated $V_{DROM}, I_T(RMS) = 6$ A, Commutating $di/dt = 3.2$ A/ms, Gate Unenergized, $T_C = 80^{\circ}C$)	$dv/dt(c)$	—	10	—	V/ μs
Critical Rate of Rise of Off-State Voltage (Rated V_{DROM} , Exponential Voltage Rise, Gate Open, $T_C = 100^{\circ}C$)	dv/dt	—	100 75	— —	V/ μs

QUADRANT DEFINITIONS



ELECTRICAL CHARACTERISTICS of RECOMMENDED BIDIRECTIONAL SWITCHES

USAGE	General	
PART NUMBER	MBS4991	MBS4992
V_S	60 - 10 V	7.5 - 9.0 V
I_S	350 μA Max	120 μA Max
$V_{S1} - V_{S2}$	0.5 V Max	0.2 V Max
Temperature Coefficient	0.02%/ $^{\circ}C$ Typ	

See AN-526 for Theory and Characteristics of Silicon Bidirectional Switches.

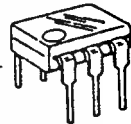
6-Pin DIP Optoisolators Triac Driver Output

These devices consist of gallium-arsenide infrared emitting diodes, optically coupled to silicon bilateral switch and are designed for applications requiring isolated triac triggering, low-current isolated ac switching, high electrical isolation (to 7500 V peak), high detector standoff voltage, small size, and low cost.

- UL Recognized File Number 54915
- VDE approved per standard 0883/6.80 (Certificate number 41853), with additional approval to DIN IEC380/VDE0806, IEC435/VDE0805, IEC65/VDE0860, VDE110b, covering all other standards with equal or less stringent requirements, including IEC204/
- Special lead form available (add suffix "T" to part number) which satisfies VDE0883/6.80 requirement for 8 mm minimum creepage distance between input and output solder pads.
- Various lead form options available. Consult "Optoisolator Lead Form Options" data sheet for details.

MOC3009
MOC3010
MOC3011
MOC3012

**6-PIN DIP
OPTOISOLATORS
TRIAC DRIVER OUTPUT
250 VOLTS**



CASE 730A-02
PLASTIC

MAXIMUM RATINGS ($T_A = 25^\circ\text{C}$ unless otherwise noted)

Rating	Symbol	Value	Unit
--------	--------	-------	------

INFRARED EMITTING DIODE

Reverse Voltage	V_R	3	Volts
Forward Current — Continuous	I_F	60	mA
Total Power Dissipation @ $T_A = 25^\circ\text{C}$ Negligible Power in Transistor Derate above 25°C	P_D	100	mW
		1.33	mW/°C

OUTPUT DRIVER

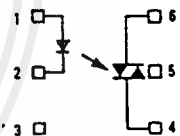
Off-State Output Terminal Voltage	V_{DRM}	250	Volts
Peak Repetitive Surge Current (PW = 1 ms, 120 pps)	I_{TSM}	1	A
Total Power Dissipation @ $T_A = 25^\circ\text{C}$ Derate above 25°C	P_D	300	mW
		4	mW/°C

TOTAL DEVICE

Isolation Surge Voltage (1) (Peak ac Voltage, 60 Hz, 5 Second Duration)	V_{ISO}	7500	Vac
Total Power Dissipation @ $T_A = 25^\circ\text{C}$ Derate above 25°C	P_D	330	mW
		4.4	mW/°C
Junction Temperature Range	T_J	-40 to +100	°C
Ambient Operating Temperature Range	T_A	-40 to +85	°C
Storage Temperature Range	T_{stg}	-40 to +150	°C
Soldering Temperature (10 s)	—	260	°C

(1) Isolation surge voltage, V_{ISO} , is an internal device dielectric breakdown rating.

COUPLER SCHEMATIC



1. ANODE
2. CATHODE
3. NC
4. MAIN TERMINAL
5. SUBSTRATE
DO NOT CONNECT
6. MAIN TERMINAL

MOC3009, MOC3010, MOC3011, MOC3012

ELECTRICAL CHARACTERISTICS (T_A = 25°C unless otherwise noted)

Characteristic	Symbol	Min	Typ	Max	Unit
----------------	--------	-----	-----	-----	------

INPUT LED

Reverse Leakage Current (V _R = 3 V)	I _R	—	0.05	100	μA
Forward Voltage (I _F = 10 mA)	V _F	—	1.15	1.5	Volts

OUTPUT DETECTOR (I_F = 0 unless otherwise noted)

Peak Blocking Current, Either Direction (Rated V _{DRM} , Note 1)	I _{DRM}	—	10	100	nA
Peak On-State Voltage, Either Direction (I _{TM} = 100 mA Peak)	V _{TM}	—	1.8	3	Volts
Critical Rate of Rise of Off-State Voltage (Figure 7, Note 2)	dv/dt	—	10	—	V/μs

COUPLED

LED Trigger Current, Current Required to Latch Output (Main Terminal Voltage = 3 V, Note 3)	I _{FT}	—	15	30	mA
MOC3009	—	8	15		
MOC3010	—	5	10		
MOC3011	—	3	5		
Holding Current, Either Direction	I _H	—	100	—	μA

- Notes: 1. Test voltage must be applied within dv/dt rating.
 2. V_{TM} is static dv/dt. See Figure 7 for test circuit. Commutating dv/dt is a function of the load-driving thyristor(s) only.
 3. All devices are guaranteed to trigger at an I_F value less than or equal to max I_{FT}. Therefore, recommended operating I_F lies between max I_F, 30 mA for MOC3009, 15 mA for MOC3010, 10 mA for MOC3011, 5 mA for MOC3012 and absolute max I_F (60 mA).

TYPICAL ELECTRICAL CHARACTERISTICS

T_A = 25°C

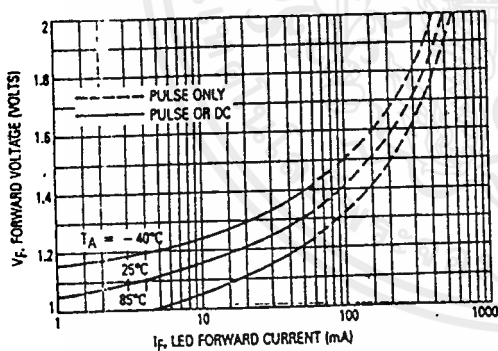


Figure 1. LED Forward Voltage versus Forward Current

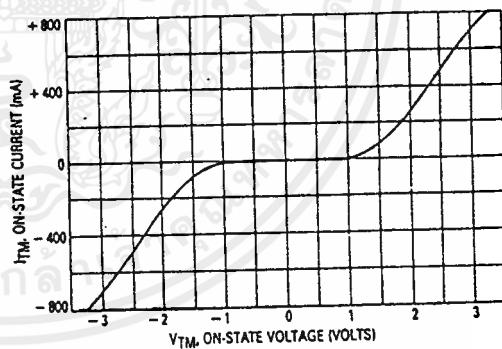


Figure 2. On-State Characteristics

MOC3007, MOC3010, MOC3011, MOC3012

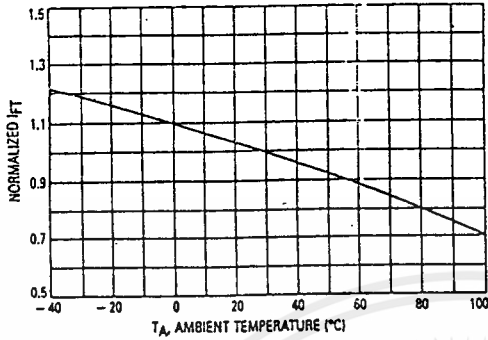


Figure 3. Trigger Current versus Temperature

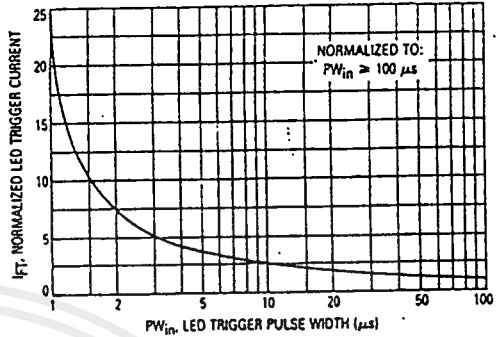


Figure 4. LED Current Required to Trigger versus LED Pulse Width

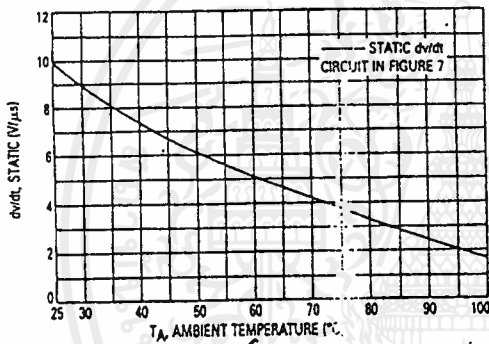


Figure 5. dv/dt versus Temperature

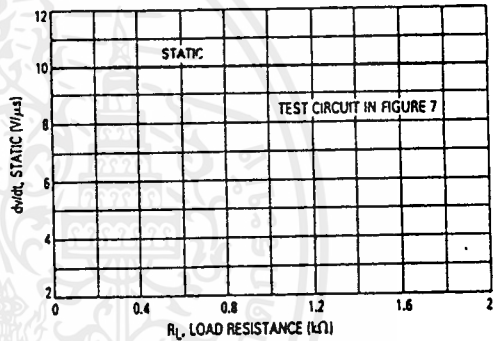
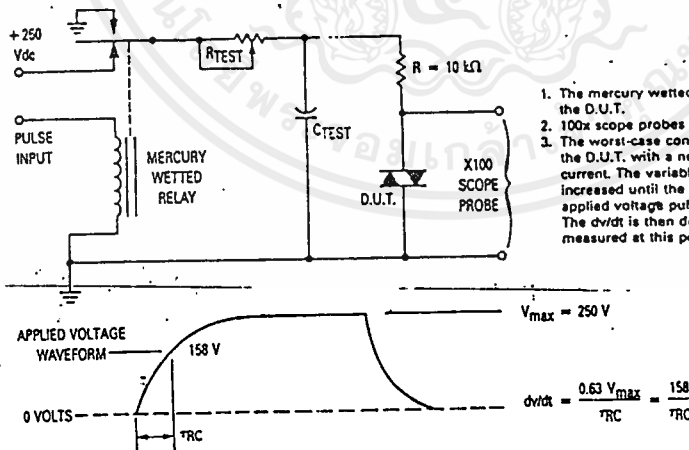


Figure 6. dv/dt versus Load Resistance



1. The mercury wetted relay provides a high speed repeated pulse to the D.U.T.
2. 100x scope probes are used, to allow high speeds and voltages.
3. The worst-case condition for static dv/dt is established by triggering the D.U.T. with a normal LED input current, then removing the current. The variable R_{TEST} allows the dv/dt to be gradually increased until the D.U.T. continues to trigger in response to the applied voltage pulse, even after the LED current has been removed. The dv/dt is then decreased until the D.U.T. stops triggering. TRC is measured at this point and recorded.

Figure 7. Static dv/dt Test Circuit

MOC3009, MOC3010, MOC3011, MOC3012

TYPICAL APPLICATION CIRCUITS

Note: This optoisolator should not be used to drive a load directly. It is intended to be a trigger device only. Additional information on the use of the MOC3009/3010/3011/3012 is available in Application Note AN-780A.

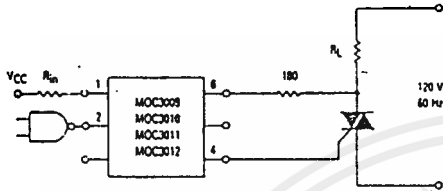


Figure 8. Resistive Load

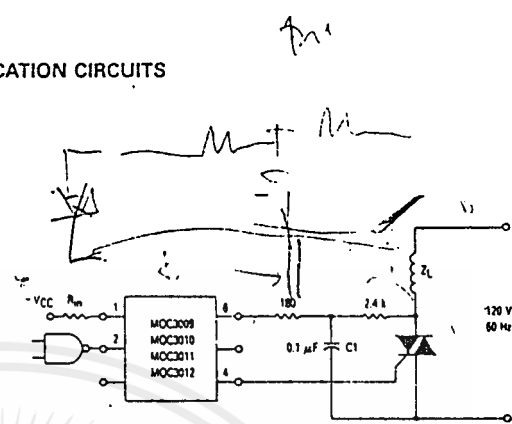


Figure 9. Inductive Load with Sensitive Gate Triac ($I_{GT} \leq 15 \text{ mA}$)

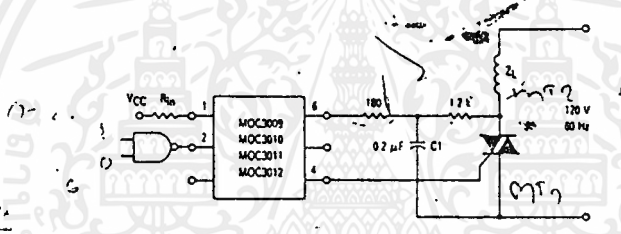


Figure 10. Inductive Load with Non-Sensitive Gate Triac ($15 \text{ mA} < I_{GT} < 50 \text{ mA}$)

OUTLINE DIMENSIONS

OPTIONAL LEAD CONFIGURATION

STYLE 6:
 PIN 1. ANODE
 2. CATHODE
 3. MC
 4. MAIN TERMINAL
 5. SUBSTRATE
 6. MAIN TERMINAL

CASE 7730A-02
PLASTIC

NOTES:

1. DIMENSIONING AND TOLERANCING PER ANSI Y14.5M, 1982.
2. CONTROLLING DIMENSION: INCH.
3. DIM L TO CENTER OF LEAD WHEN FORMED PARALLEL.

DIM	MILLIMETERS		INCHES	
	MIN	MAX	MIN	MAX
A	8.13	8.89	0.320	0.350
B	6.10	6.60	0.240	0.260
C	2.93	3.08	0.115	0.200
D	0.41	0.50	0.016	0.020
E	1.02	1.77	0.040	0.070
G	2.54 BSC		0.100 BSC	
J	0.21	0.30	0.008	0.012
K	0.38	2.54	0.015	0.100
L	7.62 BSC		0.300 BSC	
M	0°	15°	0°	15°
N	2.54	3.81	0.100	0.150

Handwritten notes: $I_{GT} \leq 15$ and $15 < I_{GT} < 50$